

กรณีศึกษาการใช้ระบบกักเก็บพลังงานชนิดล้อยูนกำลังเพื่อรักษาความถี่ของระบบไฟฟ้าขนาดเล็ก
แบบแยกโดดของอำเภอเมืองแม่ฮ่องสอน



วิทยานิพนธ์นี้เป็นส่วนหนึ่งของการศึกษาตามหลักสูตรปริญญาวิศวกรรมศาสตรมหาบัณฑิต
สาขาวิชาวิศวกรรมไฟฟ้า ภาควิชาวิศวกรรมไฟฟ้า
คณะวิศวกรรมศาสตร์ จุฬาลงกรณ์มหาวิทยาลัย
ปีการศึกษา 2563
ลิขสิทธิ์ของจุฬาลงกรณ์มหาวิทยาลัย

A Case Study on the Application of Flywheel Energy Storage System for Frequency
Regulation of Islanded Amphoe-Mueang Mae Hong Son Microgrid



A Thesis Submitted in Partial Fulfillment of the Requirements
for the Degree of Master of Engineering in Electrical Engineering

Department of Electrical Engineering

FACULTY OF ENGINEERING

Chulalongkorn University

Academic Year 2020

Copyright of Chulalongkorn University

หัวข้อวิทยานิพนธ์	กรณีศึกษาการใช้ระบบกักเก็บพลังงานชนิดล้อตุ้มกำลังเพื่อรักษาความถี่ของระบบไฟฟ้าขนาดเล็กแบบแยกโดดของอำเภอเมืองแม่ฮ่องสอน
โดย	น.ส.มัทธิมาศ เชี่ยวคำ
สาขาวิชา	วิศวกรรมไฟฟ้า
อาจารย์ที่ปรึกษาวิทยานิพนธ์หลัก	ผู้ช่วยศาสตราจารย์ ดร.สมบุญ แสงวงศ์พาณิชย์

คณะวิศวกรรมศาสตร์ จุฬาลงกรณ์มหาวิทยาลัย อนุมัติให้หัวข้อวิทยานิพนธ์ฉบับนี้เป็นส่วนหนึ่งของการศึกษาตามหลักสูตรปริญญาวิศวกรรมศาสตรมหาบัณฑิต

----- คณะบดีคณะวิศวกรรมศาสตร์
(ศาสตราจารย์ ดร.สุพจน์ เตชวรสินสกุล)

คณะกรรมการสอบวิทยานิพนธ์

----- ประธานกรรมการ
(รองศาสตราจารย์ ดร.แนบบุญ หุ่นเจริญ)

----- อาจารย์ที่ปรึกษาวิทยานิพนธ์หลัก
(ผู้ช่วยศาสตราจารย์ ดร.สมบุญ แสงวงศ์พาณิชย์)

----- กรรมการ
(รองศาสตราจารย์ ดร.สุรพงษ์ สุวรรณภิน)

----- กรรมการภายนอกมหาวิทยาลัย
(ศาสตราจารย์ ดร.นิสัย เพ็ญเวโรจน์สกุล)

มัชฌิมาศ เขียวคำ : กรณีศึกษาการใช้ระบบกักเก็บพลังงานชนิดล้อยูนกกำลังเพื่อรักษาความถี่ของระบบไฟฟ้าขนาดเล็กแบบแยกโดดของอำเภอเมืองแม่ฮ่องสอน. (A Case Study on the Application of Flywheel Energy Storage System for Frequency Regulation of Islanded Amphoe-Mueang Mae Hong Son Microgrid) อ.ที่ปรึกษาหลัก : ผศ. ดร.สมบูรณ์ แสงวงศ์วานิชย์

ด้วยข้อจำกัดเชิงพื้นที่ของอำเภอเมืองแม่ฮ่องสอน หากเกิดเหตุขัดข้องในระบบสายส่งที่จ่ายไฟฟ้าให้กับอำเภอเมืองแม่ฮ่องสอน ระบบไฟฟ้าของอำเภอเมืองแม่ฮ่องสอนจะเข้าสู่การทำงานในสภาวะแยกโดด และพึ่งพาการผลิตไฟฟ้าจากแหล่งพลังงานภายในพื้นที่เพื่อจ่ายไฟให้เพียงพอตามความต้องการของโหลด ในสถานการณ์ดังกล่าวระบบไฟฟ้าจะมีความอ่อนไหวต่อความผันผวนของโหลดและแหล่งจ่ายในพื้นที่เป็นอย่างมาก โดยเฉพาะความถี่ของระบบไฟฟ้าเป็นปัญหาสำคัญอย่างหนึ่งที่ควรคำนึงถึง เพราะมีระบบไฟฟ้าจากแหล่งพลังงานหมุนเวียนที่มีความผันผวนเร็วและสูงอย่างพลังงานแสงอาทิตย์ในพื้นที่ รวมถึงความผันผวนของโหลดผู้ใช้ไฟร่วมด้วย ระบบแบตเตอรี่มักเป็นตัวเลือกที่นำมาใช้จัดการความผันผวนที่เกิดขึ้น แต่หากแบตเตอรี่ต้องรองรับภาระความผันผวนเร็วและสูง จะส่งผลให้ขนาดแบตเตอรี่ที่ติดตั้งมีขนาดใหญ่ รวมทั้งความถี่การใช้งานที่สูงก็จะทำให้อายุแบตเตอรี่สั้นลง งานวิทยานิพนธ์นี้จึงนำเสนอการประยุกต์ใช้ระบบล้อยูนกกำลังร่วมกับระบบแบตเตอรี่ เพื่อรักษาความถี่ของระบบไฟฟ้าขนาดเล็กของอำเภอเมืองแม่ฮ่องสอนในสภาวะแยกโดด โดยกำหนดให้รับภาระในส่วนที่มีความผันผวนเร็ว ระบบล้อยูนกกำลังเป็นระบบกักเก็บพลังงานทางกลที่มีคุณสมบัติเด่นในเรื่องกำลังไฟฟ้าสูง การตอบสนองรวดเร็ว และอายุการใช้งานยาวนาน จึงเหมาะสำหรับการใช้งานเชิงกำลังไฟฟ้าในช่วงเวลาสั้น ๆ อย่างปัญหาความผันผวนของความถี่ของระบบไฟฟ้า วิทยานิพนธ์นี้แนะนำเสนอแนวทางการแก้ไขปัญหาความเบี่ยงเบนความถี่ในระบบไฟฟ้า 2 แนวทาง คือ 1) การควบคุมความถี่โหลดด้วยระบบล้อยูนกกำลังร่วมกับระบบแบตเตอรี่และโรงไฟฟ้าพลังงานน้ำขนาดเล็ก สำหรับความผันผวนเร็ว ปานกลาง และช้า ตามลำดับ และ 2) การปรับเรียบกำลังผลิตไฟฟ้าจากโรงไฟฟ้าพลังงานแสงอาทิตย์ด้วยระบบล้อยูนกกำลังและระบบแบตเตอรี่ เพื่อลดความผันผวนของการผลิตไฟฟ้าจากพลังงานแสงอาทิตย์ ข้อมูลที่ใช้ในการศึกษาจะอาศัยข้อมูลจริงของแหล่งผลิตไฟฟ้าและโหลดในพื้นที่ เพื่อออกแบบแนวทางที่เหมาะสมในการประสานการทำงานของระบบกักเก็บพลังงาน ผลการจำลองด้วยโปรแกรม DigSILENT แสดงให้เห็นว่าการใช้ระบบล้อยูนกกำลังร่วมกับแหล่งพลังงานไฟฟ้าที่มีอยู่ในพื้นที่สามารถช่วยรักษาความถี่ของระบบให้เป็นไปตามมาตรฐาน และการใช้ระบบล้อยูนกกำลังเพื่อรองรับความผันผวนเร็วทดแทนภาระงานเดิมของแบตเตอรี่ ทำให้ระบบล้อยูนกกำลังที่ใช้มีขนาดเล็กและสามารถช่วยลดขนาดติดตั้งของแบตเตอรี่ รวมถึงลดรอบการทำงานและความเสื่อมจากการใช้งานที่เกิดขึ้นกับแบตเตอรี่ได้ ส่งผลให้อายุการทำงานของแบตเตอรี่ยาวนานขึ้น

สาขาวิชา วิศวกรรมไฟฟ้า

ลายมือชื่อนิสิต

ปีการศึกษา 2563

ลายมือชื่อ อ.ที่ปรึกษาหลัก

6170393921 : MAJOR ELECTRICAL ENGINEERING

KEYWORD: Flywheel energy storage system, Islanded microgrid, Frequency regulation, Load frequency control

Mutchimas Kheawcum : A Case Study on the Application of Flywheel Energy Storage System for Frequency Regulation of Islanded Amphoe-Mueang Mae Hong Son Microgrid.

Advisor: Asst. Prof. SOMBOON SANGWONGWANICH, Ph.D.

Due to the geographical limitations of Amphoe Mueang Mae Hong Son (MHS), its electrical power system is forced to operate as an islanded microgrid when there is a fault in the transmission system that supplies the electricity to MHS area. Under such a situation, the electrical system will rely solely on the existing energy resources in the area to supply the required electricity demanded by the loads, and will be highly sensitive to the fluctuations of the loads and the generations in the area. One of the most important issues for the islanded microgrid of Amphoe Mueang Mae Hong Son is the frequency deviation caused by the fast and highly fluctuating solar power and the variation of load demand. Battery energy storage system (BESS) is the popular solution to handle the above issue. However, when BESS is assigned to be responsible for fast and high fluctuations, it may lead to large sizing, high usage rate, and dramatically shortened lifespan of BESS. This thesis proposes, therefore, to apply a flywheel energy storage system (FESS) to accompany BESS for frequency regulation of the islanded MHS microgrid. FESS is a mechanical energy storage system with remarkable attributes of high energy density, fast response, and long lifetime. So, it is suitable for a short-term power application such as the problem of frequency deviation. In this thesis, two approaches are adopted for applying FESS to alleviate the solar and load variation problem: 1) the load frequency control (LFC) using FESS combined with BESS and a small hydro power plant for fast, medium, and slow variations, respectively, and 2) solar power smoothing using FESS and BESS. The study is carried out based on the actual data of loads and local power plants to design the appropriate coordination of the energy storage systems in the area. The results obtained from the simulation by DigSILENT software show that using FESS in cooperation with the existing generation resources can suppress the frequency deviation within the standard. Moreover, applying FESS only for the fast fluctuations results in small sizing of FESS, reduction of battery sizing, and prolonging the battery lifetime.

Field of Study: Electrical Engineering

Student's Signature

Academic Year: 2020

Advisor's Signature

กิตติกรรมประกาศ

วิทยานิพนธ์ฉบับนี้สำเร็จลุล่วง เนื่องด้วยความกรุณาช่วยเหลือ และความเอาใจใส่อย่างดียิ่ง จาก ผู้ช่วยศาสตราจารย์ ดร.สมบูรณ์ แสงวงศ์วานิชย์ อาจารย์ที่ปรึกษาวิทยานิพนธ์ ที่ได้ให้คำแนะนำ คำปรึกษา แนวทางต่างๆ รวมถึงตรวจสอบแก้ไขข้อบกพร่อง ที่เป็นประโยชน์ต่องานวิทยานิพนธ์และต่อตัวผู้ทำวิจัยเป็นอย่างดีมาโดยตลอด รวมถึงคณะกรรมการสอบวิทยานิพนธ์ รองศาสตราจารย์ ดร.แนบบุญ หุนเจริญ รองศาสตราจารย์ ดร.สุรพงศ์ สุวรรณกวิน และศาสตราจารย์ ดร.นิตย์ เพ็ญเวโรจน์สกุล ที่ได้เสียสละเวลาตรวจสอบแก้ไข และให้คำแนะนำในการทำวิทยานิพนธ์ ผู้ทำวิจัยขอกราบขอบพระคุณด้วยความเคารพอย่างสูง มา ณ โอกาสนี้

ขอขอบคุณการไฟฟ้าส่วนภูมิภาค ที่ได้ส่งเสริมและสนับสนุนโอกาสในการศึกษาต่อในระดับปริญญาโทบัณฑิต ภาควิชาวิศวกรรมไฟฟ้า คณะวิศวกรรมศาสตร์ จุฬาลงกรณ์มหาวิทยาลัย พร้อมเงินทุนสนับสนุนการศึกษาและการทำวิทยานิพนธ์ รวมถึงเอื้อเฟื้อข้อมูลในการทำวิทยานิพนธ์จนสำเร็จลุล่วงเป็นอย่างดี

ขอขอบคุณเพื่อนนิสิตระดับบัณฑิตศึกษาห้องปฏิบัติการอิเล็กทรอนิกส์กำลังทุกท่านที่ให้ความช่วยเหลือ คำปรึกษา และกำลังใจในการทำวิทยานิพนธ์เป็นอย่างดีมาโดยตลอด

สุดท้ายนี้ ขอขอบพระคุณบิดามารดาและครอบครัว ที่ช่วยเหลือสนับสนุนทั้งด้านกำลังใจและกำลังใจทรัพย์อย่างเต็มที่ กำลังเสมอมา คุณค่าและประโยชน์อันพึงมีจากงานวิทยานิพนธ์นี้ ผู้ทำวิจัยขอมอบให้บิดามารดา ครูบาอาจารย์ทุกท่านที่ได้อบรมสั่งสอนวิชาความรู้ และให้ความเมตตากรุณาแก่ผู้ทำวิจัยมาโดยตลอด และเป็นกำลังใจสำคัญที่ทำให้วิทยานิพนธ์ฉบับนี้สำเร็จลุล่วงได้ด้วยดี

มัชฌิมาศ เขียวคำ

จุฬาลงกรณ์มหาวิทยาลัย
CHULALONGKORN UNIVERSITY

สารบัญ

	หน้า
บทคัดย่อภาษาไทย.....ค	ค
บทคัดย่อภาษาอังกฤษ..... ง	ง
กิตติกรรมประกาศ..... จ	จ
สารบัญ..... ฉ	ฉ
สารบัญตาราง..... ฅ	ฅ
สารบัญรูปภาพ..... ญ	ญ
บทที่ 1 บทนำ..... 1	1
1.1 ที่มาและความสำคัญ..... 1	1
1.2 วัตถุประสงค์..... 4	4
1.3 ขอบเขตวิทยานิพนธ์..... 4	4
1.4 ขั้นตอนการศึกษาและวิธีการดำเนินการงานวิจัย..... 5	5
1.5 ประโยชน์ที่คาดว่าจะได้รับ..... 5	5
บทที่ 2 ทฤษฎีและงานวิจัยที่เกี่ยวข้อง..... 7	7
2.1 งานวิจัยที่เกี่ยวข้อง..... 7	7
2.2 ระเบียบการเชื่อมต่อระบบโครงข่ายไฟฟ้าของการไฟฟ้าส่วนภูมิภาค..... 10	10
2.3 ข้อมูลทั่วไปของระบบกักเก็บพลังงานชนิดล้อย่นกำลัง..... 10	10
2.3.1 ส่วนประกอบของระบบกักเก็บพลังงานชนิดล้อย่นกำลัง..... 12	12
2.3.2 คุณสมบัติของระบบกักเก็บพลังงานชนิดล้อย่นกำลัง..... 13	13
2.3.3 ตัวอย่างการใช้งานระบบกักเก็บพลังงานชนิดล้อย่นกำลังในระบบไฟฟ้า..... 13	13
2.4 แนวทางการวิเคราะห์ความเสถียรสภาพการใช้งานของแบตเตอรี่..... 14	14
บทที่ 3 ข้อมูลทั่วไปและระบบไฟฟ้าของอำเภอเมืองแม่ฮ่องสอน..... 16	16

3.1 ข้อมูลทั่วไปของจังหวัดแม่ฮ่องสอน	16
3.2 ข้อมูลระบบไฟฟ้าของอำเภอเมืองแม่ฮ่องสอน	17
3.2.1) โรงไฟฟ้าพลังน้ำขนาดเล็กแม่สะงา	19
3.2.2) โรงไฟฟ้าพลังงานแสงอาทิตย์ผาบ่อง	20
บทที่ 4 แบบจำลองระบบไฟฟ้าขนาดเล็กของอำเภอเมืองแม่ฮ่องสอนและแนวทางการควบคุมการ ทำงานของระบบกักเก็บพลังงานชนิดล้อยุนกำลังที่นำเสนอ	21
4.1 แบบจำลองระบบไฟฟ้าขนาดเล็กของอำเภอเมืองแม่ฮ่องสอนในสถานะแยกโดด	22
4.2 แบบจำลองโรงไฟฟ้าพลังงานน้ำขนาดเล็กแม่สะงา	23
4.3 แบบจำลองโรงไฟฟ้าพลังงานแสงอาทิตย์ผาบ่อง	25
4.4 แบบจำลองระบบกักเก็บพลังงานชนิดแบตเตอรี่ที่ใช้ในงานวิทยานิพนธ์	26
4.5 แบบจำลองของระบบกักเก็บพลังงานชนิดล้อยุนกำลังที่ใช้ในงานวิทยานิพนธ์	29
4.6 แบบจำลองระบบควบคุมความถี่โหลดที่ศึกษาในงานวิทยานิพนธ์	33
4.7 แบบจำลองระบบควบคุมการปรับเรียงกำลังผลิตไฟฟ้าของโรงไฟฟ้าพลังงานแสงอาทิตย์ที่ ศึกษาในงานวิทยานิพนธ์	36
4.8 การวิเคราะห์ความเสื่อมสภาพการใช้งานระบบแบตเตอรี่	38
บทที่ 5 ผลการจำลองการทำงานของระบบไฟฟ้าของอำเภอเมืองแม่ฮ่องสอนที่ติดตั้ง ระบบกักเก็บ พลังงานชนิดล้อยุนกำลัง	42
5.1 ผลการจำลองแต่ละกรณีศึกษา	46
5.2 ผลต่อการทำงานของระบบแบตเตอรี่เมื่อประยุกต์ใช้ระบบล้อยุนกำลังในการควบคุมความถี่ โหลด	51
5.3 ผลจากการปรับค่าคงที่เวลาสำหรับการควบคุมความถี่โหลดของระบบล้อยุนกำลัง	52
5.4 ผลต่อการทำงานของระบบแบตเตอรี่เมื่อใช้ระบบล้อยุนกำลังในการควบคุมความถี่โหลด ร่วมกับการปรับเรียงกำลังผลิตไฟฟ้า	53
5.5 ผลการประยุกต์ใช้ระบบล้อยุนกำลังต่อความเสื่อมสภาพอายุการใช้งานของแบตเตอรี่	56
5.5.1) การประมาณรอบการใช้งานของแบตเตอรี่โดยวิธี Equivalent Full Cycles (EFCs)	56

5.5.2)การประมาณรอบการใช้งานของแบตเตอรี่ด้วยเทคนิค Rainflow Cycle Counting .57	
5.6 ผลสรุปการจำลองและความเสื่อมสภาพการใช้งานของระบบแบตเตอรี่ เมื่อใช้ระบบล้อตุนกำลังสำหรับการควบคุมความถี่โหลดและการปรับเรียงกำลังผลิตไฟฟ้า	60
บทที่ 6 บทสรุปและข้อเสนอแนะ	64
บรรณานุกรม	66
ประวัติผู้เขียน	69



สารบัญตาราง

	หน้า
ตารางที่ 3.1 แหล่งผลิตไฟฟ้าภายในอำเภอเมืองแม่ฮ่องสอน	18
ตารางที่ 4.1 พารามิเตอร์ของโรงไฟฟ้าพลังงานน้ำขนาดเล็กแม่สะงา	25
ตารางที่ 4.2 พารามิเตอร์ที่ใช้ในการจำลองของระบบกักเก็บพลังงานชนิดแบตเตอรี่	29
ตารางที่ 4.3 คุณลักษณะจำเพาะของระบบกักเก็บพลังงานชนิดล้อยูนกำลัง	33
ตารางที่ 4.4 พารามิเตอร์ที่ใช้ในการจำลองของระบบกักเก็บพลังงานชนิดล้อยูนกำลัง	33
ตารางที่ 5.1 การทำงานของโรงไฟฟ้าพลังน้ำและระบบกักเก็บพลังงานชนิดล้อยูนกำลัง และ แบตเตอรี่ในแต่ละกรณีศึกษา	42
ตารางที่ 5.2 ค่าตัวแปรที่ใช้ในการจำลองการทำงานของระบบ	44
ตารางที่ 5.3 สรุปผลการจำลองแต่ละกรณีศึกษา	50
ตารางที่ 5.4 อายุการใช้งานโดยประมาณจากวิธี EFCs	57
ตารางที่ 5.5 ค่าความเสื่อมสภาพการใช้งานของแบตเตอรี่	60
ตารางที่ 5.6 สรุปขนาดติดตั้งของระบบล้อยูนกำลังและระบบแบตเตอรี่ในแต่ละกรณีศึกษา และความ เสื่อมสภาพการใช้งานระบบแบตเตอรี่	61

สารบัญรูปภาพ

	หน้า
รูปที่ 2.1 แบบจำลองทั่วไปของระบบกักเก็บพลังงานชนิดล้อยูนกำลัง.....	10
รูปที่ 2.2 ส่วนประกอบหลักของระบบกักเก็บพลังงานชนิดล้อยูนกำลัง	12
รูปที่ 2.3 การนับรอบแบบ 3 จุด (3-point cycle counting) โดยวิธีการ Rainflow cycle counting [13]	15
รูปที่ 3.1 แผนที่จังหวัดแม่ฮ่องสอน	16
รูปที่ 3.2 พื้นที่การจ่ายไฟของจังหวัดแม่ฮ่องสอนและเส้นทางระบบส่งจ่ายไฟฟ้า 115 กิโลโวลต์ ของอำเภอเมืองแม่ฮ่องสอน	17
รูปที่ 3.3 ระบบจำหน่ายไฟฟ้าของอำเภอเมืองแม่ฮ่องสอน	18
รูปที่ 3.4 ค่าความต้องการใช้ไฟฟ้าของระบบไฟฟ้าอำเภอเมืองแม่ฮ่องสอนในสภาวะแยกโดด ณ วันที่ 7 กันยายน 2563.....	19
รูปที่ 3.5 ข้อมูลลักษณะความเข้มแสงอาทิตย์และกำลังผลิตของโรงไฟฟ้าพลังงานแสงอาทิตย์ ฝาป้อง ในกรณีขยายขนาดติดตั้งเป็น 3.5 เมกะวัตต์ ที่ใช้ในวิทยานิพนธ์นี้	20
รูปที่ 4.1 แผนภาพแนวทางการวิจัยที่นำเสนอ	21
รูปที่ 4.2 แผนภาพแสดงการควบคุมการทำงานของระบบกักเก็บพลังงานแต่ละชนิด	22
รูปที่ 4.3 แบบจำลองระบบไฟฟ้าอำเภอเมืองแม่ฮ่องสอนใน โปรแกรม PowerFactory (DIgSILENT)	23
รูปที่ 4.4 แบบจำลองระบบควบคุมโรงไฟฟ้าพลังงานน้ำขนาดเล็กแม่สะงา	24
รูปที่ 4.5 แบบจำลองระบบควบคุมแรงดันไฟฟ้าอัตโนมัติ (AVR)	24
รูปที่ 4.6 แบบจำลองระบบควบคุมกังหันของโรงไฟฟ้าพลังงานน้ำ (GOV)	24
รูปที่ 4.7 แบบจำลองระบบควบคุมโรงไฟฟ้าพลังงานแสงอาทิตย์ฝาป้อง	25
รูปที่ 4.8 แบบจำลองทั่วไปของระบบกักเก็บพลังงานชนิดแบตเตอรี่	26
รูปที่ 4.9 วงจรสมมูลแบบ Rint Model ของแบตเตอรี่ชนิดลิเทียมไอออน	27

รูปที่ 4.10 แรงดันและกระแสไฟฟ้าภายในแบตเตอรี่.....	27
รูปที่ 4.11 แบบจำลองของแบตเตอรี่	28
รูปที่ 4.12 แบบจำลองของแบตเตอรี่ ที่ใช้ในโปรแกรม DigSILENT.....	28
รูปที่ 4.13 แบบจำลองภายในของ Simple LIB Model ที่ใช้ในโปรแกรม DigSILENT.....	29
รูปที่ 4.14 แผนภาพแสดงการควบคุมเวกเตอร์แบบไร้เซนเซอร์ (Sensorless Vector Control) สำหรับระบบกักเก็บพลังงานชนิดล้อยูนกำลัง	31
รูปที่ 4.15 แบบจำลองของระบบกักเก็บพลังงานชนิดล้อยูนกำลัง ที่ใช้หลักการควบคุมเวกเตอร์แบบไร้เซนเซอร์.....	31
รูปที่ 4.16 แบบจำลองระบบล้อยูนกำลัง.....	32
รูปที่ 4.17 แบบจำลองของระบบล้อยูนกำลังที่ใช้โปรแกรม DigSILENT.....	32
รูปที่ 4.18 ระบบควบคุมความถี่โหดด้วยโรงไฟฟ้าพลังงานน้ำขนาดเล็กแม่สะงา ระบบกักเก็บพลังงานชนิดแบตเตอรี่ และระบบกักเก็บพลังงานชนิดล้อยูนกำลัง	34
รูปที่ 4.19 การแบ่งย่านการทำงานของระบบกักเก็บพลังงานแต่ละชนิด ในการจัดการความผันผวนของความถี่.....	35
รูปที่ 4.20 ระบบควบคุมความถี่โหดที่ใช้โปรแกรม DigSILENT.....	35
รูปที่ 4.21 แผนภาพแสดงการแยกองค์ประกอบความผันผวนเพื่อการปรับเรียงกำลังผลิตไฟฟ้า ของโรงไฟฟ้าพลังงานแสงอาทิตย์ ด้วยระบบแบตเตอรี่และระบบล้อยูนกำลัง.....	36
รูปที่ 4.22 การแบ่งย่านการทำงานในการปรับเรียงกำลังไฟฟ้าจากพลังงานแสงอาทิตย์ ของระบบกักเก็บพลังงานแต่ละชนิด	37
รูปที่ 4.23 ระบบควบคุมการปรับเรียงกำลังผลิตไฟฟ้าจากพลังงานแสงอาทิตย์ ที่ใช้ในโปรแกรม DigSILENT.....	37
รูปที่ 4.24 การประสานการทำงานของระบบกักเก็บพลังงานแต่ละชนิด สำหรับการควบคุมความถี่โหด และการปรับเรียงกำลังผลิตไฟฟ้าของโรงไฟฟ้าพลังงานแสงอาทิตย์	38
รูปที่ 4.25 ขั้นตอนการวิเคราะห์ความเสื่อมสภาพของแบตเตอรี่.....	39
รูปที่ 4.26 Rainflow counting algorithm [17]	40
รูปที่ 4.27 แผนภาพวงจรชีวิตของแบตเตอรี่ (Cycle-life curve) ที่ใช้ในงานวิทยานิพนธ์นี้.....	41

รูปที่ 4.28 แผนภาพวงจรชีวิตของแบตเตอรี่ (Cycle-life curve) ที่ใช้ในงานวิทยานิพนธ์นี้.....	41
รูปที่ 5.1 แบบจำลองระบบไฟฟ้าขนาดเล็กของอำเภอเมืองแม่ฮ่องสอนในสภาวะแยกโดด	43
รูปที่ 5.2 ตำแหน่งตัวแปรที่ใช้ในระบบควบคุมที่ศึกษา	43
รูปที่ 5.3 ยานการทำงานของโรงไฟฟ้าพลังงานน้ำแม่สะงา ระบบแบตเตอรี่ และระบบล้อยุนกำลัง..	45
รูปที่ 5.4 ผลการจำลองกรณีศึกษาที่ 1 (ไม่มีระบบล้อยุนกำลังในระบบไฟฟ้า).....	46
รูปที่ 5.5 ผลการจำลองกรณีศึกษาที่ 2.1.....	47
รูปที่ 5.6 ผลการจำลองกรณีศึกษาที่ 2.2.....	48
รูปที่ 5.7 ผลการจำลองกรณีศึกษาที่ 3 (มีระบบล้อยุนกำลังในระบบไฟฟ้า สำหรับควบคุม.....	49
รูปที่ 5.8 สัญญาณคำสั่งสำหรับควบคุมความถี่ไหลของระบบแบตเตอรี่ (กรณีที่ 1 และ 2)	51
รูปที่ 5.9 กำลังผลิตไฟฟ้าขาออกของระบบแบตเตอรี่ (กรณีที่ 1 และ 2).....	52
รูปที่ 5.10 สัญญาณคำสั่งสำหรับควบคุมความถี่ไหลของระบบล้อยุนกำลัง (กรณีที่ 2).....	52
รูปที่ 5.11 กำลังไฟฟ้าขาออกของระบบล้อยุนกำลัง (กรณีที่ 2).....	53
รูปที่ 5.12 กำลังไฟฟ้าขาออกของโรงไฟฟ้าพลังงานแสงอาทิตย์และการปรับเรียบกำลังผลิตไฟฟ้า โดยระบบกักเก็บพลังงาน (กรณีที่ 2.2 และ 3).....	54
รูปที่ 5.13 สัญญาณคำสั่งการปรับเรียบกำลังผลิตไฟฟ้าของระบบแบตเตอรี่ (กรณีที่ 2.2 และ 3)....	54
รูปที่ 5.14 กำลังไฟฟ้าขาออกของระบบแบตเตอรี่ (กรณีที่ 2.2 และ 3)	54
รูปที่ 5.15 สัญญาณคำสั่งการปรับเรียบกำลังผลิตไฟฟ้าของระบบล้อยุนกำลัง (กรณีที่ 3)	55
รูปที่ 5.16 กำลังไฟฟ้าขาออกของระบบล้อยุนกำลัง (กรณีที่ 2.2 และ 3).....	55
รูปที่ 5.17 จำนวนรอบการทำงานของแบตเตอรี่โดยวิธี EFCs.....	56
รูปที่ 5.18 สถานะการประจุของแบตเตอรี่ในกรณีต่างๆ	57
รูปที่ 5.19 การกระจายตัวของจำนวนรอบการทำงานในแต่ละช่วงความลึก ΔDOD (%).....	58
รูปที่ 5.20 แนวโน้มรอบการทำงานของแบตเตอรี่ในแต่ละช่วงความลึก ΔDOD (%).....	59

บทที่ 1

บทนำ

ในบทนี้จะนำเสนอที่มาและความสำคัญของปัญหาในระบบไฟฟ้าขนาดเล็กของอำเภอเมืองแม่ฮ่องสอน วัตถุประสงค์ ขอบเขตของวิทยานิพนธ์ ขั้นตอนการศึกษาและวิธีการดำเนินงาน และประโยชน์ที่คาดว่าจะได้รับจากวิทยานิพนธ์

1.1 ที่มาและความสำคัญ

จังหวัดแม่ฮ่องสอนตั้งอยู่ทางภาคเหนือตอนบนของประเทศไทย ภูมิประเทศโดยทั่วไปเป็นภูเขาสลับซับซ้อนและพื้นที่ป่าอนุรักษ์ อีกทั้งยังมีภัยธรรมชาติในแต่ละฤดูกาล ทำให้เกิดกระแสไฟฟ้าขัดข้องบ่อยครั้งและนำไปสู่เหตุการณ์ไฟดับบริเวณกว้างภายในจังหวัดแม่ฮ่องสอน อย่างไรก็ตามสาเหตุความผิดปกติส่วนใหญ่ มักเกิดจากต้นไม้พาดผ่านสายไฟฟ้า ประกอบกับเส้นทางในพื้นที่มีความลาดชันและค่อนข้างแคบยิ่งเพิ่มความยากลำบากต่อการเดินทางเข้าแก้ไขจุดผิดปกติ ด้วยเหตุนี้จึงทำให้จังหวัดแม่ฮ่องสอนเป็นจังหวัดที่มีดัชนีความเชื่อถือได้ของระบบไฟฟ้าต่ำที่สุด สร้างผลกระทบต่อความความมั่นคงของระบบไฟฟ้าและความเชื่อถือได้ของระบบไฟฟ้าภายในพื้นที่จังหวัดแม่ฮ่องสอนเป็นอย่างมาก อีกทั้งมีผลต่อเนื่องในด้านคุณภาพชีวิตของประชากรและเศรษฐกิจภายในจังหวัดอีกด้วย

เพื่อแก้ไขปัญหาข้างต้น อำเภอเมือง จังหวัดแม่ฮ่องสอนจึงได้รับพิจารณาดำเนินการระบบไฟฟ้าขนาดเล็ก (Microgrid) ในนาม “โครงการนำร่องระบบโครงข่ายไฟฟ้าอัจฉริยะจังหวัดแม่ฮ่องสอน (Pilot Smart Grid Project in Amphoe Mueang Mae Hong Son)” [1] เพิ่มความมั่นคงของระบบไฟฟ้า ความเชื่อถือได้ของระบบไฟฟ้า อีกทั้งเพื่อเป็นต้นแบบจังหวัดสีเขียวตามนโยบายของกระทรวงพลังงานและของจังหวัดแม่ฮ่องสอน ลดการพึ่งพาพลังงานเชื้อเพลิงจากน้ำมันดีเซล เพิ่มการพึ่งพาตนเองด้วยพลังงานหมุนเวียนภายในพื้นที่ เช่น พลังงานแสงอาทิตย์ พลังงานน้ำ พร้อมทั้งติดตั้งระบบกักเก็บพลังงานเพื่อเพิ่มประสิทธิภาพในการผลิตพลังงานไฟฟ้าและเสริมความเสถียรภาพของระบบไฟฟ้า

อย่างไรก็ตามด้วยเส้นทางสายส่ง 115 กิโลโวลต์ที่ต้องพาดผ่านบริเวณป่าไม้ ก็ยังคงเป็นสาเหตุให้เกิดความขัดข้องอยู่บ่อยครั้ง จึงเกิดแนวคิดปรับปรุงให้ระบบไฟฟ้าของอำเภอเมืองแม่ฮ่องสอนเป็นระบบไฟฟ้าขนาดเล็กแบบแยกโดด (Islanded microgrid) เพื่อสามารถบริหาร

จัดการการใช้ไฟฟ้าจากแหล่งพลังงานภายในพื้นที่ได้พอเพียงตามความต้องการ ลดการพึ่งพาพลังงานจากภายนอก โดยแหล่งผลิตไฟฟ้าในพื้นที่ของอำเภอเมืองแม่ฮ่องสอน ประกอบด้วย โรงไฟฟ้าพลังน้ำขนาดเล็กแม่สะงาขนาด 10 เมกะวัตต์ โรงไฟฟ้าพลังงานแสงอาทิตย์ผาบ่องขนาด 500 กิโลวัตต์ อนาคตจะขยายขนาดเป็น 3.5 เมกะวัตต์ โรงไฟฟ้าพลังน้ำขนาดเล็กผาบ่องขนาด 850 กิโลวัตต์ อนาคตจะขยายขนาดเป็น 3.85 เมกะวัตต์ โรงไฟฟ้าดีเซลแม่ฮ่องสอนขนาด 5.4 เมกะวัตต์ แผนงานติดตั้งระบบกักเก็บพลังงานชนิดแบตเตอรี่ขนาด 4 เมกะวัตต์ / 1 เมกะวัตต์-ชั่วโมง และมีโหลดรวมสูงสุดของอำเภอเมืองแม่ฮ่องสอนประมาณ 11 - 12 เมกะวัตต์ อย่างไรก็ตาม เมื่ออยู่ในสภาวะแยกโดด และมีแหล่งพลังงานหมุนเวียนภายในระบบ สิ่งที่ต้องคำนึงคือเรื่องเสถียรภาพไฟฟ้าโดยเฉพาะปัญหาความถี่ในระบบไฟฟ้า ที่มีสาเหตุมาจากความผันผวนของโหลด รวมถึงแหล่งพลังงานแสงอาทิตย์ภายในพื้นที่ ที่อาจทำให้ความถี่เกินกว่าค่ามาตรฐานได้

จากปัจจัยหลักที่ทำให้เกิดปัญหาความผันผวนของความถี่ระบบไฟฟ้าขณะอยู่ในสภาวะแยกโดดของระบบไฟฟ้าขนาดเล็กในอำเภอเมืองแม่ฮ่องสอน คือ ความผันผวนของโหลดในระบบและกำลังผลิตไฟฟ้าจากโรงไฟฟ้าพลังงานแสงอาทิตย์ที่ผาบ่อง แนวทางการแก้ปัญหาความเบี่ยงเบนของความถี่ในระบบไฟฟ้าขนาดเล็กจึงอาจพิจารณาได้สองวิธี คือ 1) วิธีการตรวจวัดความเบี่ยงเบนของความถี่ที่เกิดขึ้น แล้วนำข้อมูลนั้นมากำหนดหรือปรับแต่งกำลังผลิตของโรงไฟฟ้าในพื้นที่ เพื่อดึงให้ความถี่ของระบบกลับเข้ามาอยู่ในย่านที่ต้องการ วิธีการนี้เรียกโดยทั่วไปว่า วิธีการควบคุมความถี่โหลด (Load frequency control) วิธีนี้เป็นวิธีมาตรฐานที่ใช้ในการจัดการกับความเบี่ยงเบนของความถี่ที่เนื่องมาจากความผันผวนของโหลดเพราะความผันผวนของโหลดเป็นสิ่งที่ปกติเราไม่สามารถตรวจวัดได้โดยตรง จึงจำเป็นต้องพิจารณาจากผลหรือความเบี่ยงเบนที่เกิดขึ้น ด้วยเหตุนี้ระบบที่ใช้วิธีการนี้จะมีลักษณะแบบป้อนกลับทำให้ต้องพิจารณาเรื่องเสถียรภาพด้วยในการออกแบบตัวควบคุม และ 2) วิธีการแก้ความผันผวนของแหล่งผลิตไฟฟ้าพลังงานแสงอาทิตย์ ซึ่งวิธีนี้จะเป็นการแก้ปัญหาที่ต้นเหตุจึงเหมาะสมและง่ายกว่าวิธีแรก วิธีการนี้เรามักเรียกว่า การปรับเรียบกำลังผลิตไฟฟ้าของพลังงานแสงอาทิตย์ (Solar smoothing) และมีลักษณะเป็นการชดเชยแบบป้อนไปหน้าไม่มีการย้อนกลับ จึงไม่มีปัญหาเรื่องเสถียรภาพเหมือนวิธีแรก

โดยทั่วไประบบกักเก็บพลังงานชนิดแบตเตอรี่ (Battery energy storage system; BESS) มักถูกพิจารณาเพื่อติดตั้งในระบบไฟฟ้าสำหรับการแก้ไขปัญหาความเบี่ยงเบนของความถี่นี้ เนื่องจากความก้าวหน้าของเทคโนโลยีที่ถูกพัฒนาอย่างต่อเนื่อง โดยเฉพาะในเรื่องอายุการใช้งาน และการตอบสนองได้รวดเร็ว อย่างไรก็ตามระบบแบตเตอรี่ก็มีข้อเสียเปรียบในเรื่องวัสดุที่ใช้ในการผลิตเป็น

เคมีภัณฑ์ที่อาจเป็นอันตรายต่อสิ่งแวดล้อมและยากต่อการนำกลับมาใช้ใหม่ (Recycle) อีกทั้งต้องการการบำรุงรักษาตามระยะ และมีช่วงอุณหภูมิการใช้งานจำกัด

ในการศึกษาวิจัยที่ผ่านมา [2] มีการนำเสนอการใช้ระบบกักเก็บพลังงานมารองรับความผันผวนของความถี่ที่เกิดขึ้นในระบบไฟฟ้าขนาดเล็กที่อำเภอเมืองแม่ฮ่องสอน โดยวิธีการควบคุมความถี่จะอาศัย โรงไฟฟ้าพลังงานน้ำขนาดเล็กแม่สะงาสำหรับความผันผวนช้า และใช้ระบบกักเก็บพลังงานชนิดแบตเตอรี่สำหรับความผันผวนเร็ว อย่างไรก็ตามเมื่อเกิดความผันผวนเร็วบ่อยครั้ง จะทำให้แบตเตอรี่มีการทำงานเพื่ออัดหรือคายประจุบ่อยครั้ง ส่งผลเสียต่ออายุการใช้งานของแบตเตอรี่อย่างมาก รวมทั้งความผันผวนเร็วซึ่งอาจจะมีระยะเวลาสั้นแต่มีค่าสูงทำให้ต้องใช้แบตเตอรี่ที่มีขนาดใหญ่ด้วย นอกจากนี้เนื่องด้วยกำลังผลิตไฟฟ้าจากโรงไฟฟ้าพลังงานแสงอาทิตย์มีความผันผวนสูงเพราะแปรผันตามสภาพท้องฟ้า ซึ่งบางครั้งอาจมีก้อนเมฆบดบังสลับกับฟ้าโปร่งอย่างรวดเร็ว หากใช้แบตเตอรี่รองรับเพียงอย่างเดียว จะส่งผลให้แบตเตอรี่ที่จำเป็นต้องใช้มีขนาดใหญ่ด้วยเช่นกัน

จากการศึกษาและเปรียบเทียบชนิดของระบบกักเก็บพลังงาน พบว่าระบบกักเก็บพลังงานชนิดล้อตุ่นกำลัง (Flywheel energy storage system; FESS) เป็นเทคโนโลยีที่มีความน่าสนใจ คือเป็นระบบกักเก็บพลังงานที่มีอายุการใช้งานยาวนาน (มากกว่า 20 ปี) มีการตอบสนองได้รวดเร็ว ต้องการการบำรุงรักษาต่ำ มีประสิทธิภาพการทำงานสูง มีช่วงอุณหภูมิการทำงานกว้าง และเป็นผลิตภัณฑ์ที่เป็นมิตรต่อสิ่งแวดล้อมสามารถนำกลับไปใช้ใหม่ได้ นอกจากนี้คุณสมบัติที่สำคัญของระบบล้อตุ่นกำลังคือ กำลังไฟฟ้าสูง แต่ความหนาแน่นพลังงานไฟฟ้าต่ำ จึงทำให้ระบบล้อตุ่นกำลังเหมาะสำหรับการใช้งานเชิงกำลังไฟฟ้า (Power applications) เช่น การแก้ไขปัญหาความผันผวนความถี่ในระบบไฟฟ้า การควบคุมแรงดันไฟฟ้า เป็นต้น

จากข้อมูลที่ได้กล่าวมาข้างต้น วิทยานิพนธ์นี้จึงมีเป้าหมายที่จะศึกษาและนำเสนอความเป็นไปได้ในการใช้ระบบกักเก็บพลังงานด้วยล้อตุ่นกำลังเพื่อรักษาคุณภาพไฟฟ้าในด้านความถี่ของระบบไฟฟ้าขนาดเล็กในสถานะแยกโดดของอำเภอเมืองแม่ฮ่องสอน ให้เป็นไปตามมาตรฐานของการไฟฟ้าส่วนภูมิภาค (กฟภ.) โดยจะประยุกต์ใช้ระบบล้อตุ่นกำลังร่วมกับระบบกักเก็บพลังงานชนิดอื่นที่มีในระบบ ได้แก่ โรงไฟฟ้าพลังงานน้ำขนาดเล็กแม่สะงาและระบบแบตเตอรี่ งานวิทยานิพนธ์จะอาศัยข้อมูลจริงของแหล่งผลิตไฟฟ้าและโหลดในพื้นที่ในการออกแบบการประสานการทำงานของระบบกักเก็บพลังงาน โดยที่ระบบล้อตุ่นกำลังจะรับผิดชอบเฉพาะความผันผวนของความถี่ที่รวดเร็วทดแทนการใช้งานของระบบแบตเตอรี่ในย่านนี้ เพื่อลดภาระของระบบแบตเตอรี่รวมทั้งลดจำนวน

รอบการอัดประจุและคายประจุของระบบแบตเตอรี่ ทำให้แบตเตอรี่ที่จำเป็นมีขนาดเล็กลงและมีอายุการใช้งานที่ยาวขึ้นด้วย

1.2 วัตถุประสงค์

ศึกษาความเป็นไปได้ของการนำระบบล้อยุนกำลัง มาใช้งานในระบบไฟฟ้าขนาดเล็กแบบแยกโดดของอำเภอเมืองแม่ฮ่องสอน ร่วมกับระบบกักเก็บพลังงานชนิดอื่นที่มีอยู่ ได้แก่ โรงไฟฟ้าพลังงานน้ำแม่สะงาและระบบแบตเตอรี่ โดยมีเป้าหมายเพื่อรักษาความถี่ของระบบไฟฟ้าให้ปฏิบัติตามมาตรฐานของ กฟภ. และลดขนาดและยืดอายุการใช้งานของระบบแบตเตอรี่ที่จำเป็นต้องติดตั้งโดยอาศัยข้อมูลจริงของแหล่งผลิตไฟฟ้าและโหลดในพื้นที่ในการศึกษา

1.3 ขอบเขตวิทยานิพนธ์

- 1) ศึกษาแนวทางการประสานการใช้งานระบบล้อยุนกำลังสำหรับระบบไฟฟ้าขนาดเล็กแบบแยกโดดของอำเภอเมืองแม่ฮ่องสอน ร่วมกับโรงไฟฟ้าพลังงานน้ำแม่สะงาและระบบกักเก็บพลังงานชนิดแบตเตอรี่ เพื่อรักษาความถี่ของระบบไฟฟ้าให้ปฏิบัติตามมาตรฐานของ กฟภ. โดยอาศัยการแบ่งองค์ประกอบเชิงความถี่ของค่าความเบี่ยงเบนความถี่ในระบบ
- 2) ศึกษาแนวทางการใช้งานระบบกักเก็บพลังงานด้วยล้อยุนกำลังร่วมกับระบบกักเก็บพลังงานชนิดแบตเตอรี่ เพื่อลดขนาดของแบตเตอรี่ที่จำเป็นในฟังก์ชันปรับเรียบกำลังผลิตไฟฟ้าของโรงไฟฟ้าพลังงานแสงอาทิตย์
- 3) ศึกษาหาขนาดกำลังและพลังงานของระบบกักเก็บพลังงานด้วยล้อยุนกำลังและระบบกักเก็บพลังงานชนิดแบตเตอรี่ที่เหมาะสม โดยพิจารณาจากผลการจำลอง ที่อ้างอิงข้อมูลระบบไฟฟ้าอำเภอเมืองแม่ฮ่องสอนปี พ.ศ. 2560 ข้อมูลโหลดราย 10 วินาที ปี พ.ศ. 2563 ของสถานีไฟฟ้าแม่ฮ่องสอน และข้อมูลความเข้มแสงอาทิตย์ราย 10 วินาที จากโรงไฟฟ้าพลังงานแสงอาทิตย์ผาบ่อง ปี พ.ศ. 2559

ทั้งนี้ระบบไฟฟ้าขนาดเล็กแบบแยกโดดของอำเภอเมืองแม่ฮ่องสอนที่ใช้ในการศึกษาประกอบด้วย 1) โรงไฟฟ้าพลังน้ำขนาดเล็กแม่สะงาขนาด 10 เมกะวัตต์ 2) โรงไฟฟ้าพลังงานแสงอาทิตย์ผาบ่องขนาด 3.5 เมกะวัตต์ 3) ระบบกักเก็บพลังงานชนิดแบตเตอรี่ขนาด 4 เมกะวัตต์ / 1 เมกะวัตต์-ชั่วโมง 4) โครงข่ายระบบจำหน่ายในเขตพื้นที่อำเภอเมืองแม่ฮ่องสอน และ 5) โหลดที่

กระจายตัวตามสายป้อนต่าง ๆ ของสถานีไฟฟ้าแม่ฮ่องสอน โดยมีโหลดรวมสูงสุดประมาณ 6.5 เมกะวัตต์

1.4 ขั้นตอนการศึกษาและวิธีการดำเนินการงานวิจัย

- 1) ศึกษาข้อมูล คุณลักษณะ หลักการทำงาน และแบบจำลองของระบบล้อยูนกำลัง รวมถึงตัวอย่างการประยุกต์ใช้ในระบบไฟฟ้า
- 2) รวบรวมข้อมูลระบบล้อยูนกำลัง และศึกษาหาแนวทางการประยุกต์ใช้ระบบล้อยูนกำลังที่เหมาะสมกับระบบไฟฟ้าขนาดเล็กอำเภอเมืองแม่ฮ่องสอน
- 3) ศึกษาบทความและงานวิจัยที่เกี่ยวข้องกับการควบคุมความถี่โหลดของระบบไฟฟ้า รวมถึงการปรับเรียบกำลังผลิตไฟฟ้าที่มีความไม่สม่ำเสมอหรือมีความผันผวนสูง
- 4) ออกแบบระบบควบคุมความถี่โหลด ให้มีการทำงานร่วมกันของระบบล้อยูนกำลัง ระบบแบตเตอรี่ และโรงไฟฟ้าพลังงานน้ำขนาดเล็กแม่สะงา
- 5) ออกแบบระบบควบคุมการปรับเรียบกำลังผลิตไฟฟ้าของโรงไฟฟ้าพลังงานแสงอาทิตย์ โดยให้ระบบล้อยูนกำลังทำงานร่วมกับระบบแบตเตอรี่
- 6) ออกแบบแบบจำลองอย่างง่ายของระบบล้อยูนกำลัง และระบบแบตเตอรี่
- 7) จำลองระบบตามที่ได้ออกแบบด้วยโปรแกรม PowerFactory (DigSILENT)
- 8) ศึกษาบทความและงานวิจัยที่เกี่ยวข้องกับการวิเคราะห์ความเสื่อมสภาพที่เกิดขึ้นกับการใช้งานระบบแบตเตอรี่และอายุการใช้งานของระบบแบตเตอรี่
- 9) ออกแบบขั้นตอนการวิเคราะห์ความเสื่อมสภาพการใช้งานของระบบแบตเตอรี่ด้วยโปรแกรม MATLAB
- 10) วิเคราะห์และสรุปผลการจำลอง
- 11) เขียนวิทยานิพนธ์สรุปผลการศึกษา

1.5 ประโยชน์ที่คาดว่าจะได้รับ

- 1) แนวทางการควบคุมความถี่โหลด สำหรับระบบไฟฟ้าขนาดเล็กในสภาวะแยกโดด โดยใช้ระบบล้อยูนกำลัง ร่วมกับระบบแบตเตอรี่ และโรงไฟฟ้าพลังงานน้ำขนาดเล็ก
- 2) แนวทางการลดความผันผวนของกำลังผลิตไฟฟ้าจากโรงไฟฟ้าพลังงานแสงอาทิตย์ โดยใช้ระบบล้อยูนกำลัง ร่วมกับระบบแบตเตอรี่

- 3) ความรู้ในการประสานการใช้งานระบบกักเก็บพลังงานด้วยล้อยูนกำลังร่วมกับระบบกักเก็บพลังงานชนิดแบตเตอรี่ เพื่อลดภาระงานและยืดอายุการใช้งานของระบบแบตเตอรี่ รวมถึงการวิเคราะห์ความเสถียรภาพของการใช้งานระบบแบตเตอรี่



บทที่ 2

ทฤษฎีและงานวิจัยที่เกี่ยวข้อง

สำหรับบทนี้จะกล่าวถึงงานวิจัยที่เกี่ยวข้องกับวิทยานิพนธ์ฉบับนี้ รายละเอียดของระบบ กักเก็บพลังงานชนิดล้อยุนกำลัง เช่น องค์กรประกอบที่สำคัญ หลักการทำงาน และข้อดี-ข้อเสีย เป็นต้น รวมถึงระเบียบการเชื่อมต่อระบบโครงข่ายไฟฟ้าของการไฟฟ้าส่วนภูมิภาค และแนวทางการวิเคราะห์ ความเสื่อมสภาพการใช้งานของระบบแบตเตอรี่

2.1 งานวิจัยที่เกี่ยวข้อง

งานวิจัย [2] นำเสนอการใช้ระบบกักเก็บพลังงานชนิดแบตเตอรี่สำหรับระบบไฟฟ้าขนาดเล็ก ในสถานะแยกโดดของอำเภอเมืองแม่ฮ่องสอน เพื่อลดผลความผันผวนที่เกิดจากพลังงานแสงอาทิตย์ และโหลดภายในระบบ มีการใช้วงจรกรองความถี่ต่ำผ่านเพื่อควบคุมความถี่ด้วยระบบแบตเตอรี่ ร่วมกับโรงไฟฟ้าพลังงานน้ำขนาดเล็กแม่สะงาสำหรับความถี่ที่มีความผันผวนเร็วและความผันผวนช้า ตามลำดับ เพื่อให้โรงไฟฟ้าพลังงานน้ำสามารถรองรับความผันผวนช้า จึงกำหนดค่าคงที่เวลาให้ช้ากว่าค่าการตอบสนองของโรงไฟฟ้าพลังงานน้ำขนาดเล็กแม่สะงา นอกจากนี้มีการใช้ระบบแบตเตอรี่ในการ ปรับเรียบพลังงานแสงอาทิตย์ โดยใช้วงจรกรองความถี่สูงผ่านเพื่อให้แบตเตอรี่รองรับกำลังผลิต พลังงานแสงอาทิตย์ที่มีความผันผวนสูง ทำให้การจำลองระบบไฟฟ้าอำเภอเมืองแม่ฮ่องสอนใน งานวิจัยนี้ประกอบด้วย การควบคุมความถี่ด้วยระบบแบตเตอรี่ร่วมกับโรงไฟฟ้าพลังงานน้ำขนาดเล็ก แม่สะงา และการปรับเรียบกำลังผลิตไฟฟ้าจากพลังงานแสงอาทิตย์ด้วยระบบแบตเตอรี่ ผลการวิจัย พบว่าวิธีการควบคุมความถี่และการปรับเรียบกำลังผลิตไฟฟ้าจากพลังงานแสงอาทิตย์ข้างต้น ส่งผลให้ ความถี่และแรงดันของระบบไฟฟ้าในสถานะแยกโดดอยู่ในเกณฑ์มาตรฐานของ กฟภ.

งานวิจัย [3] และ [4] นำเสนอการประยุกต์ใช้ระบบกักเก็บพลังงานชนิดล้อยุนกำลังในระบบ ไฟฟ้า พร้อมยกตัวอย่างการใช้งานจริง รวมถึงส่วนประกอบที่สำคัญ คุณสมบัติ หลักการทำงาน ของ ระบบล้อยุนกำลัง เนื่องด้วยระบบกักเก็บพลังงานชนิดดังกล่าวมีคุณสมบัติที่สำคัญ คือ ความหนาแน่น กำลังงาน (Power density) สูง ความหนาแน่นพลังงาน (Energy Density) ต่ำ ทำให้ระบบล้อยุนกำลัง เหมาะสำหรับการใช้งานในเชิงกำลังไฟฟ้าสำหรับช่วงเวลาสั้นๆ (Short-term power application) เช่น การปรับปรุงคุณภาพไฟฟ้า การรักษาเสถียรภาพของระบบไฟฟ้า การควบคุมแรงดันและความถี่ การสำรองไฟฟ้า (UPS) การใช้งานร่วมกับพลังงานหมุนเวียน อาทิ การปรับเรียบกำลังไฟฟ้า และการ

ลดความผันผวนของพลังงานหมุนเวียน เป็นต้น นอกจากนี้งานวิจัย [5] และ [6] ได้นำเสนอจุดเด่น - จุดด้อยของระบบกักเก็บพลังงานชนิดต่าง ๆ และเมื่อเปรียบเทียบระบบกักเก็บพลังงานชนิดล้อย้อนกำลังกับระบบกักเก็บพลังงานชนิดอื่น พบว่าระบบล้อย้อนกำลังมีจุดเด่นที่น่าสนใจ ได้แก่ อายุการใช้งานยาวนาน การตอบสนองรวดเร็ว (ระดับมิลลิวินาที) การบำรุงรักษาต่ำ ช่วงอุณหภูมิการใช้งานกว้าง และวัสดุใช้งานเป็นมิตรต่อสิ่งแวดล้อม เป็นต้น และมีข้อควรระวังในเรื่องความหนาแน่นพลังงานไฟฟ้าต่ำ และราคาต้นทุนสูง

งานวิจัย [7] นำเสนอแนวทางการควบคุมความถี่ไฟฟ้าจากแหล่งผลิตไฟฟ้าภายในพื้นที่ ของระบบไฟฟ้าแบบแยกโดด ณ เกาะมียาโกะ ประเทศญี่ปุ่น ภายในพื้นที่ประกอบด้วยแหล่งผลิตไฟฟ้าแบบกระจายตัว ได้แก่ น้ำมันดีเซล กังหันแก๊ส และพลังงานลม พร้อมมีการจำลองการติดตั้งพลังงานแสงอาทิตย์และระบบแบตเตอรี่เพิ่มเติม ผลการทดสอบพบว่า ปัญหาความผันผวนของความถี่ที่เกิดจากพลังงานลมและพลังงานแสงอาทิตย์ การใช้ระบบแบตเตอรี่ร่วมกับแหล่งผลิตไฟฟ้าในพื้นที่สำหรับควบคุมความถี่ ช่วยลดค่าเบี่ยงเบนทางความถี่ไฟฟ้าได้ดีที่สุด เมื่อเปรียบเทียบกับกรณีควบคุมความถี่โดยใช้แหล่งผลิตไฟฟ้าแบบกระจายตัวหรือระบบแบตเตอรี่อย่างใดอย่างหนึ่ง สำหรับวิธีการควบคุมความถี่ คือ การรับค่าเบี่ยงเบนทางความถี่ไฟฟ้าของระบบเป็นสัญญาณนำเข้า พร้อมใช้วงจรกรองความถี่ต่ำผ่านในการแบ่งย่านความถี่การทำงาน และสร้างเป็นสัญญาณคำสั่งเพื่อให้แหล่งผลิตไฟฟ้าแบบกระจายตัวรับผิดชอบย่านความผันผวนช้า เนื่องจากมีการตอบสนองช้า และให้ระบบแบตเตอรี่รับผิดชอบในย่านความผันผวนเร็ว ทั้งนี้วิธีการดังกล่าวช่วยลดขนาดการใช้งานของระบบแบตเตอรี่อีกด้วย

งานวิจัย [8] นำเสนอแนวทางการควบคุมความถี่ไฟฟ้าด้วยโรงไฟฟ้าภายในพื้นที่ร่วมกับระบบแบตเตอรี่ เพื่อรองรับความผันผวนของพลังงานหมุนเวียนในระบบ โดยเปรียบเทียบวิธีการควบคุมความถี่ 2 รูปแบบ ได้แก่ การใช้อัตราขยายเพื่อกำหนดสัดส่วนการควบคุมความถี่ของระบบแบตเตอรี่และโรงไฟฟ้าในพื้นที่ และการใช้วงจรกรองความถี่สำหรับการแบ่งย่านการควบคุมความถี่เพื่อให้ระบบแบตเตอรี่รับผิดชอบความผันผวนเร็ว และโรงไฟฟ้าในพื้นที่รับผิดชอบความผันผวนช้า พร้อมทั้งกำหนดค่าคงที่เวลา (Time constant) ของโรงไฟฟ้าให้ช้ากว่าเวลาตอบสนองของโรงไฟฟ้านั้น ผลการทดสอบแสดงให้เห็นว่า ทั้งสองวิธีสามารถควบคุมความถี่ให้อยู่ในเงื่อนไขที่กำหนด อย่างไรก็ตามก็ตามวิธีควบคุมความถี่ด้วยวงจรกรองความถี่ช่วยลดการทำงานของระบบแบตเตอรี่ได้มากกว่าวิธีการควบคุมความถี่ด้วยอัตราขยาย

งานวิจัย [9] นำเสนอการปรับเรียบกำลังผลิตไฟฟ้าจากพลังงานแสงอาทิตย์ด้วยระบบแบตเตอรี่ เพื่อลดความผันผวนที่เกิดจากพลังงานดังกล่าว โดยรับค่าผลิตกำลังไฟฟ้าจากพลังงานแสงอาทิตย์มาเป็นสัญญาณนำเข้าผ่านวงจรกรองความถี่สูงผ่านอันดับหนึ่ง เพื่อสร้างสัญญาณคำสั่งให้ระบบแบตเตอรี่จ่ายกำลังไฟฟ้าในการปรับเรียบกำลังไฟฟ้าของพลังงานแสงอาทิตย์ ณ จุดต่อร่วมเพื่อส่งกำลังไฟฟ้าที่เกิดจากผลรวมระหว่างพลังงานแสงอาทิตย์และระบบแบตเตอรี่ไปยังระบบไฟฟ้าหลัก ทั้งนี้ค่าคงที่เวลาของวงจรกรองความถี่ที่กำหนดส่งผลต่อการทำงานของระบบแบตเตอรี่ในการปรับเรียบกำลังไฟฟ้าด้วย

งานวิจัย [10] นำเสนอการประเมินความเสื่อมสภาพการใช้งานของแบตเตอรี่ที่เกิดจากความผันผวนของพลังงานแสงอาทิตย์จากโรงไฟฟ้าพลังงานแสงอาทิตย์ที่ตั้งอยู่ในพื้นที่รัฐควีนส์แลนด์ ประเทศออสเตรเลีย การวิเคราะห์ความเสื่อมสภาพอายุของแบตเตอรี่ใช้เทคนิค Rainflow Cycle Counting โดยนำข้อมูลความลึกของการคายประจุ (Depth of Discharge; DOD) ที่เกิดจากการใช้งานจริงของแบตเตอรี่ มาพิจารณาจำนวนรอบที่เกิดขึ้น (Cycle) ในแต่ละค่าการเปลี่ยนแปลงของความลึกการคายประจุนั้นๆ (DOD Range หรือ ΔDOD) และนำไปคำนวณหาค่าความเสื่อมสภาพการใช้งานของแบตเตอรี่จากความสัมพันธ์ระหว่างจำนวนรอบที่ได้หารด้วยจำนวนรอบสูงสุดของแบตเตอรี่ในแต่ละ ΔDOD (ข้อมูลจำนวนรอบสูงสุดของแบตเตอรี่ในแต่ละ ΔDOD จะมาจากบริษัทผู้ผลิต) งานวิจัยนี้แบ่งกรณีศึกษาออกเป็น 3 รูปแบบ ตามการผันผวนของพลังงานแสงอาทิตย์จากความผันผวนต่ำไปสูงตามลำดับ ผลการศึกษาแสดงให้เห็นว่าในวันที่พลังงานแสงอาทิตย์มีความผันผวนสูงที่สุด นอกจากจะส่งผลให้ ΔDOD ที่เกิดขึ้นมีการกระจายตัวที่ค่าสูงแล้ว ยังทำให้ค่าความเสื่อมสภาพการใช้งานของแบตเตอรี่สูงที่สุด และเกี่ยวเนื่องไปถึงอายุการใช้งานของแบตเตอรี่ที่ลดน้อยลง เมื่อเปรียบเทียบกับกรณีอื่นๆ หรือวันที่พลังงานแสงอาทิตย์มีความผันผวนต่ำจะมีการเกาะกลุ่มของ ΔDOD ที่ค่าน้อยๆ มากขึ้น รวมถึงมีค่าความเสื่อมสภาพการใช้งานของแบตเตอรี่ที่น้อยกว่าส่งผลให้อายุการใช้งานของแบตเตอรี่เพิ่มขึ้น

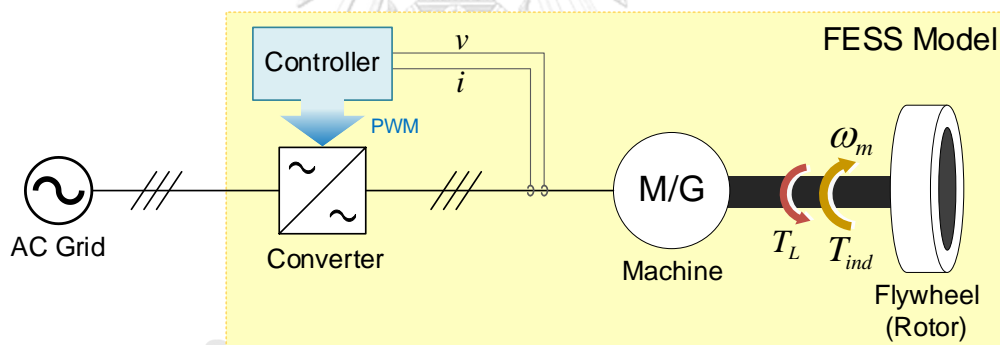
อย่างไรก็ตาม งานวิจัยข้างต้นที่ได้กล่าวมานี้ ไม่มีการกล่าวถึงการใช้งานระบบล้อตุ่นกำลังร่วมกับระบบแบตเตอรี่ และโรงไฟฟ้าพลังงานน้ำ รวมถึงผลกระทบที่เกิดขึ้นกับระบบแบตเตอรี่เมื่อมีการใช้งานเพื่อรองรับความผันผวนที่สูงและเร็ว และการใช้ระบบล้อตุ่นกำลังเพื่อลดความเสื่อมสภาพการใช้งานแบตเตอรี่

2.2 ระเบียบการเชื่อมต่อระบบโครงข่ายไฟฟ้าของการไฟฟ้าส่วนภูมิภาค

กฟภ. ได้กำหนด ระเบียบการไฟฟ้าส่วนภูมิภาคว่าด้วยข้อกำหนดการเชื่อมต่อระบบโครงข่ายไฟฟ้า พ.ศ. 2559 [11] ข้อที่ 8 กล่าวถึงหลักเกณฑ์การควบคุมคุณภาพไฟฟ้า กรณีผู้ขอใช้บริการต้องการเดินเครื่องกำเนิดไฟฟ้าขนานกับระบบโครงข่ายไฟฟ้า ณ จุดเชื่อมต่อ เช่น โรงไฟฟ้าขนาดเล็กหรือขนาดเล็กมาก จะต้องมีการควบคุมความถี่ระบบไฟฟ้า ดังนี้

การไฟฟ้าฝ่ายผลิตแห่งประเทศไทยเป็นผู้ควบคุมดูแลการควบคุมความถี่ระบบไฟฟ้าให้มีค่ามาตรฐาน 50 ± 0.5 เฮิร์ตซ์ และผู้ขอใช้บริการจะต้องควบคุมเครื่องกำเนิดไฟฟ้าให้ซิงโครไนซ์กับระบบโครงข่ายหลักตลอดเวลา กรณีเกิดเหตุผิดปกติ หากความถี่ระบบไฟฟ้าไม่อยู่ในช่วง 47.00 – 52.00 เฮิร์ตซ์ ต่อเนื่องเกิน 0.1 วินาที ผู้ขอใช้บริการจะต้องออกแบบให้เครื่องกำเนิดไฟฟ้าของตนเองสามารถปลดออกจากระบบโครงข่ายหลักด้วยระบบอัตโนมัติทันที

2.3 ข้อมูลทั่วไปของระบบกักเก็บพลังงานชนิดล้อยุนกำลัง



รูปที่ 2.1 แบบจำลองทั่วไปของระบบกักเก็บพลังงานชนิดล้อยุนกำลัง

ระบบกักเก็บพลังงานชนิดล้อยุนกำลัง (Flywheel energy storage system; FESS) เป็นระบบกักเก็บพลังงานทางกล (Mechanical energy storage) ชนิดหนึ่ง ที่กักเก็บพลังงานจลน์ไว้ในส่วนของการหมุนหรือโรเตอร์ (Rotor) เป็นไปตามสมการดังต่อไปนี้

$$E_k = \frac{1}{2} J \omega_m^2 \quad (2.1)$$

เมื่อ	E_k	คือ	พลังงานจลน์สะสม (J)
	J	คือ	โมเมนต์ความเฉื่อยของล้อยุนกำลัง ($\text{kg}\cdot\text{m}^2$)
	ω_m	คือ	ความเร็วเชิงมุมในการหมุนของล้อยุนกำลัง (rad/s)

แบบจำลองทั่วไปของระบบล้อยอนกำลัง แสดงในรูปที่ 2.1 โดยมีหลักการทำงาน 2 โหมด ดังนี้ เมื่อต้องรับพลังงานไฟฟ้าหรือทำงานในโหมดอัดประจุไฟฟ้า (Charging mode) โรเตอร์จะหมุนเร็วขึ้นเพื่อแปลงพลังงานไฟฟ้ามากักเก็บในรูปแบบพลังงานจลน์ภายในโรเตอร์ ในโหมดนี้ระบบล้อยอนกำลังจะประพฤติตัวเป็นมอเตอร์ ในทางกลับกันเมื่อต้องการปล่อยพลังงานหรือทำงานในโหมดคายประจุไฟฟ้า (Discharging mode) โรเตอร์จะหมุนช้าลงเพื่อแปลงพลังงานจลน์ที่กักเก็บไว้เป็นพลังงานไฟฟ้า ซึ่งโหมดนี้ระบบล้อยอนกำลังจะประพฤติตัวเป็นเครื่องกำเนิดไฟฟ้า สำหรับการทำงาน ของระบบกักเก็บพลังงานชนิดล้อยอนกำลัง อธิบายด้วยสมการทางกลอย่างง่าย ดังนี้

$$J \frac{d\omega_m}{dt} = T_{ind} - T_L \quad (2.2)$$

เมื่อ T_{ind} คือ แรงบิดเหนี่ยวนำ (Nm) ที่เกิดจากเครื่องจักรกลไฟฟ้าขับเคลื่อนระบบล้อยอนกำลัง

T_L คือ แรงบิดต้านทานการหมุนของเครื่องจักรกลหรือแรงบิดสูญเสียทางกล (Nm) เช่น แรงเสียดทาน (Friction torque) แรงต้านทานทางลม (Windage torque) เป็นต้น

และแรงบิดเหนี่ยวนำมีความสัมพันธ์กับกำลังไฟฟ้าของระบบล้อยอนกำลังกับความเร็วเชิงมุมของล้อยอนกำลัง ดังสมการที่ (2.3)

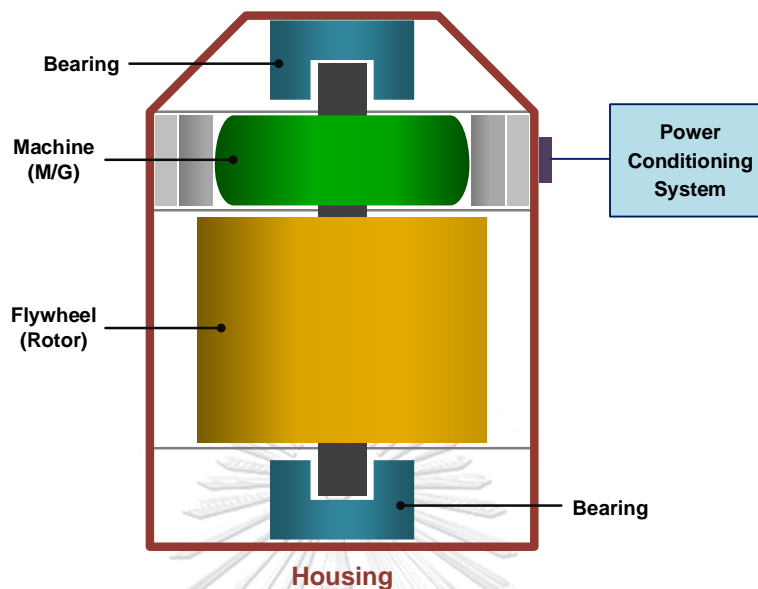
$$T_{ind} = \frac{P^*}{\omega_m} \quad (2.3)$$

เมื่อ P^* คือ กำลังไฟฟ้าคำสั่งของระบบล้อยอนกำลัง (W)

ω_m คือ ความเร็วเชิงมุมของล้อยอนกำลัง (rad/s)

หมายความว่าค่าแรงบิดเหนี่ยวนำในระบบล้อยอนกำลังจะถูกกำหนดจากความต้องการกำลังไฟฟ้าและความเร็วการหมุนของล้อยอนกำลัง และแรงบิดเหนี่ยวนำนี้ก็ทำให้ความเร็วของล้อยอนกำลังเปลี่ยนแปลงตามสมการที่ (2.2)

2.3.1) ส่วนประกอบของระบบกักเก็บพลังงานชนิดล้อยุนกำลัง



รูปที่ 2.2 ส่วนประกอบหลักของระบบกักเก็บพลังงานชนิดล้อยุนกำลัง

โดยทั่วไประบบล้อยุนกำลัง ประกอบด้วย 5 ส่วนประกอบหลัก ดังแสดงในรูปที่ 2.2 โดยมีรายละเอียด ดังนี้

1. ล้อยุนกำลัง (Flywheel) เป็นชิ้นส่วนที่สำคัญที่สุด เนื่องจากทำหน้าที่กักเก็บพลังงานจลน์ โดยการหมุน ทั้งนี้ระบบล้อยุนกำลังสามารถแบ่งได้เป็น 2 ประเภทตามความเร็วในการหมุนของโรเตอร์ คือ ระบบล้อยุนกำลังชนิดความเร็วต่ำ จำกัดความเร็วไม่เกิน 10,000 รอบต่อนาที (rpm) และระบบล้อยุนกำลังชนิดความเร็วสูง มีความเร็วตั้งแต่ 10,000 รอบต่อนาที แต่ไม่เกิน 100,000 รอบต่อนาที
2. เครื่องจักรกลไฟฟ้า (Machine) ทำหน้าที่ขับเคลื่อนให้ล้อยุนกำลังหมุน สามารถประพฤติตัวเป็นได้ทั้งมอเตอร์และเครื่องกำเนิดไฟฟ้า (Motor/Generator; M/G)
3. อุปกรณ์แปลงผันพลังงาน (Power electronic interface) ควบคุมการทำงานของระบบล้อยุนกำลังให้รับหรือปล่อยพลังงาน
4. รองลื่นหรือตลับลูกปืน (Bearing) สำหรับค้ำจุนและรักษาตำแหน่งของล้อยุนกำลังในขณะหมุน ระบบล้อยุนกำลังมักนิยมรองลื่นชนิดแม่เหล็ก (Magnetic bearing) เพื่อให้เกิดแรงเสียดทานต่ำที่สุด เนื่องจากไม่มีการสัมผัสระหว่างชิ้นส่วนใด ๆ จึงไม่เกิดการสูญเสียจากแรงเสียดทาน ไม่ต้องการการหล่อลื่น ช่วยลดการสึกหรอ และยืดอายุชิ้นส่วนด้วย

5. โครงครอบ (Housing) สำหรับสร้างสถานะแวดล้อมที่ช่วยลดการสูญเสีย เช่น ทำให้เกิดสถานะเป็นหรือใกล้เคียงสุญญากาศ ทำให้ระบบลัดตุนกำลังทำงานอย่างมีประสิทธิภาพมากขึ้น และช่วยรักษาความปลอดภัยในการทำงานของลัดตุนกำลัง

2.3.2) คุณสมบัติของระบบกักเก็บพลังงานชนิดลัดตุนกำลัง

ระบบกักเก็บพลังงานชนิดลัดตุนกำลัง มีลักษณะเด่น ดังนี้

- อายุการใช้งานยาวนาน (มากกว่า 20 ปีขึ้นไป หรือ ประมาณ 10^5 - 10^7 รอบการทำงาน)
- การตอบสนองรวดเร็วในระดับมิลลิวินาที
- ประสิทธิภาพการทำงานสูง (ประมาณร้อยละ 90)
- สามารถรับและคายประจุได้เต็มกำลังพิกัด (Full depth of discharge)
- ความเสื่อมสภาพการใช้งานต่ำ
- ไม่ต้องการการบำรุงรักษาหรือการบำรุงรักษาต่ำ
- มีอุณหภูมิช่วงการใช้งานที่กว้าง
- การใช้งานไม่ก่อให้เกิดมลภาวะหรือมลพิษใดๆ
- วัสดุที่ใช้ในการผลิตไม่มีผลกระทบต่อสิ่งแวดล้อม
- สามารถนำไปรีไซเคิลได้หลังจากหมดอายุการใช้งาน

อย่างไรก็ตามคุณสมบัติสำคัญที่สุด คือ ความหนาแน่นกำลังงานสูง และความหนาแน่นพลังงานต่ำ เป็นปัจจัยในการประเมินความเหมาะสมการนำไปใช้งานในระบบไฟฟ้าต่อไป

2.3.3) ตัวอย่างการใช้งานระบบกักเก็บพลังงานชนิดลัดตุนกำลังในระบบไฟฟ้า

จากคุณสมบัติหลักของระบบกักเก็บพลังงานชนิดลัดตุนกำลัง คือ ความหนาแน่นกำลังงานสูง และความหนาแน่นพลังงานต่ำ ทำให้ระบบลัดตุนกำลังเหมาะสำหรับการประยุกต์ใช้เชิงกำลังไฟฟ้าในช่วงเวลาสั้น ๆ เช่น การปรับปรุงคุณภาพไฟฟ้า การควบคุมแรงดันและความถี่ของระบบไฟฟ้า แหล่งสำรองไฟฟ้าในกรณีฉุกเฉินหรือกระแสไฟฟ้าขัดข้อง และการทำงานร่วมกับพลังงานหมุนเวียนเพื่อปรับเรียบกำลังไฟฟ้าขาออกหรือลดความผันผวนพลังงานแสงอาทิตย์ พลังงานลม เป็นต้น

ตัวอย่างการใช้งานระบบลัดตุนกำลังสำหรับการควบคุมความถี่ที่ประเทศสหรัฐอเมริกา จำนวน 2 โครงการใหญ่ ณ รัฐนิวยอร์ก และรัฐเพนซิลเวเนีย แต่ละโครงการมีการติดตั้งระบบลัดตุนกำลังที่ขนาดพิกัด 100 กิโลวัตต์/25 กิโลวัตต์-ชั่วโมง จำนวน 200 ตัว ขนาดพิกัดรวม 20 เมกะวัตต์/5 เมกะวัตต์-ชั่วโมง นอกจากนี้มีการใช้ระบบลัดตุนกำลังสำหรับการคมนาคม เช่น รถราง รถบัส โดย

พลังงานที่กักเก็บภายในล้อยูนกำลังจะถูกส่งออกมาเพื่อเร่งความเร็วขณะยานพาหนะเคลื่อนที่ ในทางกลับกันขณะยานพาหนะชะลอตัว พลังงานจะถูกส่งไปเก็บภายในล้อยูนกำลัง

2.4 แนวทางการวิเคราะห์ความเสื่อมสภาพการใช้งานของแบตเตอรี่

การใช้งานแบตเตอรี่เพื่อรองรับการทำงานตามความต้องการ ส่งผลให้แบตเตอรี่เกิดความเสื่อมสภาพแตกต่างกันไปตามภาระหน้าที่ที่ต้องรับผิดชอบ ปัจจัยส่วนใหญ่ที่มีอิทธิพลต่อความเสื่อมสภาพของแบตเตอรี่ ได้แก่ สถานะการประจุ (SOC) หรือความลึกในการคายประจุ (DOD) รวมถึงอุณหภูมิการใช้งาน ยิ่งมีความลึกของการคายประจุมาก ยิ่งส่งผลให้อายุการใช้งานของแบตเตอรี่สั้นลง หรือการที่แบตเตอรี่ต้องรองรับความผันผวนสูงที่เกิดขึ้นบ่อยครั้ง ก็ส่งผลต่อการลดลงของอายุแบตเตอรี่เช่นกัน

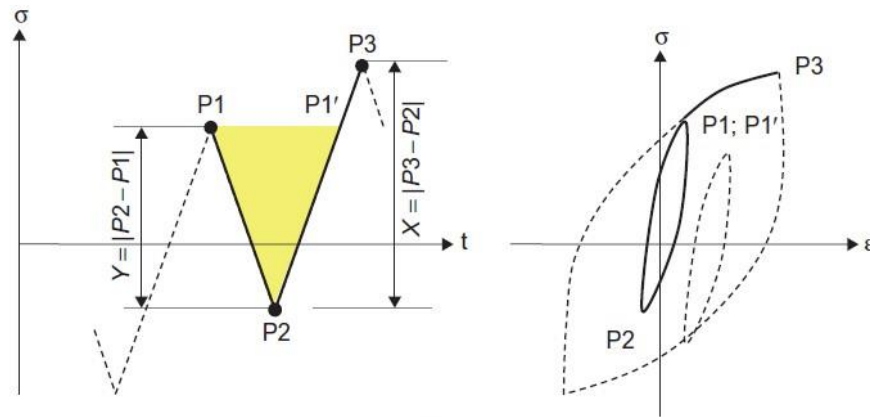
โดยทั่วไปการพิจารณาจำนวนรอบของแบตเตอรี่ (Cycle) ที่เกิดจากการใช้งาน [12] วิธีที่ง่ายที่สุดคือการคำนวณด้วยพลังงานไฟฟ้าขาเข้าหรือขาออกของแบตเตอรี่หารด้วยค่าพิกัดพลังงานไฟฟ้าของแบตเตอรี่ (Rated Energy of BESS) เรียกว่าเป็นการประมาณรอบการใช้งานของแบตเตอรี่ (Equivalent Full Cycles; EFCs) แสดงดังสมการที่ (2.4)

$$\text{Equivalent Full Cycles (EFCs)} = \frac{E_{in/out, BESS}}{E_{rated, BESS}} \quad (2.4)$$

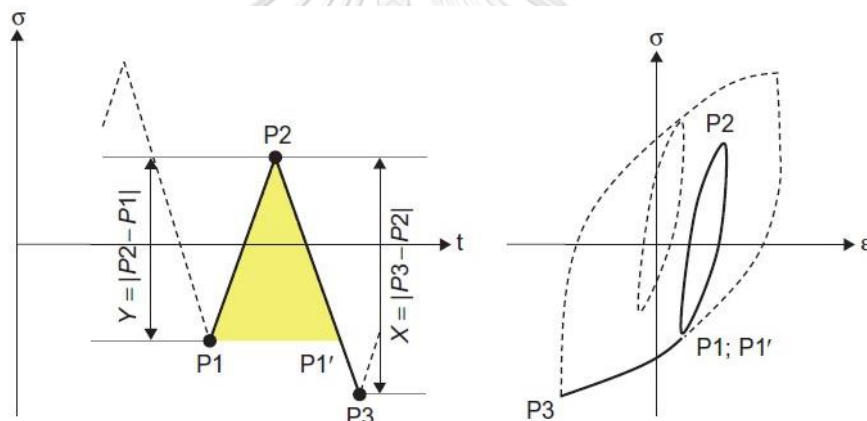
อย่างไรก็ตามวิธีข้างต้นไม่ได้พิจารณา DOD ซึ่งเป็นปัจจัยหลักต่อความเสื่อมสภาพการใช้งานของแบตเตอรี่ สำหรับวิธีที่น่าสนใจและเป็นที่ยอมรับในการวิเคราะห์ความเสื่อมสภาพการใช้งานหรือนับรอบการใช้งานที่เกิดขึ้นของแบตเตอรี่ เรียกว่า Rainflow cycle counting (เปรียบเทียบกับ การไหลของฝนบนเจดีย์และตกลงมายังขอบหลังคา) มักใช้สำหรับข้อมูลที่มีความไม่แน่นอน เช่น ข้อมูลความเค้น/ความเครียดจากการใช้งานวัสดุ หรือข้อมูล DOD ของแบตเตอรี่ เป็นต้น วิธีการนี้จะพิจารณาเฉพาะจุดกลับตัวของข้อมูล นำมาวิเคราะห์รอบการใช้งาน ซึ่งมีการนับจำนวนรอบหลากหลายเทคนิค [13] เช่น การนับรอบแบบ 3 จุด (3-point cycle counting) การนับรอบแบบ 4 จุด (4-point cycle counting) เป็นต้น

ในที่นี้จะอธิบายวิธีการนับรอบแบบ 3 จุด (3-point cycle counting) โดยจุดที่นำมาพิจารณาคือจุดกลับตัวของข้อมูล (จุดสูงสุด/ต่ำสุดที่เกิดจากการกลับตัวของข้อมูล) แสดงในรูปที่ 2.3 จะพิจารณาข้อมูลที่ละ 3 จุด กำหนดให้เป็น P1, P2 และ P3 หาก $|P2-P1| \leq |P3-P2|$ จะถูกนับเป็น

รอบการทำงาน หรือเกิดเป็น hysteresis loop ดังแสดงในรูปด้านขวามือ ในทางกลับกันหาก $|P2-P1| > |P3-P2|$ จะไม่ถูกรับรอบการทำงาน



(ก) กรณีจุดที่ 2 (P2) เป็นจุดต่ำสุด (ลักษณะกรวยแบบคว่ำ)



(ข) กรณีจุดที่ 2 (P2) เป็นจุดสูงสุด (ลักษณะกรวยแบบหงาย)

รูปที่ 2.3 การนับรอบแบบ 3 จุด (3-point cycle counting)

โดยวิธีการ Rainflow cycle counting [13]

จากหลักการนับรอบแบบ 3 จุด (3-point cycle counting) ที่ได้กล่าวไปข้างต้น จึงเป็นแนวทางในการวิเคราะห์จำนวนรอบการทำงานของแบตเตอรี่จากข้อมูล DOD วิธีการนี้มีการพิจารณา DOD ของแบตเตอรี่ร่วมด้วย ทำให้มีความเชื่อถือได้มากกว่าวิธีการคำนวณ EFCs ยิ่งไปกว่านั้น ผลลัพธ์ที่ได้จากการนับด้วยวิธีนี้ กล่าวคือ จำนวนรอบการทำงานของแบตเตอรี่ในแต่ละ ΔDOD สามารถนำไปพิจารณาความสัมพันธ์สภาพจากการใช้งานแบตเตอรี่ และการประเมินอายุขัยของแบตเตอรี่อีกด้วย

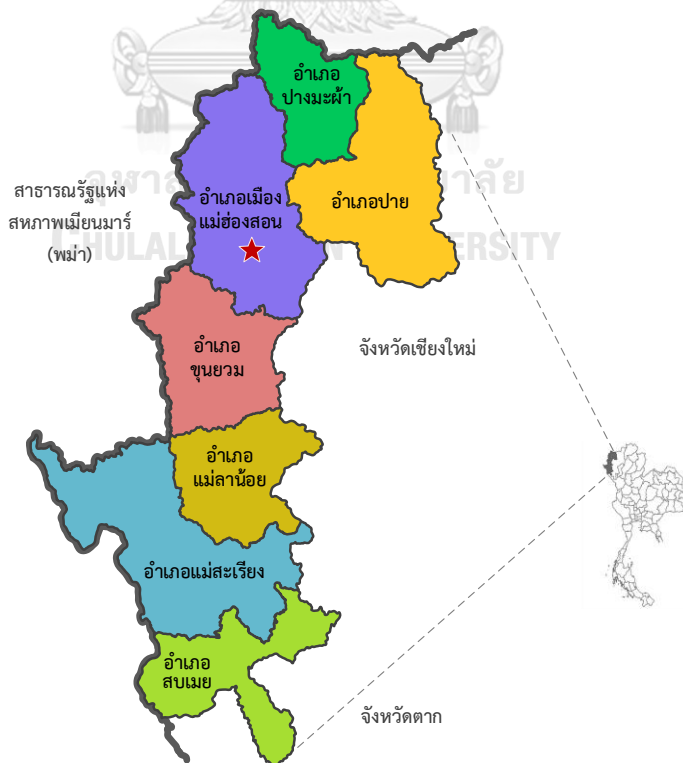
บทที่ 3

ข้อมูลทั่วไปและระบบไฟฟ้าของอำเภอเมืองแม่ฮ่องสอน

เนื้อหาในบทนี้จะอธิบายข้อมูลทั่วไปของอำเภอเมืองแม่ฮ่องสอน และข้อมูลระบบไฟฟ้าของอำเภอเมืองแม่ฮ่องสอน รวมถึงข้อมูลของโรงไฟฟ้าพลังงานน้ำขนาดเล็กแม่สะงาและโรงไฟฟ้าพลังงานแสงอาทิตย์ผาบ่อง เพื่อเป็นข้อมูลเบื้องต้นในการศึกษาและวิเคราะห์ความเป็นไปได้ในการปรับปรุงหรือพัฒนาระบบไฟฟ้าของอำเภอเมืองแม่ฮ่องสอนต่อไป

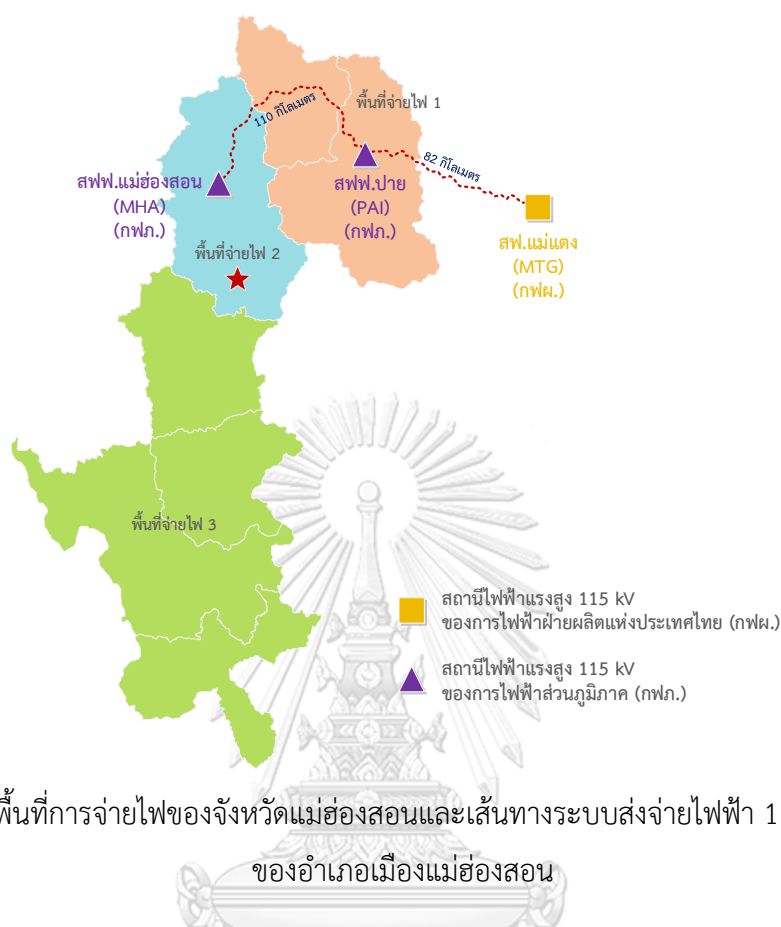
3.1 ข้อมูลทั่วไปของจังหวัดแม่ฮ่องสอน

จังหวัดแม่ฮ่องสอน เป็นจังหวัดหนึ่งทางภาคเหนือตอนบนของประเทศไทย มีอาณาเขตติดต่อกับประเทศพม่า จังหวัดเชียงใหม่ และจังหวัดตาก มีเนื้อที่ประมาณ 12,708 ตารางกิโลเมตร สภาพภูมิประเทศส่วนใหญ่เป็นภูเขาสูงสลับซับซ้อน และเป็นป่าไม้ตามธรรมชาติ โดยมีเนื้อที่ป่าไม้คิดเป็นร้อยละ 86 ของพื้นที่จังหวัด และจัดแบ่งพื้นที่การปกครองออกเป็น 7 อำเภอ ได้แก่ อำเภอเมืองแม่ฮ่องสอน อำเภอปาย อำเภอปางมะผ้า อำเภอขุนยวม อำเภอแม่สะเรียง อำเภอแม่ลาน้อย และอำเภอสบเมย ดังแสดงในรูปที่ 3.1



รูปที่ 3.1 แผนที่จังหวัดแม่ฮ่องสอน

3.2 ข้อมูลระบบไฟฟ้าของอำเภอเมืองแม่ฮ่องสอน



รูปที่ 3.2 พื้นที่การจ่ายไฟของจังหวัดแม่ฮ่องสอนและเส้นทางระบบส่งจ่ายไฟฟ้า 115 กิโลโวลต์ของอำเภอเมืองแม่ฮ่องสอน

จังหวัดแม่ฮ่องสอนแบ่งพื้นที่การจ่ายไฟออกเป็น 3 ส่วน ดังแสดงในรูปที่ 3.2 โดยอำเภอเมืองแม่ฮ่องสอนจัดเป็นพื้นที่การจ่ายไฟที่ 2 ซึ่งครอบคลุมพื้นที่อำเภอเมืองแม่ฮ่องสอนและอำเภอขุนยวมบางส่วน รับกระแสไฟฟ้ามาจากสถานีไฟฟ้าแรงสูง (MTG) 115 กิโลโวลต์ของ กฟผ. อำเภอแม่แตงจังหวัดเชียงใหม่ ผ่านสถานีไฟฟ้าพาย (PAI) ตัดผ่านอำเภอปางมะผ้า และเข้าสู่สถานีไฟฟ้าแม่ฮ่องสอน (MHA) รวมระยะทางประมาณ 192 กิโลเมตร เส้นทางระบบส่งจ่ายไฟฟ้าต้องผ่านภูเขาสูงและป่าอนุรักษ์ หากระบบสายส่ง 115 กิโลโวลต์เกิดเหตุขัดข้อง ส่งผลให้จังหวัดแม่ฮ่องสอนขาดแหล่งจ่ายไฟฟ้าหลักโดยทันที เนื่องจากเส้นทางส่งจ่ายไฟฟ้า 115 กิโลโวลต์ ดังกล่าวเป็นระบบส่งจ่ายไฟฟ้าหลักของจังหวัด

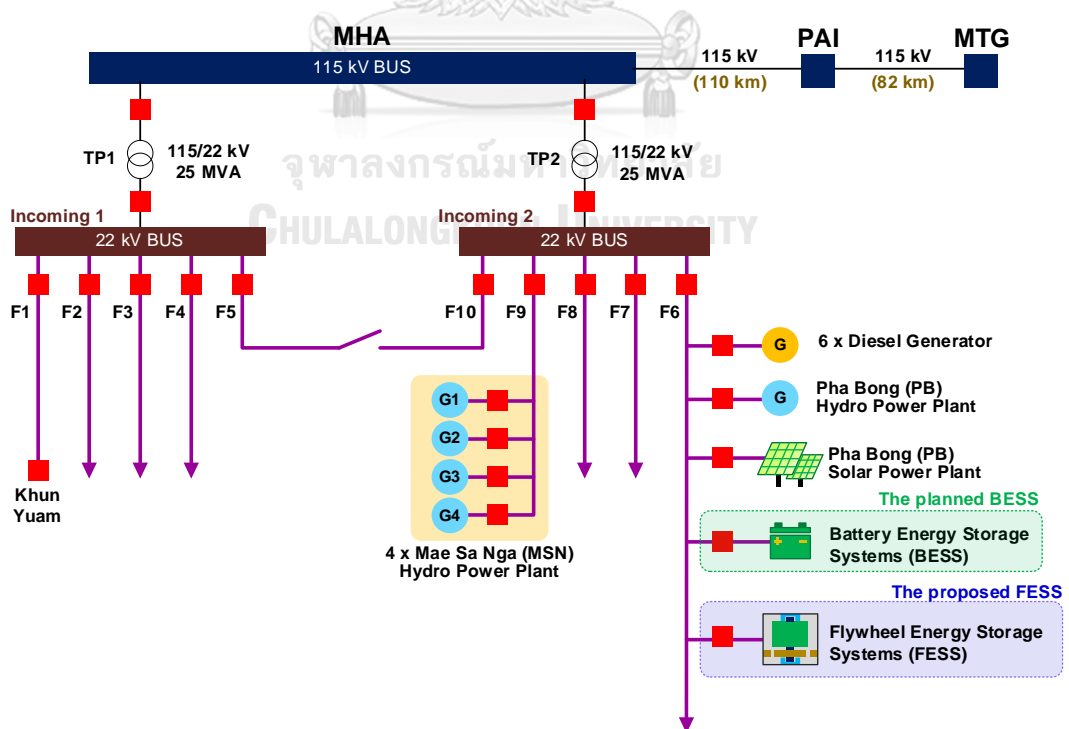
ในกรณีเกิดเหตุขัดข้องของระบบสายส่ง 115 กิโลโวลต์ระหว่างสถานีแม่แตง มายังสถานีแม่ฮ่องสอน จะมีการประเมินกำลังผลิตของแหล่งผลิตไฟฟ้าภายในพื้นที่ที่มีความเพียงพอต่อความต้องการใช้ไฟฟ้าหรือไม่ หากไม่เพียงพอต่อความต้องการ จะทำการเชื่อมต่อระบบจำหน่ายไฟฟ้าแรงสูง 22 กิโลโวลต์ จากอำเภอแม่แจ่ม ผ่านวงจรสายป้อนอำเภอขุนยวม เพื่อรับกระแสไฟฟ้า

มายังอำเภอเมืองแม่ฮ่องสอน ทั้งนี้ในพื้นที่อำเภอเมืองแม่ฮ่องสอนมีแหล่งผลิตไฟฟ้า ได้แก่ โรงไฟฟ้าพลังงานน้ำ โรงไฟฟ้าพลังงานแสงอาทิตย์ และโรงจักรดีเซล (สำหรับกรณีฉุกเฉิน) รายละเอียดแสดงในตารางที่ 3.1

ตารางที่ 3.1 แหล่งผลิตไฟฟ้าภายในอำเภอเมืองแม่ฮ่องสอน

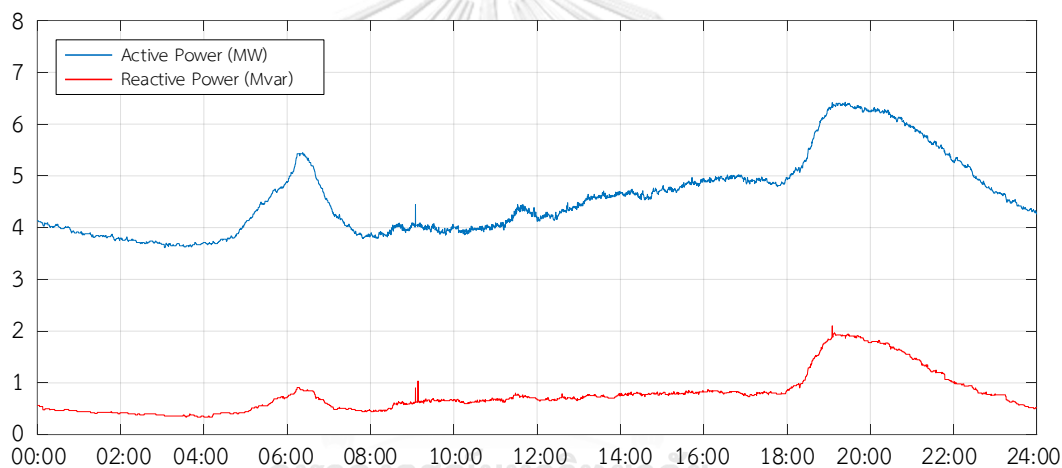
แหล่งผลิตไฟฟ้า	กำลังผลิตติดตั้ง (เมกะวัตต์)		ผู้รับผิดชอบ
	ปัจจุบัน	อนาคต	
โรงไฟฟ้าพลังงานน้ำขนาดเล็กแม่สะงา (Mae Sa Nga Hydro Power Plant)	2 x 2.52 2 x 2.65	2 x 2.52 2 x 2.65	พพ.*
โรงไฟฟ้าพลังงานน้ำขนาดเล็กผาบ่อง (Pha Bong Hydro Power Plant)	0.85	3.85	พพ.
โรงไฟฟ้าพลังงานแสงอาทิตย์ผาบ่อง (Pha Bong Solar Power Plant)	0.50	3.50	กฟผ.
โรงไฟฟ้าดีเซลแม่ฮ่องสอน (MHS Diesel Generator)	3 x 1.00 3 x 0.80	-	กฟผ.

* กรมพัฒนาพลังงานทดแทนและอนุรักษ์พลังงาน (พพ.) กระทรวงพลังงาน



รูปที่ 3.3 ระบบจำหน่ายไฟฟ้าของอำเภอเมืองแม่ฮ่องสอน

จากรูปที่ 3.3 แสดงสภาพการจ่ายไฟของอำเภอเมืองแม่ฮ่องสอน จากระบบส่ง 115 กิโลโวลต์ สู่ระบบจำหน่ายไฟฟ้า 22 กิโลโวลต์ แบ่งวงจรออกเป็น 10 สายป้อน ประกอบด้วยแหล่งผลิตไฟฟ้า ภายในพื้นที่ โหลดผู้ใช้ไฟหลากหลายประเภท ทั้งในส่วนราชการ สถานศึกษา โรงพยาบาล สถานที่ท่องเที่ยว สนามบิน ผู้ประกอบการธุรกิจโรงแรม และบ้านพักอาศัย ทำให้อำเภอเมืองแม่ฮ่องสอนมีความต้องการใช้ไฟฟ้าสูงสุดในจังหวัด และมีโหลดที่มีความสำคัญหรือหากเกิดเหตุขัดข้องต้องพิจารณาการจ่ายกระแสไฟฟ้าเป็นอันดับแรกเสมอ ได้แก่ โรงพยาบาล ศาลากลางจังหวัด ที่ว่าการอำเภอ เทศบาล สนามบิน และเมื่ออ้างอิงข้อมูลระบบไฟฟ้าที่ตรวจวัดในเดือนตุลาคม 2563 พบว่าค่าความต้องการใช้ไฟฟ้าสูงสุดของอำเภอเมืองแม่ฮ่องสอน สามารถจำแนกได้เป็น 2 ช่วงเวลา คือ 05.00 – 07.00 น. และ 18.00 – 20.00 น. มีลักษณะโหลดหรือความต้องการใช้ไฟฟ้าในสภาวะแยกโดดแสดงในรูปที่ 3.4



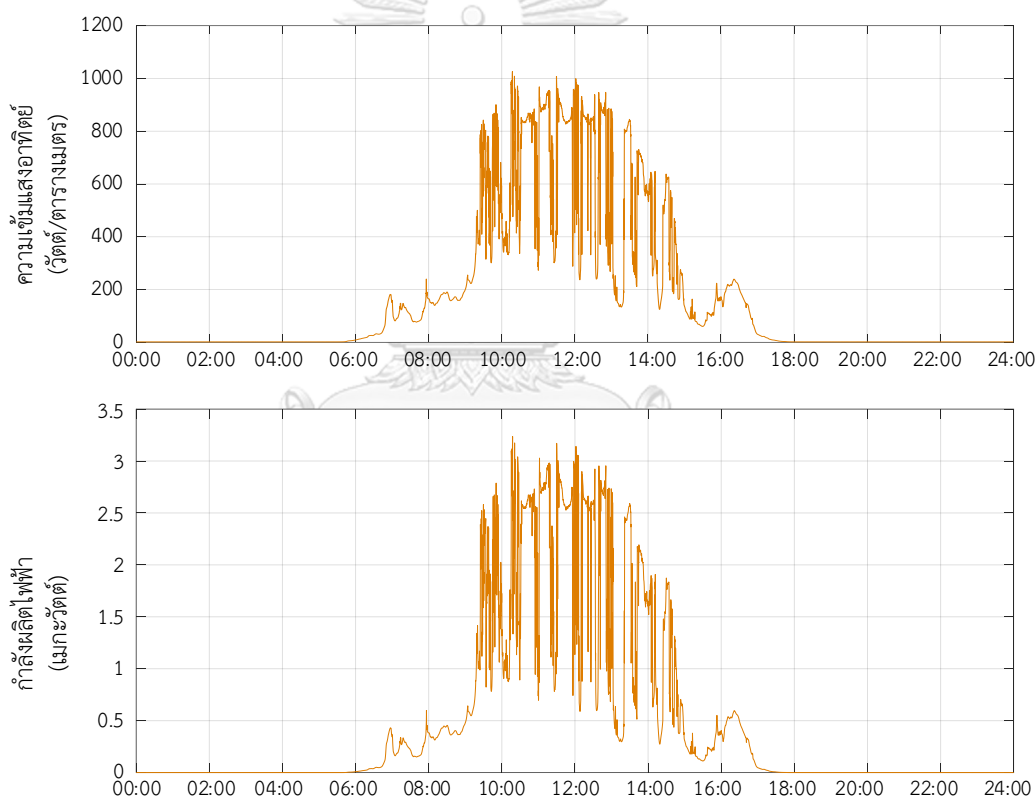
รูปที่ 3.4 ค่าความต้องการใช้ไฟฟ้าของระบบไฟฟ้าอำเภอเมืองแม่ฮ่องสอนในสภาวะแยกโดด ณ วันที่ 7 กันยายน 2563

3.2.1) โรงไฟฟ้าพลังน้ำขนาดเล็กแม่สะงา

โรงไฟฟ้าพลังงานน้ำแม่สะงามีกำลังการผลิตขึ้นอยู่กับปริมาณน้ำตามฤดูกาลที่กักเก็บไว้ในอ่างเก็บน้ำแม่สะงา โรงไฟฟ้านี้เชื่อมต่อกับวงจรสายป้อนที่ 9 (ตามรูปที่ 3.3) ประกอบด้วยเครื่องกำเนิดไฟฟ้าจำนวน 4 เครื่อง โดยเครื่องกำเนิดไฟฟ้าที่ 1 และ 2 มีกำลังผลิตติดตั้ง 2.52 เมกะวัตต์ต่อเครื่อง และเครื่องกำเนิดไฟฟ้าที่ 3 และ 4 มีกำลังผลิตติดตั้ง 2.65 เมกะวัตต์ต่อเครื่อง ปัจจุบันมีการเดินเครื่องกำเนิดไฟฟ้ารอบละ 3 เครื่อง โดยหยุดพักทีละหนึ่งเครื่อง อย่างไรก็ตามในงานวิจัยนี้จะทำการเดินเครื่องกำเนิดไฟฟ้าทั้งหมด 4 เครื่อง กำลังการผลิตรวมสูงสุด ประมาณ 10 เมกะวัตต์

3.2.2) โรงไฟฟ้าพลังงานแสงอาทิตย์ผาบ่อง

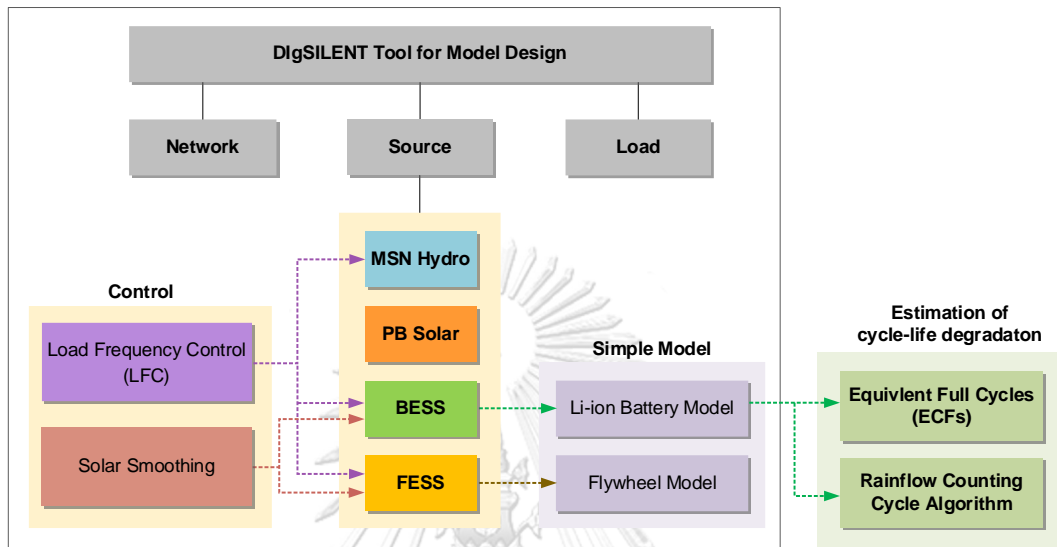
โรงไฟฟ้าพลังงานแสงอาทิตย์จัดเป็นแหล่งกำเนิดไฟฟ้าที่มีความผันผวนสูง เนื่องด้วยกำลังผลิตที่ได้ขึ้นอยู่กับความเข้มแสงอาทิตย์ (Solar irradiance) สำหรับโรงไฟฟ้าพลังงานแสงอาทิตย์ผาบ่อง เชื่อมต่อกับวงจรสายป้อนที่ 6 (ตามรูปที่ 3.3) มีกำลังผลิตติดตั้ง 0.5 เมกะวัตต์ หรือ 500 กิโลวัตต์ และในอนาคตจะเพิ่มกำลังผลิตติดตั้งเป็น 3.5 เมกะวัตต์ จากข้อมูลตรวจวัดค่าความเข้มแสงอาทิตย์ของโรงไฟฟ้าพลังงานแสงอาทิตย์ผาบ่องราย 10 วินาที จำนวน 93 วัน ในปี 2559 พบว่าค่าความเข้มแสงอาทิตย์ในวันที่ 5 ตุลาคม 2559 มีความผันผวนราย 10 วินาทีเกิดขึ้นบ่อยครั้งและมีค่าสูงสามารถประมาณการลักษณะความเข้มแสงและกำลังผลิตของโรงไฟฟ้าพลังงานแสงอาทิตย์ผาบ่องในกรณีขยายขนาดติดตั้งเป็น 3.5 เมกะวัตต์ ที่ใช้ในวิทยานิพนธ์นี้ แสดงในรูปที่ 3.5



รูปที่ 3.5 ข้อมูลลักษณะความเข้มแสงอาทิตย์และกำลังผลิตของโรงไฟฟ้าพลังงานแสงอาทิตย์ผาบ่องในกรณีขยายขนาดติดตั้งเป็น 3.5 เมกะวัตต์ ที่ใช้ในวิทยานิพนธ์นี้

บทที่ 4

แบบจำลองระบบไฟฟ้าขนาดเล็กของอำเภอเมืองแม่ฮ่องสอนและแนวทางการควบคุม การทำงานของระบบกักเก็บพลังงานชนิดล้อย่นกำลังที่นำเสนอ



รูปที่ 4.1 แผนภาพแนวทางการวิจัยที่นำเสนอ

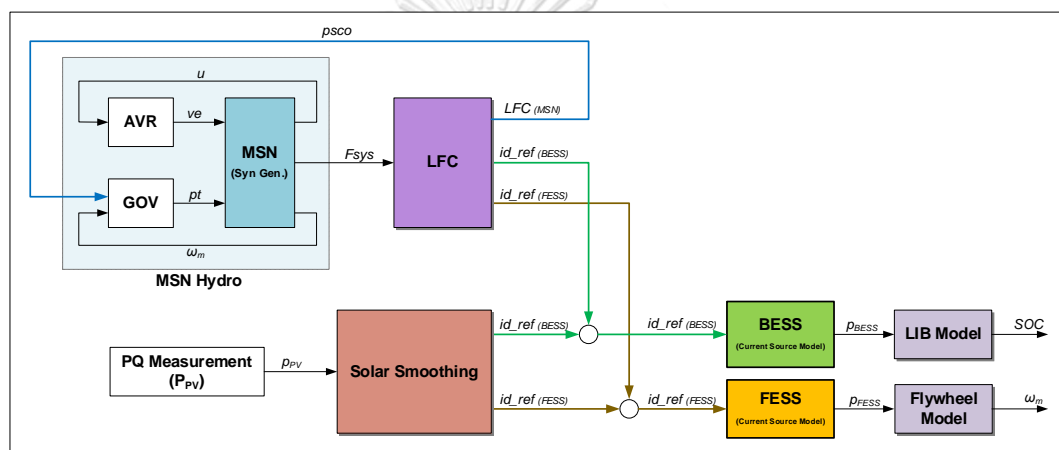
วิทยานิพนธ์ฉบับนี้มีแนวทางการศึกษาวิจัยดังแสดงในแผนภาพรูปที่ 4.1 แบ่งออกเป็น 2 ส่วนที่สำคัญ ได้แก่ การจำลองระบบไฟฟ้าด้วยโปรแกรม DigSILENT และการวิเคราะห์ความสัมพันธ์สภาพการใช้งานของแบตเตอรี่ที่เปลี่ยนแปลงไปเมื่อมีการใช้งานระบบล้อย่นกำลังเข้ามาในระบบไฟฟ้า

สำหรับระบบไฟฟ้าขนาดเล็กของอำเภอเมืองแม่ฮ่องสอนที่นำเสนอในงานวิจัยนี้ จำลองด้วยโปรแกรม PowerFactory (DigSILENT) แบ่งเป็น 3 องค์ประกอบหลัก ได้แก่ รูปแบบการจ่ายไฟ แหล่งผลิตไฟฟ้า และโหลดผู้ใช้ไฟ โดยแหล่งผลิตไฟฟ้าที่จะใช้ในการจำลอง ประกอบด้วย โรงไฟฟ้าพลังงานน้ำขนาดเล็กแม่สะงา (MSN Hydro) โรงไฟฟ้าพลังงานแสงอาทิตย์ผาบ่อง (PB Solar) ระบบกักเก็บพลังงานชนิดแบตเตอรี่ (BESS) และระบบกักเก็บพลังงานชนิดล้อย่นกำลัง (FESS)

ในส่วนของการควบคุมการทำงานของระบบกักเก็บพลังงานชนิดล้อย่นกำลัง นำเสนอการควบคุม 2 แนวทาง แสดงรายละเอียดดังรูปที่ 4.2 ได้แก่ 1) การควบคุมความถี่โหลด (Load Frequency Control; LFC) ของระบบล้อย่นกำลัง ประสานงานร่วมกับโรงไฟฟ้าพลังงานน้ำขนาดเล็ก

แม่สะงาและระบบแบตเตอรี่ และ 2) การปรับเรียกกำลังผลิตไฟฟ้าของโรงไฟฟ้าพลังงานแสงอาทิตย์ (Solar Smoothing) ของระบบล้อยูนกำลัง ร่วมกับระบบแบตเตอรี่

อีกทั้งมีการนำเสนอแบบจำลองอย่างง่าย (Simple Model) ของระบบแบตเตอรี่ และระบบล้อยูนกำลัง เพื่อสังเกตสถานะการประจุ (State of Charge; SOC) ของระบบแบตเตอรี่ และความเร็วเชิงมุม (ω_m) ในการหมุนของระบบล้อยูนกำลัง นำไปพิจารณาขนาดติดตั้งที่เหมาะสมของระบบกักเก็บพลังงานทั้งสองชนิด อีกทั้งข้อมูลสถานะการประจุของแบตเตอรี่ที่ได้จากการจำลองสามารถนำไปวิเคราะห์ค่าความเสื่อมสภาพในการใช้งานแบตเตอรี่ต่อไป เพื่อประเมินอายุการใช้งานของระบบแบตเตอรี่ที่เปลี่ยนแปลงไปเมื่อมีการใช้งานระบบล้อยูนกำลังเพิ่มเข้ามาในระบบไฟฟ้า



รูปที่ 4.2 แผนภาพแสดงการควบคุมการทำงานของระบบกักเก็บพลังงานแต่ละชนิด

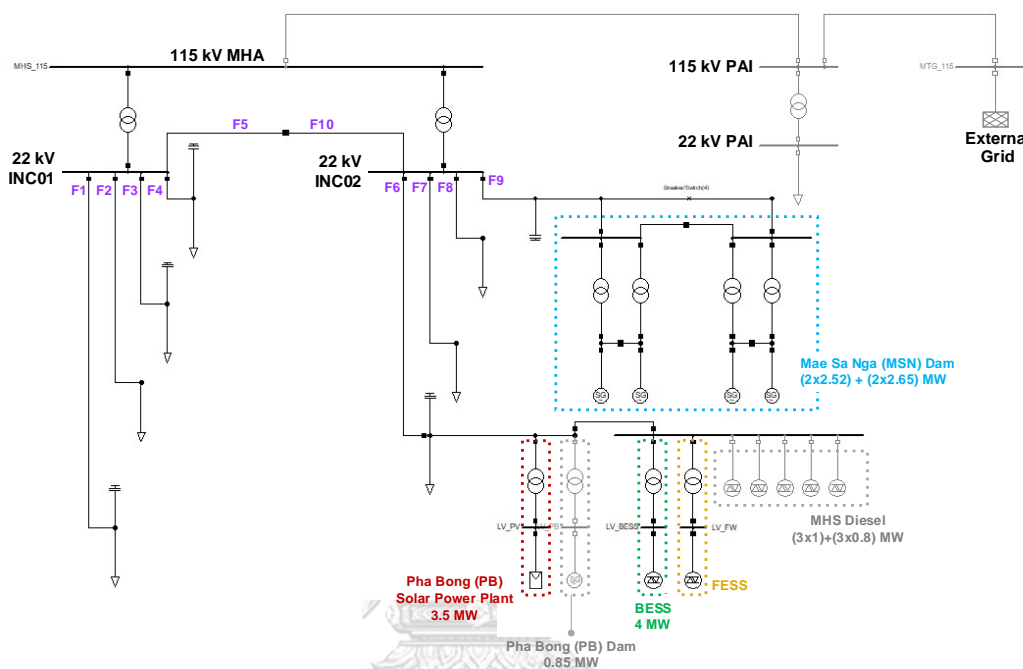
จุฬาลงกรณ์มหาวิทยาลัย

4.1 แบบจำลองระบบไฟฟ้าขนาดเล็กของอำเภอเมืองแม่ฮ่องสอนในสถานะแยกโดด

ระบบไฟฟ้าในสถานะแยกโดด ต้องการให้มีการบริหารจัดการแหล่งพลังงานไฟฟ้าภายในพื้นที่ สำหรับการส่งจ่ายกำลังไฟฟ้าให้กับผู้ใช้ในพื้นที่ โดยจะพิจารณาเฉพาะระบบจำหน่ายไฟฟ้าในระดับแรงดัน 22 กิโลโวลต์ ความถี่ 50±0.5 เฮิรตซ์ เพื่อให้สอดคล้องกับระเบียบการเชื่อมต่อกับระบบโครงข่ายไฟฟ้าของ กฟภ.

การจำลองระบบไฟฟ้าขนาดเล็กของอำเภอเมืองแม่ฮ่องสอนในสถานะแยกโดด มีรูปแบบการจ่ายไฟและแหล่งผลิตกำลังไฟฟ้างดรูปที่ 4.3 (ในรูปส่วนที่เป็นสีเทาจะไม่นำมาพิจารณาในการจำลอง) ซึ่งพิจารณาแหล่งผลิตไฟฟ้าภายในพื้นที่ ประกอบด้วย โรงไฟฟ้าพลังงานน้ำขนาดเล็กแม่สะงา (MSN Hydro Power Plant) โรงไฟฟ้าพลังงานแสงอาทิตย์ผาบ่อง (PB Solar Power Plant) รวมถึงระบบกักเก็บพลังงานชนิดแบตเตอรี่ (BESS) ที่มีแผนงานติดตั้งในอนาคต และระบบกักเก็บพลังงานชนิด

ล้อยูนกำลัง (FESS) ที่นำเสนอในวิทยานิพนธ์นี้ ในที่นี้จะไม่พิจารณาแหล่งผลิตไฟฟ้าจากโรงไฟฟ้าพลังงานน้ำขนาดเล็กผาบ่อง (PB Hydro Power Plant) และโรงจักรดีเซลแม่ฮ่องสอน (MHS Diesel Generator) เนื่องจากโรงไฟฟ้าพลังงานน้ำขนาดเล็กผาบ่องมีกำลังผลิตน้อย และในสภาวะปกติโรงจักรดีเซลจะไม่มีการใช้งาน รวมถึงเป็นการสนับสนุนแนวคิดการลดการใช้พลังงานเชื้อเพลิงอีกด้วย

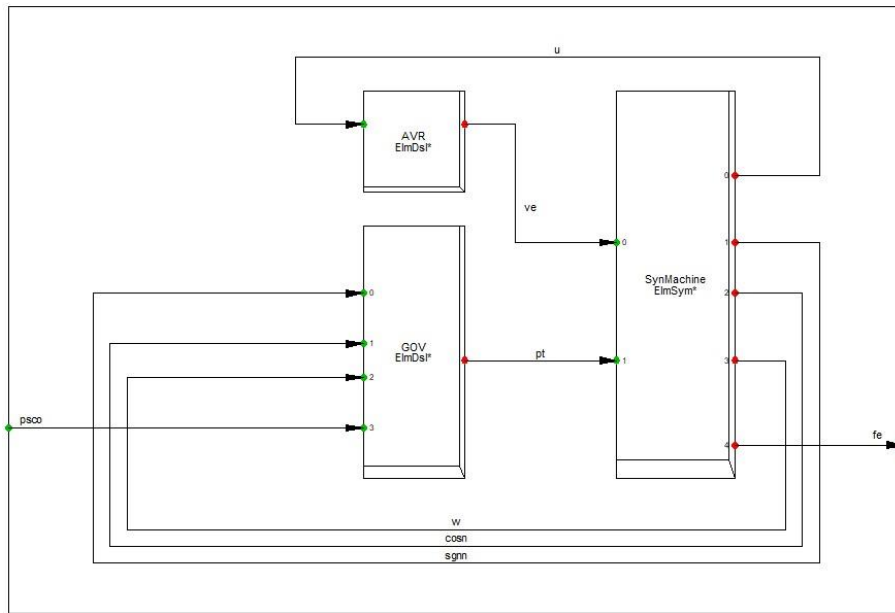


รูปที่ 4.3 แบบจำลองระบบไฟฟ้าอำเภอเมืองแม่ฮ่องสอนในโปรแกรม PowerFactory (DigSILENT)

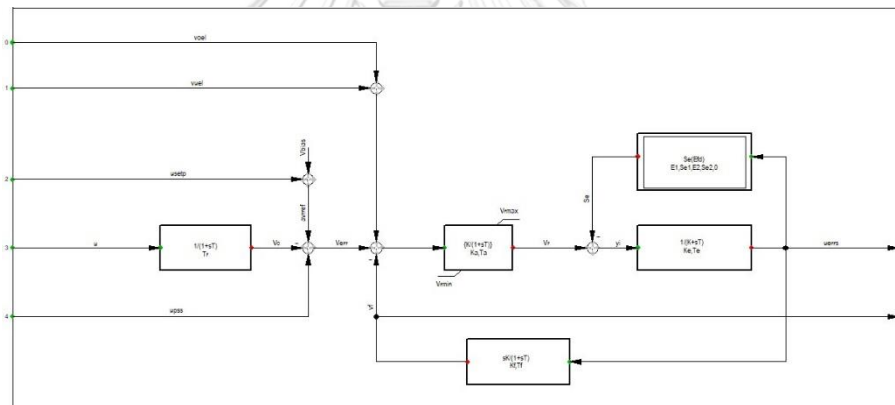
จุฬาลงกรณ์มหาวิทยาลัย
CHULALONGKORN UNIVERSITY

4.2 แบบจำลองโรงไฟฟ้าพลังงานน้ำขนาดเล็กแม่สะงา

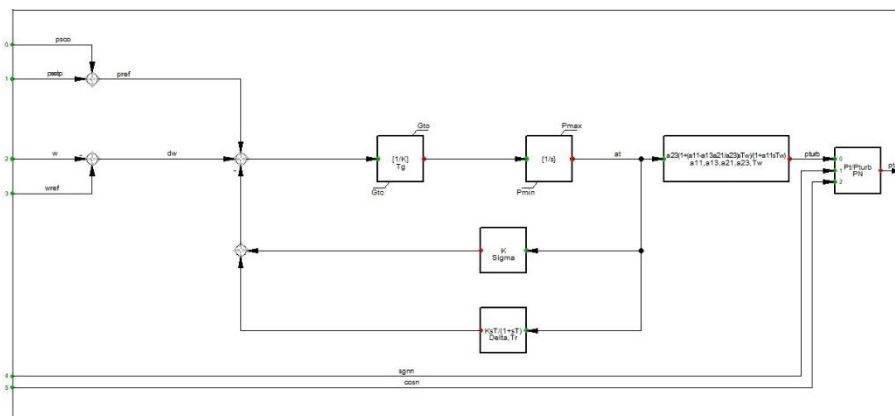
แบบจำลองโรงไฟฟ้าพลังงานน้ำขนาดเล็กแม่สะงาใช้ระบบควบคุมอ้างอิงตาม [2] ซึ่งมีแผนผังตามรูปที่ 4.4 จากภาพในส่วน “SynMachine” ถูกจำลองด้วยเครื่องกำเนิดไฟฟ้าซิงโครนัส และส่วนอื่นคือการควบคุม ซึ่งประกอบด้วย การควบคุมแรงดันไฟฟ้าอัตโนมัติ (Automatic voltage regulator; AVR) ตามมาตรฐาน 1968 IEEE Type 1 excitation system (IEEET1) มีรายละเอียดดังรูปที่ 4.5 และการควบคุมกังหันของโรงไฟฟ้าพลังงานน้ำ (Governor; GOV) ตามมาตรฐาน 1981 IEEE type 3 turbine-governor model (IEEET3) มีรายละเอียดดังรูปที่ 4.6 นอกเหนือจากนี้มีการควบคุมความถี่ไหลโดยโรงไฟฟ้าพลังงานน้ำขนาดเล็กแม่สะงา รายละเอียดในหัวข้อที่ 4.6



รูปที่ 4.4 แบบจำลองระบบควบคุมโรงไฟฟ้าพลังงานน้ำขนาดเล็กแม่สะงา



รูปที่ 4.5 แบบจำลองระบบควบคุมแรงดันไฟฟ้าอัตโนมัติ (AVR)



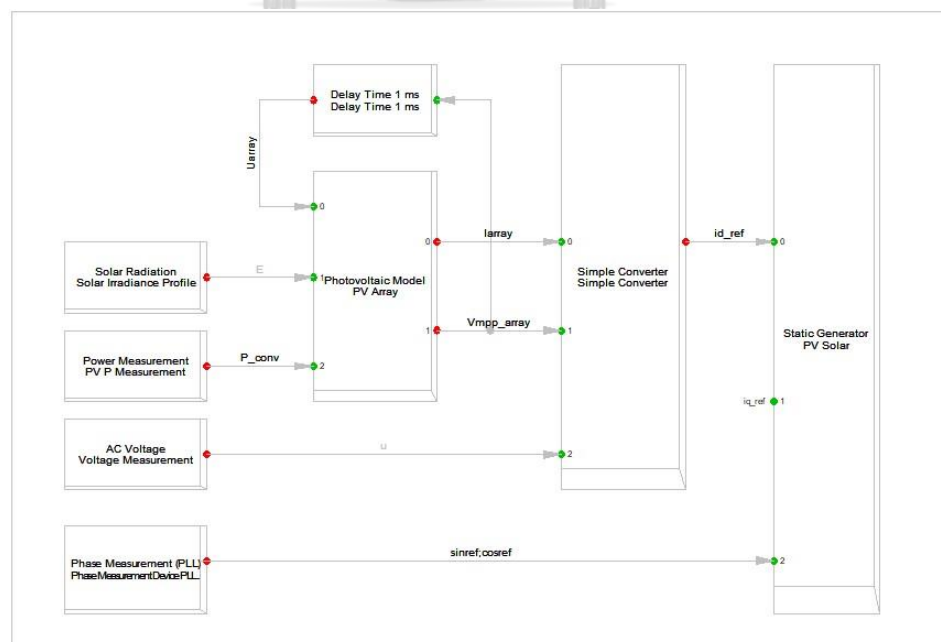
รูปที่ 4.6 แบบจำลองระบบควบคุมกังหันของโรงไฟฟ้าพลังงานน้ำ (GOV)

สำหรับค่าพารามิเตอร์ของโรงไฟฟ้าพลังงานน้ำขนาดเล็กแม่สะงาที่ใช้ในวิทยานิพนธ์นี้ อ้างอิงจาก [2] แสดงในตารางที่ 4.1 ดังต่อไปนี้

ตารางที่ 4.1 พารามิเตอร์ของโรงไฟฟ้าพลังงานน้ำขนาดเล็กแม่สะงา

พารามิเตอร์	ตัวแปรใน DiGSILENT	โรงไฟฟ้าพลังงานน้ำขนาดเล็กแม่สะงา	
		โรงที่ 1 และ 2	โรงที่ 3 และ 4
Rated apparent power of generator [MVA]	sgn	3.375	3.3125
Rated active power of turbine [MW]	PN	2.55	2.65
Power factor	cosn	0.85 lag	0.80 lag
Rated voltage [kV]	ugn	3.3	
Inertia time constant [s]	H	0.57	
Permanent droop [p.u.]	Sigma	0.05	
Temporary droop [p.u.]	Delta	1.4	
Gate servomotor time constant [s]	Tg	8	
Governor time constant [s]	Tr	15	
Water starting time [s]	Tw	2.2347	
Mechanical Damping [p.u]	dpu	0.114	

4.3 แบบจำลองโรงไฟฟ้าพลังงานแสงอาทิตย์ผาบ่อง

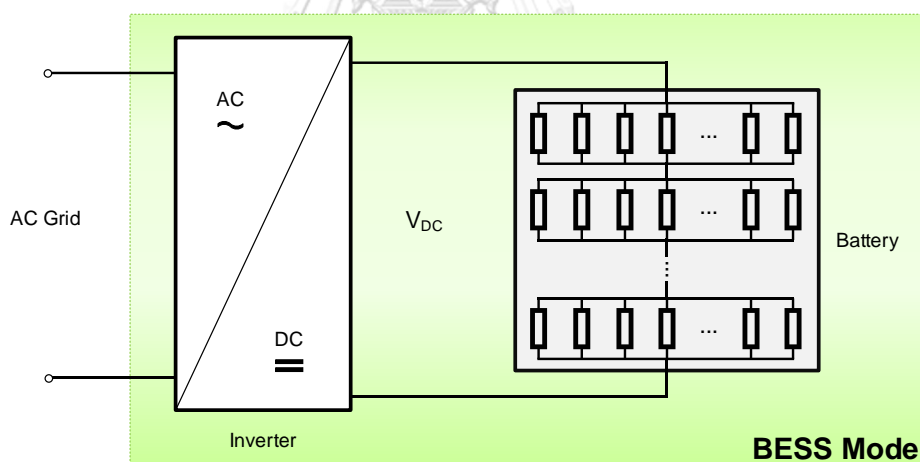


รูปที่ 4.7 แบบจำลองระบบควบคุมโรงไฟฟ้าพลังงานแสงอาทิตย์ผาบ่อง

แบบจำลองโรงไฟฟ้าพลังงานแสงอาทิตย์ผาบ่องจำลองใช้ Static Generator ประเภทพลังงานแสงอาทิตย์ (Photovoltaic) มีขนาดกำลังผลิตติดตั้ง 3.5 เมกะวัตต์ (7x0.5 เมกะวัตต์) ระบบควบคุมโรงไฟฟ้าแสดงในรูปที่ 4.7 เพื่อจำลองกำลังผลิตไฟฟ้าจากพลังงานแสงอาทิตย์ด้วยข้อมูลความเข้มแสงอาทิตย์ราย 10 วินาที ของวันที่ 5 ตุลาคม 2559

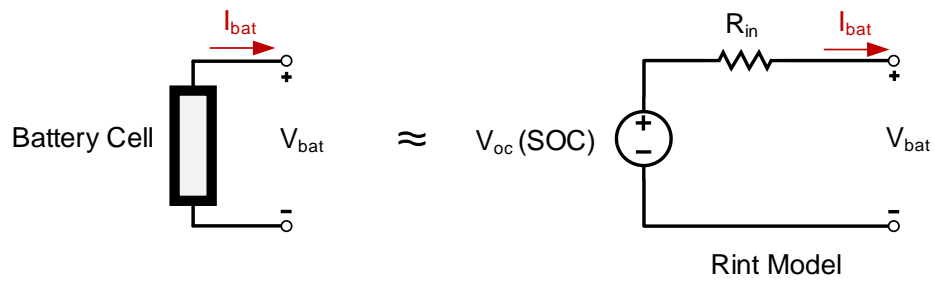
4.4 แบบจำลองระบบกักเก็บพลังงานชนิดแบตเตอรี่ที่ใช้ในงานวิทยานิพนธ์

ในงานวิจัยนี้จำลองระบบแบตเตอรี่เป็น Static Generator อนุமானว่าส่วนของแบตเตอรี่และอุปกรณ์แปลงผันพลังงาน (AC-DC Inverter) อยู่ใน Static Generator นี้ ดังแสดงในรูปที่ 4.8 และใช้การควบคุมแบบแหล่งจ่ายกระแสไฟฟ้า (current source model) สั่งการให้ระบบแบตเตอรี่จ่ายหรือรับกำลังไฟฟ้าตามโหมดการทำงานที่ต้องการ อย่างไรก็ตามหากต้องการศึกษาสถานะการทำงานของแบตเตอรี่ (รับประจุ/คายประจุ) สถานะการประจุ (SOC) เป็นค่าที่แสดงถึงการทำงานเพื่อรับหรือคายประจุได้ ดังนั้นจึงต้องสร้างแบบจำลองแบตเตอรี่เพื่อให้ได้ค่าดังกล่าวมาศึกษาวิเคราะห์ต่อไป



รูปที่ 4.8 แบบจำลองทั่วไปของระบบกักเก็บพลังงานชนิดแบตเตอรี่

สำหรับแบบจำลองของแบตเตอรี่ (ส่วนหนึ่งในระบบแบตเตอรี่) ภายในประกอบด้วยเซลล์แบตเตอรี่จำนวนมากต่อขนานและอนุกรมกันตามความจุและแรงดันไฟฟ้าตามต้องการ วิทยานิพนธ์ฉบับนี้จะใช้แบตเตอรี่ชนิดลิเทียมไอออน (Lithium-ion Battery; LIB) สมมติให้เซลล์ของแบตเตอรี่มีวงจรสมมูลแบบ Rint Model [14], [15] ซึ่งในที่นี้กำหนดให้แรงดัน V_{OC} (Open-circuit voltage) แปรผันตาม SOC และในส่วนความต้านทานภายใน (R_{in}) กำหนดให้เป็นค่าคงที่ (ไม่มีการเปลี่ยนแปลงตามอุณหภูมิหรือตามค่า SOC) ดังแสดงในรูปที่ 4.9



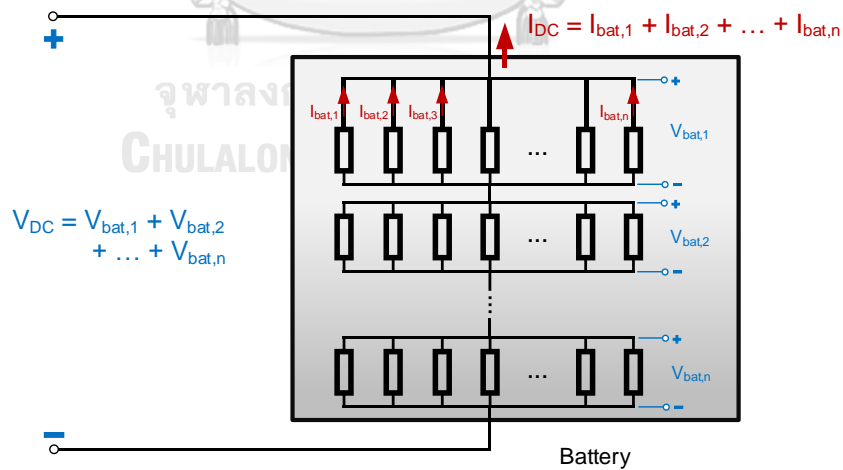
รูปที่ 4.9 วงจรสมมูลแบบ Rint Model ของแบตเตอรี่ชนิดลิเทียมไอออน
จากรูปข้างต้น แรงดันขาออกของแบตเตอรี่ (V_{bat}) คำนวณได้จากสมการต่อไปนี้

$$V_{bat} = V_{OC} - V_{Rin} \tag{4.1}$$

โดย $V_{Rin} = R_{in} \cdot I_{bat}$ และค่ากระแสของแบตเตอรี่ (I_{bat}) สัมพันธ์กับค่าความจุของแบตเตอรี่ (Q) และ SOC ดังแสดงในสมการที่ 4.2

$$SOC = SOC_0 - \frac{1}{Q_{rated}} \int \frac{I_{bat}}{3600} dt \tag{4.2}$$

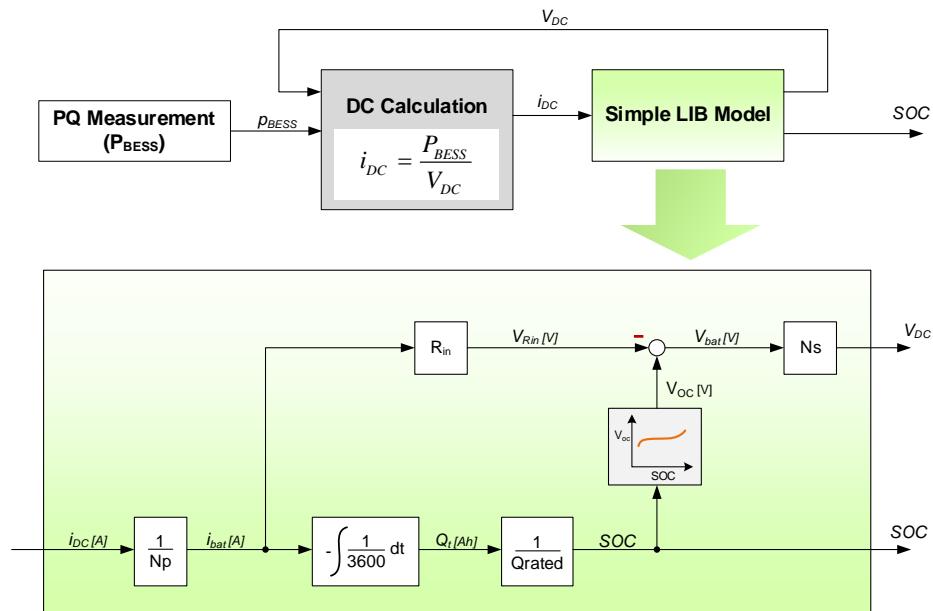
ทั้งนี้ลักษณะของแรงดันและกระแสแต่ละเซลล์แบตเตอรี่สัมพันธ์กับแรงดันไฟฟ้ากระแสตรง (V_{DC}) และกระแสไฟฟ้า (i_{DC}) ของแบตเตอรี่ ดังรูปที่ 4.10



รูปที่ 4.10 แรงดันและกระแสไฟฟ้าภายในแบตเตอรี่

ดังนั้นจะได้แบบจำลองของแบตเตอรี่ที่ใช้ในงานวิจัยนี้ แสดงในรูปที่ 4.11 กำหนดให้ค่ากำลังไฟฟ้าของระบบแบตเตอรี่เป็นสัญญาณขาเข้าเพื่อคำนวณหากระแสด้านไฟฟ้ากระแสตรง (i_{DC})

ของแบตเตอรี่ และมีแบบจำลองแบตเตอรี่ชนิดลิเธียมไอออนเพื่อสร้างสัญญาณขาออกแรงดันไฟฟ้ากระแสตรง (V_{DC}) และค่า SOC ของแบตเตอรี่

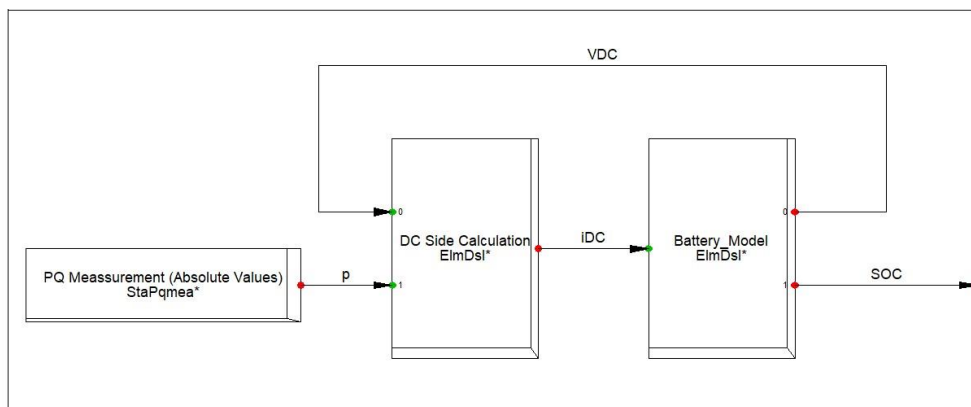


รูปที่ 4.11 แบบจำลองของแบตเตอรี่

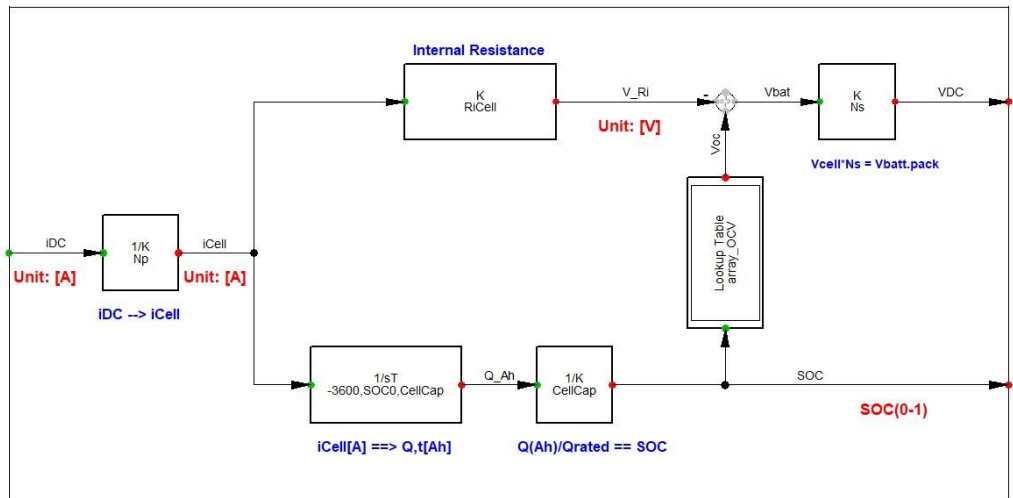
โดยตัวแปรในแบบจำลองมีค่านิยาม ดังนี้

ตัวแปร	หน่วย	ค่านิยาม
Np	Unit	Amount of parallel connected cells (increase the total capacity)
Ns	Unit	Amount of serial connected cells (increase the output voltage)
Rin	ohm	Internal resistance per cell
Grated	Ah	Rated capacity per cell

และแบบจำลองแบตเตอรี่ที่ใช้ในโปรแกรม DigSILENT แสดงในรูปที่ 4.12 และรูปที่ 4.13



รูปที่ 4.12 แบบจำลองของแบตเตอรี่ ที่ใช้ในโปรแกรม DigSILENT



รูปที่ 4.13 แบบจำลองภายในของ Simple LIB Model ที่ใช้ในโปรแกรม DigSILENT

สำหรับพารามิเตอร์ต่างๆที่ใช้ในแบบจำลอง รวมถึงความสัมพันธ์ระหว่างสถานะการประจุ (SOC) กับแรงดัน (V_{OC}) อ้างอิงจาก [16] แบตเตอรี่ลิเทียมไอออนประเภท Lithium-iron phosphate (LiFePO_4 หรือ LFP) ในชื่อ A123 Li-iron-phosphate ANR26650M1 ดังแสดงในตารางที่ 4.2 (ในส่วนพารามิเตอร์ N_p และ N_s ขึ้นอยู่กับความจุและแรงดันที่ต้องการ ตามที่ได้กล่าวไปข้างต้นแล้ว)

ตารางที่ 4.2 พารามิเตอร์ที่ใช้ในการจำลองของระบบกักเก็บพลังงานชนิดแบตเตอรี่

พารามิเตอร์	ค่าที่ใช้ในการจำลอง
Nominal capacity	2.3 Ah
Nominal voltage	3.3 V
Internal resistance	10 m Ω
Nominal discharge current	2.3 A
Nominal ambient temperature	25°C
Cycle life at 10C discharge, 100% DOD	Over 1,000 cycles

4.5 แบบจำลองของระบบกักเก็บพลังงานชนิดล้อยูนกำลังที่ใช้ในงานวิทยานิพนธ์

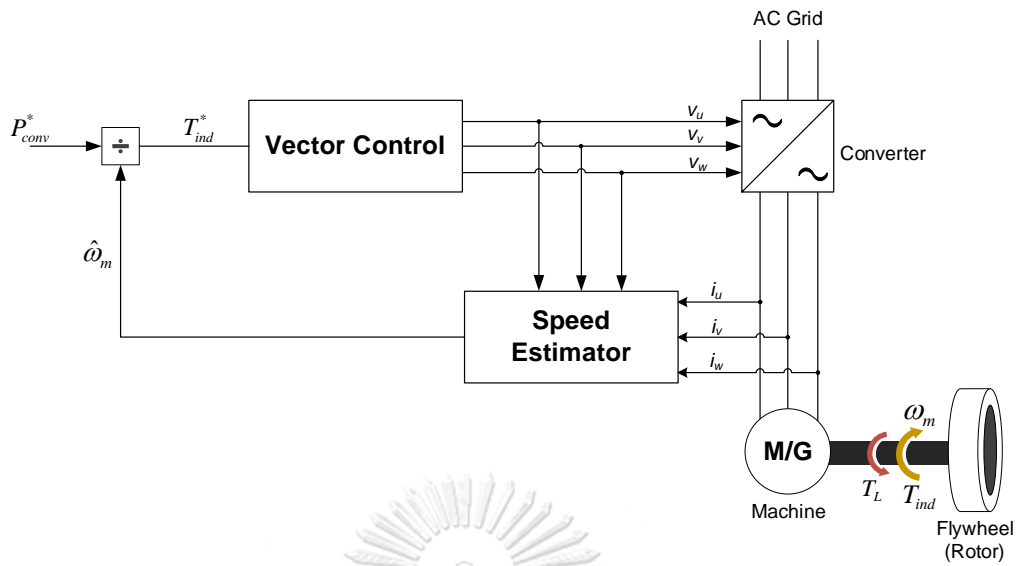
ในงานวิจัยนี้จำลองระบบล้อยูนกำลังเป็น Static Generator เช่นเดียวกับระบบแบตเตอรี่ โดยสมมติว่าส่วนประกอบต่างๆ ของล้อยูนกำลังดังรูปที่ 2.1 เช่น โรเตอร์, มอเตอร์ และอุปกรณ์แปลงผันพลังงาน (AC-AC Converter) อยู่ภายใน Static Generator ที่ใช้ และกำหนดให้ระบบล้อยูนกำลังถูกควบคุมในโหมดแหล่งจ่ายกระแสไฟฟ้า (Current source model) สั่งการให้รับหรือ

จ่ายกำลังไฟฟ้าตามการทำงานที่ต้องการเท่านั้น หากต้องการสิ่งที่แสดงถึงการทำงานของระบบล้อยอนกำลังหรือความเร็วเชิงมุม (ω_m) ของโรเตอร์ที่เกิดขึ้นจากการขับเคลื่อนของเครื่องจักรกลไฟฟ้าที่อยู่ภายในระบบล้อยอนกำลัง ดังนั้นจึงจำเป็นต้องสร้างแบบจำลองของระบบล้อยอนกำลังเพื่อค่าความเร็วเชิงมุมดังกล่าว

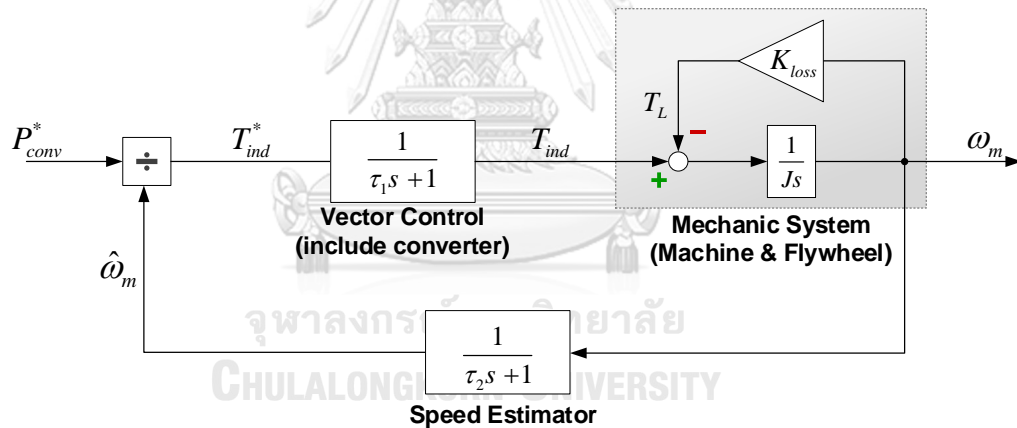
เพื่อให้เกิดการหมุนของโรเตอร์ภายในระบบล้อยอนกำลังจะต้องทำการขับเคลื่อนมอเตอร์ของระบบล้อยอนกำลัง ซึ่งการขับเคลื่อนมอเตอร์เทียบเท่ากับการควบคุมความเร็วรอบของมอเตอร์ โดยทั่วไปมักต้องติดตั้งเซนเซอร์เพื่อวัดตำแหน่งและความเร็วรอบการหมุนของโรเตอร์ เรียกว่าการควบคุมแบบเวกเตอร์ (Vector control) ที่สามารถควบคุมแรงบิดได้โดยตรง และมีความแม่นยำสูง อย่างไรก็ตามการติดตั้งเซนเซอร์ทำให้เกิดความยุ่งยากซับซ้อน และมีค่าใช้จ่ายการติดตั้งที่เพิ่มขึ้นเนื่องจากอุปกรณ์ดังกล่าวไม่ได้ถูกติดตั้งมากับมอเตอร์โดยตรง นอกจากนี้ยังต้องคำนึงถึงตำแหน่งและสภาพแวดล้อมในการติดตั้งเพื่อให้เกิดความแม่นยำสูงสุดในการใช้งาน และการติดตั้งเซนเซอร์อาจก่อให้เกิดสัญญาณรบกวนส่งผลให้การควบคุมยากขึ้น รวมถึงเกิดความยุ่งยากเชิงกลที่เกิดจากการติดตั้งอีกด้วย จากข้อเสียของวิธีการควบคุมแบบเวกเตอร์ที่กล่าวมาข้างต้นจึงมีการพัฒนาการควบคุมเวกเตอร์แบบไรเซ็นเซอร์ (Sensorless vector control) เพื่อหลีกเลี่ยงการติดตั้งเซนเซอร์ โดยใช้การประมาณตำแหน่งและความเร็วรอบการหมุนของโรเตอร์จากการวัดแรงดันและกระแส ดังแสดงในรูปที่ 4.14 อีกทั้งวิธีนี้ยังสามารถควบคุมแรงบิดได้โดยตรงเช่นกัน รวมถึงมีความแม่นยำและมีการตอบสนองที่รวดเร็ว

ดังนั้นแบบจำลองของระบบล้อยอนกำลังในวิทยานิพนธ์ฉบับนี้จึงใช้หลักการควบคุมเวกเตอร์แบบไรเซ็นเซอร์ เพื่อประมาณความเร็วเชิงมุมในการหมุนของโรเตอร์ในระบบล้อยอนกำลัง สร้างแรงบิดเหนี่ยวนำตามต้องการ ให้เครื่องจักรกลไฟฟ้าขับเคลื่อนการหมุนของล้อยอนกำลังต่อไป

จากสมการที่ (2.2) และ (2.3) และแผนภาพรูปที่ 4.14 สามารถจำลองระบบล้อยอนกำลังดังแสดงในรูปที่ 4.15 กำหนดให้ส่วนของการควบคุมแรงบิดเหนี่ยวนำ (Vector control) และส่วนของการประมาณความเร็วเชิงมุมของล้อยอนกำลัง (Speed estimator) แทนด้วยวงจรรองความถี่ต่ำผ่านเพื่อต้องการค่าความเร็วเชิงมุมในการหมุนของล้อยอนกำลังที่เกิดขึ้นในการจำลองระบบนี้ โดยมีสัญญาณขาเข้าเป็นค่ากำลังไฟฟ้าคำสั่งของระบบล้อยอนกำลังนำมาหารด้วยค่าความเร็วเชิงมุมโดยประมาณ เกิดเป็นค่าแรงบิดเหนี่ยวนำโดยประมาณผ่านส่วนการควบคุมแบบเวกเตอร์เพื่อสร้างคำสั่งแรงบิดเหนี่ยวนำที่แท้จริงสั่งการให้มอเตอร์ขับเคลื่อนล้อยอนกำลัง



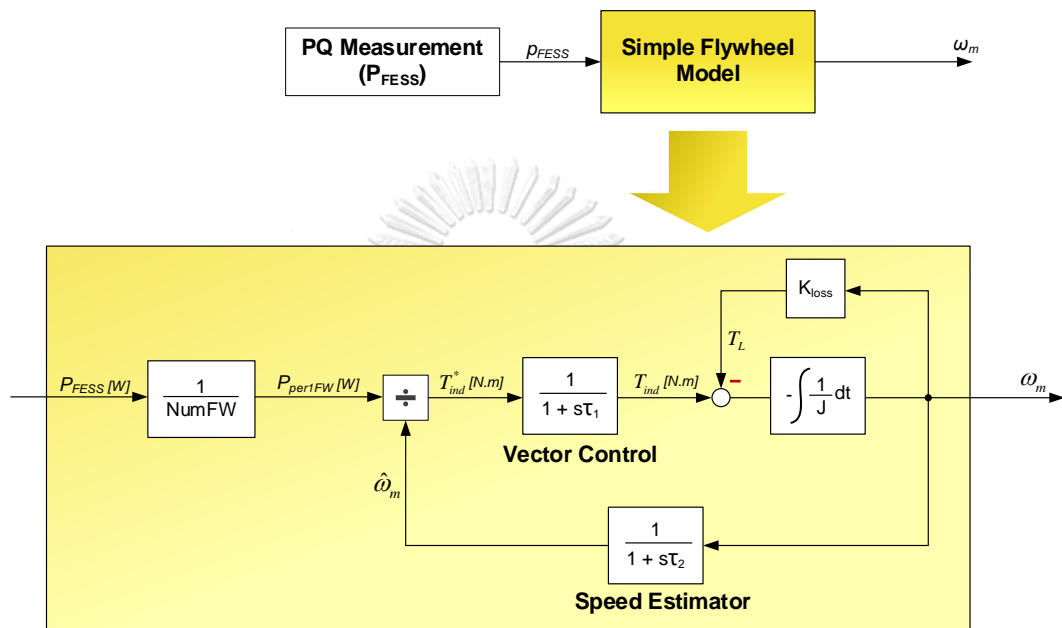
รูปที่ 4.14 แผนภาพแสดงการควบคุมเวกเตอร์แบบไร้เซ็นเซอร์ (Sensorless Vector Control) สำหรับระบบกักเก็บพลังงานชนิดล้อตุ้มนกกำลัง



รูปที่ 4.15 แบบจำลองของระบบกักเก็บพลังงานชนิดล้อตุ้มนกกำลังที่ใช้หลักการควบคุมเวกเตอร์แบบไร้เซ็นเซอร์

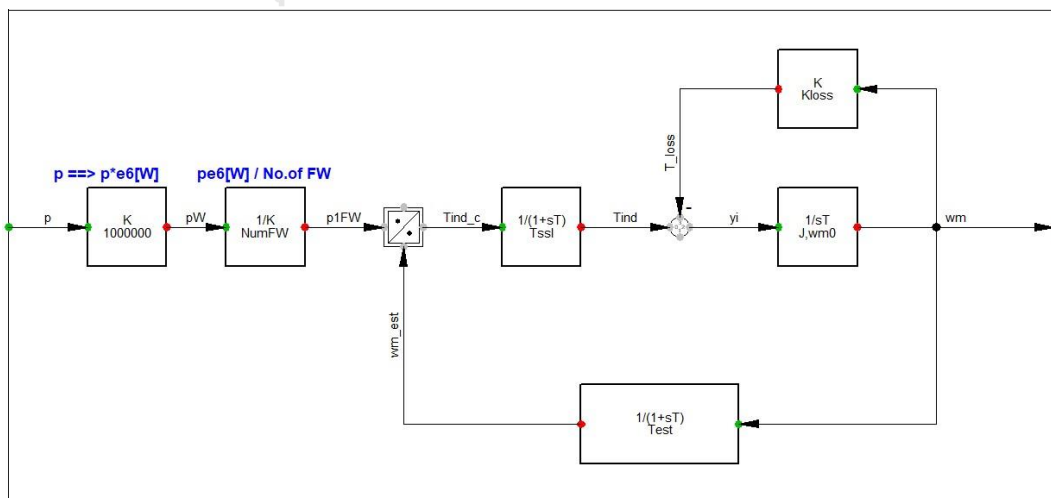
- | | | | |
|-----|------------------|-----|--|
| โดย | P_{conv}^* | คือ | กำลังไฟฟ้าคำสั่งของระบบล้อตุ้มนกกำลัง (W) |
| | T_{ind}^* | คือ | แรงบิดเหนี่ยวนำ (Nm) โดยประมาณ ที่เกิดจากมอเตอร์ขับเคลื่อนในระบบล้อตุ้มนกกำลัง |
| | K_{loss} | คือ | สัมประสิทธิ์แรงบิดสูญเสียทางกล ในที่นี้กำหนดให้มีความสัมพันธ์ในลักษณะเชิงเส้นกับค่าความเร็วเชิงมุม ดังนี้ $T_{loss} = K_{loss} \cdot \omega_m$ |
| | $\hat{\omega}_m$ | คือ | ความเร็วเชิงมุมโดยประมาณของล้อตุ้มนกกำลัง (rad/s) |

ดังนั้นจะได้แบบจำลองของระบบล้อยุนกำลังที่ใช้ในงานวิจัยนี้ แสดงในรูปที่ 4.16 กำหนดให้ค่ากำลังไฟฟ้าของระบบล้อยุนกำลังเป็นสัญญาณขาเข้า และมีแบบจำลองระบบล้อยุนกำลังซึ่งมีการควบคุมเวกเตอร์แบบไร้เซนเซอร์ (Sensorless Vector Control) สร้างความเร็วเชิงมุมในการหมุนของโรเตอร์ (ω_m) เป็นสัญญาณขาออก โดยตัวแปร NumFW หมายถึงจำนวนล้อยุนกำลังที่ใช้ในการจำลอง



รูปที่ 4.16 แบบจำลองระบบล้อยุนกำลัง

และแบบจำลองระบบล้อยุนกำลังที่ใช้ในโปรแกรม DigSILENT แสดงในรูปที่ 4.17



รูปที่ 4.17 แบบจำลองของระบบล้อยุนกำลังที่ใช้ในโปรแกรม DigSILENT

คุณลักษณะจำเพาะของระบบล้อตุ่นกำลังที่ใช้ในวิทยานิพนธ์นี้ อ้างอิงจากเอกสารทางเทคนิคของบริษัท SANKEN ดังแสดงในตารางที่ 4.3 นำไปสู่การกำหนดค่าพารามิเตอร์ของระบบล้อตุ่นกำลังที่ใช้ในวิทยานิพนธ์นี้ แสดงในตารางที่ 4.4

ตารางที่ 4.3 คุณลักษณะจำเพาะของระบบกักเก็บพลังงานชนิดล้อตุ่นกำลัง

พารามิเตอร์	ข้อมูลจำเพาะ
Rated Energy	7.2 MJ หรือ 2 kWh
Rated speed	7,500 rpm
Motor	Induction motor/generator, (output power 15kW/30kW/90kW)
Flywheel dimension	Ø694 x t156
Weight	386 kg

ตารางที่ 4.4 พารามิเตอร์ที่ใช้ในการจำลองของระบบกักเก็บพลังงานชนิดล้อตุ่นกำลัง

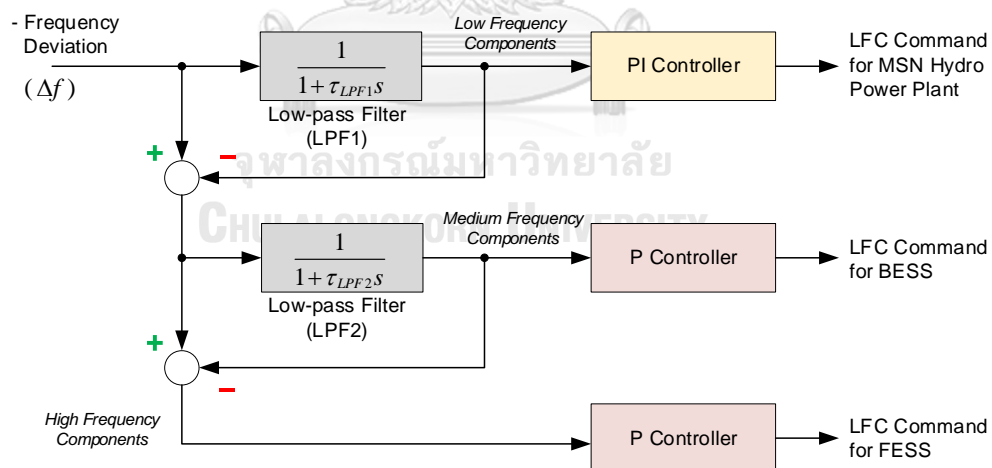
พารามิเตอร์	ค่าที่ใช้ในการจำลอง
Flywheel inertia (J) [kg.m ²]	23.344
Vector control time constant (τ_1) [s]	0.01
Speed estimator time constant (τ_2) [s]	0.001
Speed estimator time constant (τ_2) [s] *ideal	0
Coefficient of loss torque (K_{loss}) *ideal	0
Number of flywheel (NumFW)	ขึ้นอยู่กับขนาดติดตั้งที่ต้องการ

ในที่นี้กำหนดส่วนการประมาณความเร็วเชิงมุม (Speed estimator) และแรงบิดสูญเสียทางกลให้เป็นในทางอุดมคติ* ดังนั้นส่วนการประมาณความเร็วเชิงมุมจึงมีค่าเท่ากับ 1 ทำให้พารามิเตอร์ τ_2 มีค่าเป็น 0 และส่วนสัมประสิทธิ์แรงบิดสูญเสียทางกล (K_{loss}) มีค่าเป็น 0 เช่นกัน นั่นคือไม่เกิดแรงบิดสูญเสียทางกล

4.6 แบบจำลองระบบควบคุมความถี่โหลดที่ศึกษาในงานวิทยานิพนธ์

ความผันผวนของโหลดในระบบไฟฟ้าส่งผลกระทบต่อเกิดปัญหาด้านความถี่ของระบบไฟฟ้าที่อาจเกินหรือต่ำกว่ามาตรฐานที่กำหนด จึงต้องการการควบคุมความถี่ระบบไฟฟ้า หรือการควบคุมความถี่โหลด (Load frequency control; LFC) เพื่อให้ค่าเบี่ยงเบนความถี่ไฟฟ้าอยู่ในเกณฑ์ที่ กพท. กำหนด คือ 50 ± 0.5 เฮิร์ตซ์ สำหรับการควบคุมความถี่โหลดในวิทยานิพนธ์นี้ กำหนดให้มีการทำงาน

ร่วมกันของโรงไฟฟ้าพลังงานน้ำขนาดเล็กแม่สะงา ระบบกักเก็บพลังงานชนิดแบตเตอรี่ และระบบกักเก็บพลังงานชนิดล้อยุนกำลัง ผังการควบคุมแสดงในรูปที่ 4.18 โดยรับค่าเบี่ยงเบนความถี่ไฟฟ้าเป็นสัญญาณนำเข้า และแบ่งย่านความถี่ออกเป็น 3 ระดับด้วยวงจรกรองความถี่ต่ำผ่านอันดับหนึ่ง ได้แก่ ความผันผวนเร็ว ปานกลาง และช้า ซึ่งถูกรองรับด้วยระบบล้อยุนกำลัง ระบบแบตเตอรี่ และโรงไฟฟ้าพลังงานน้ำแม่สะงา ตามลำดับ โรงไฟฟ้าพลังงานน้ำแม่สะงาจะถูกกำหนดให้รับผิดชอบความผันผวนที่ช้ากว่าค่าเวลาตอบสนองของโรงไฟฟ้า ดังนั้นส่วนความผันผวนที่เร็วกว่าค่าเวลาตอบสนองของโรงไฟฟ้าแม่สะงาจะรับผิดชอบโดยระบบล้อยุนกำลังและระบบแบตเตอรี่ สัญญาณความเบี่ยงเบนความถี่ที่ถูกแบ่งย่านความถี่ดังกล่าว จะถูกส่งผ่านไปยังตัวควบคุมแบบสัดส่วนและอินทิกรัล เพื่อสร้างสัญญาณคำสั่งการควบคุมความถี่ไหลด (LFC command) ให้แต่ละแหล่งผลิตไฟฟ้า ทั้งนี้ระบบล้อยุนกำลังและระบบแบตเตอรี่จะใช้ตัวควบคุมแบบสัดส่วนเท่านั้น เพื่อหลีกเลี่ยงไม่ให้ระบบตอบสนองต่อสัญญาณความผันผวนในย่านความถี่ต่ำ และเพื่อเป็นการลดขนาดที่จำเป็นของระบบกักเก็บพลังงานทั้งสองชนิดอีกด้วย เนื่องจากว่า หากใช้ตัวควบคุมแบบอินทิกรัล ระบบควบคุมจะมีอัตราขยายสูงมากที่ย่านความถี่ต่ำ ส่งผลให้ระบบล้อยุนกำลังและแบตเตอรี่ต้องจ่ายหรือรับกำลังงานไฟฟ้าและพลังงานไฟฟ้าที่มีปริมาณสูงในสถานะอยู่ตัวแม้ว่าสัญญาณความเบี่ยงเบนความถี่ในย่านนี้ที่ถูกกรองมาแล้วจะมีค่าน้อยมากก็ตาม ซึ่งเป็นสิ่งที่ไม่พึงปรารถนา

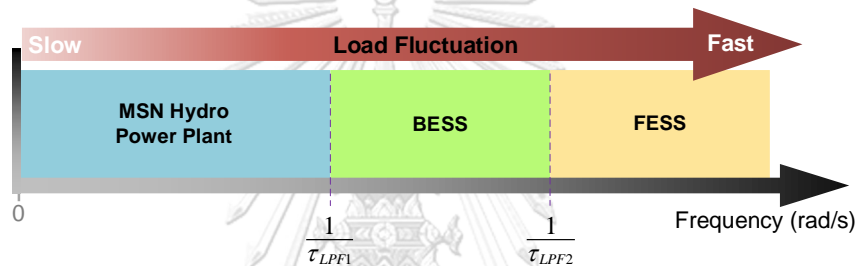


รูปที่ 4.18 ระบบควบคุมความถี่ไหลดด้วยโรงไฟฟ้าพลังงานน้ำขนาดเล็กแม่สะงา ระบบกักเก็บพลังงานชนิดแบตเตอรี่ และระบบกักเก็บพลังงานชนิดล้อยุนกำลัง

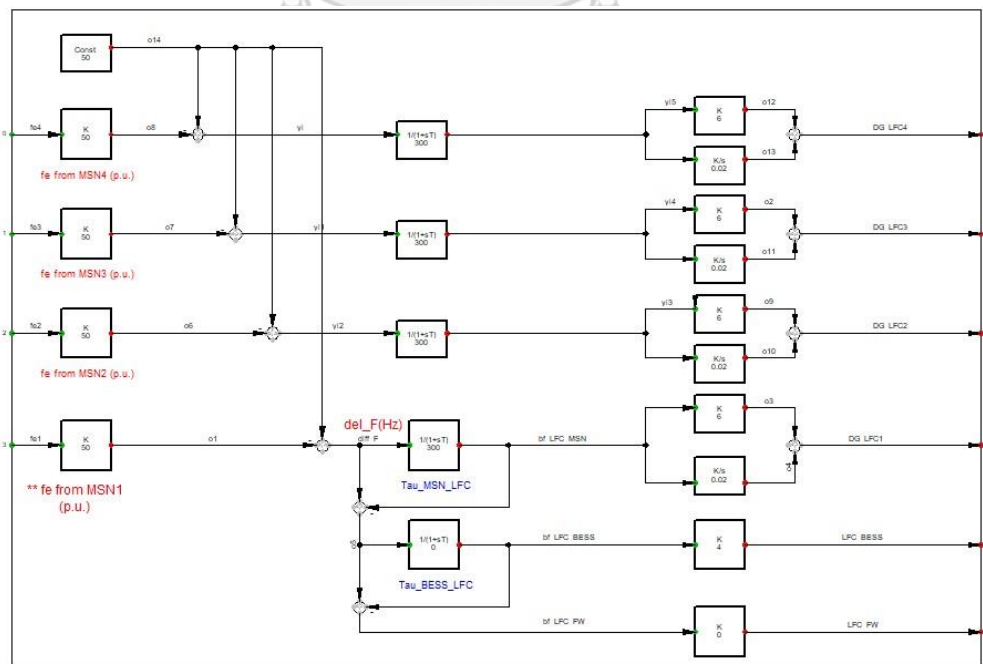
สัญญาณคำสั่งการควบคุมความถี่ไหลด (LFC command) ของระบบล้อยุนกำลังและระบบแบตเตอรี่เป็นสัญญาณที่กำหนดค่ากำลังไฟฟ้าที่ระบบล้อยุนกำลังหรือแบตเตอรี่จะจ่ายเข้าสู่ระบบในกรณีความถี่ต่ำกว่าค่ามาตรฐาน หรือรับจากระบบในกรณีความถี่สูงกว่าค่ามาตรฐานโดยตรง แต่

สัญญาณคำสั่งการควบคุมความถี่โหลตของโรงไฟฟ้าพลังน้ำแม่สะงานั้น จะถูกนำไปรวมกับค่าคำสั่งกำลังไฟฟ้าจากวงรอบควบคุมความถี่ปฐมภูมิ (Primary response control) ซึ่งกำหนดจากสัมพันธ์ระหว่างค่ากำลังไฟฟ้ากับความถี่ของระบบไฟฟ้า ที่เรียกว่าการควบคุมแบบดรอป (Droop control) จึงจะเป็นค่ากำลังไฟฟ้าทั้งหมดที่โรงไฟฟ้าพลังน้ำแม่สะงานี้จะต้องจ่ายเข้าสู่ระบบ

ภาพรวมของการแบ่งย่านการทำงานของการควบคุมความถี่โหลตที่อาศัยหลักการแบ่งแยกองค์ประกอบเชิงความถี่ของค่าเบี่ยงเบนของความถี่ระบบ สามารถแสดงได้ดังแสดงในรูปที่ 4.19 ค่าความถี่หัดมุม (Corner frequency) ซึ่งเป็นส่วนกลับของค่าคงที่เวลาของวงจรรองความถี่จะเป็นจุดแบ่งแยกองค์ประกอบความผันผวนของค่าเบี่ยงเบนความถี่ เป็น 3 ย่านคือ ย่านที่ความเร็วของความผันผวนมีระดับต่ำ ระดับปานกลาง และระดับสูง ตามลำดับ



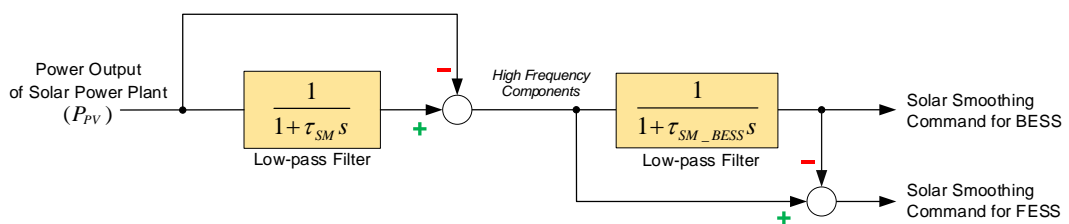
รูปที่ 4.19 การแบ่งย่านการทำงานของระบบกักเก็บพลังงานแต่ละชนิด ในการจัดการความผันผวนของความถี่



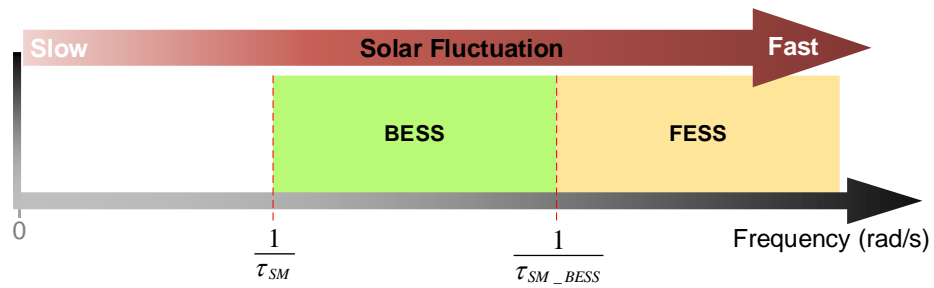
รูปที่ 4.20 ระบบควบคุมความถี่โหลตที่ใช้ในโปรแกรม DigSILENT

4.7 แบบจำลองระบบควบคุมการปรับเรียงกำลังผลิตไฟฟ้าของโรงไฟฟ้าพลังงานแสงอาทิตย์ที่ศึกษาในงานวิทยานิพนธ์

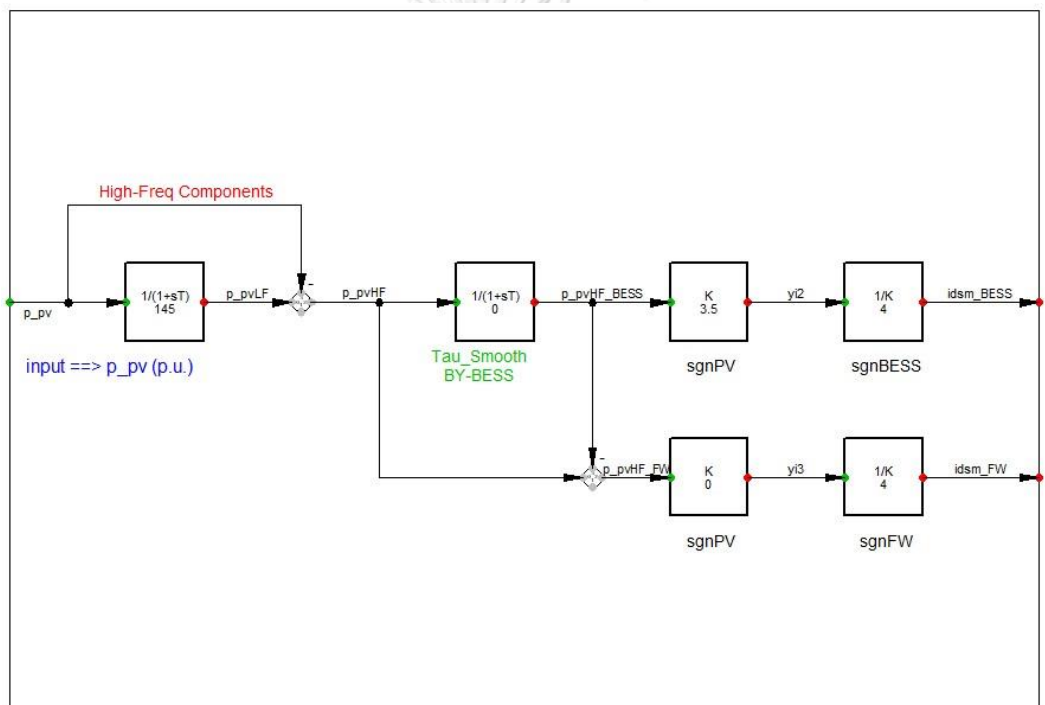
เนื่องด้วยกำลังผลิตไฟฟ้าด้วยพลังงานแสงอาทิตย์มีความผันผวนสูง ส่งผลกระทบต่อเสถียรภาพทางความถี่ระบบไฟฟ้า เพื่อลดผลกระทบดังกล่าวจึงจำเป็นต้องมีการปรับเรียงกำลังผลิตไฟฟ้าของโรงไฟฟ้าพลังงานแสงอาทิตย์ด้วยระบบกักเก็บพลังงาน วิทยานิพนธ์นี้นำเสนอการประสานการทำงานของระบบกักเก็บพลังงานชนิดล้อยูนกำลังและระบบแบตเตอรี่สำหรับเป้าหมายนี้ โดยอาศัยหลักการแยกองค์ประกอบเชิงความถี่คล้ายกับระบบควบคุมความถี่โหลดในหัวข้อที่แล้ว แผนภาพการแยกองค์ประกอบความผันผวนของกำลังผลิตไฟฟ้าสามารถแสดงได้ดังรูปที่ 4.21 กำหนดให้กำลังไฟฟ้าขาออกจากโรงไฟฟ้าพลังงานแสงอาทิตย์เป็นสัญญาณขาเข้า และใช้วงจรกรองความถี่สูงผ่านอันดับหนึ่งเพื่อแยกเอาองค์ประกอบความผันผวนที่เร็วออกจากสัญญาณกำลังไฟฟ้าที่ผันผวนช้าซึ่งเกิดจากการเปลี่ยนแปลงของความเข้มแสงในแต่ละช่วงเวลาของวัน สัญญาณกำลังไฟฟ้าที่เป็นส่วนประกอบความผันผวนสูงหรือความถี่สูงนี้จะถูกชดเชยหรือกำจัดโดยระบบกักเก็บพลังงานชนิดล้อยูนกำลังและแบตเตอรี่ ในขั้นตอนถัดไป จะเป็นการแยกเอาองค์ประกอบที่ความถี่สูงมากออกมาเป็นค่ากำลังไฟฟ้าที่ระบบกักเก็บพลังงานชนิดล้อยูนกำลังต้องชดเชย เพื่อลดภาระและขนาดของแบตเตอรี่ ส่วนองค์ประกอบที่เหลือที่เป็นองค์ประกอบความผันผวนที่ความถี่สูงปานกลางจะถูกชดเชยโดยระบบกักเก็บพลังงานชนิดแบตเตอรี่ การแบ่งย่านความถี่ที่รับผิดชอบที่กล่าวมาทั้งหมดจะกำหนดด้วยค่าคงที่เวลาของวงจรกรองความถี่ดังแสดงในรูปที่ 4.22 อย่างไรก็ตามหากค่าคงที่เวลามากเกินไป จะทำให้ระบบแบตเตอรี่และระบบล้อยูนกำลังมีการทำงานมากขึ้น และยังส่งผลให้ขนาดติดตั้งของแบตเตอรี่และล้อยูนกำลังมีขนาดใหญ่ตามไปด้วย



รูปที่ 4.21 แผนภาพแสดงการแยกองค์ประกอบความผันผวนเพื่อการปรับเรียงกำลังผลิตไฟฟ้าของโรงไฟฟ้าพลังงานแสงอาทิตย์ ด้วยระบบแบตเตอรี่และระบบล้อยูนกำลัง

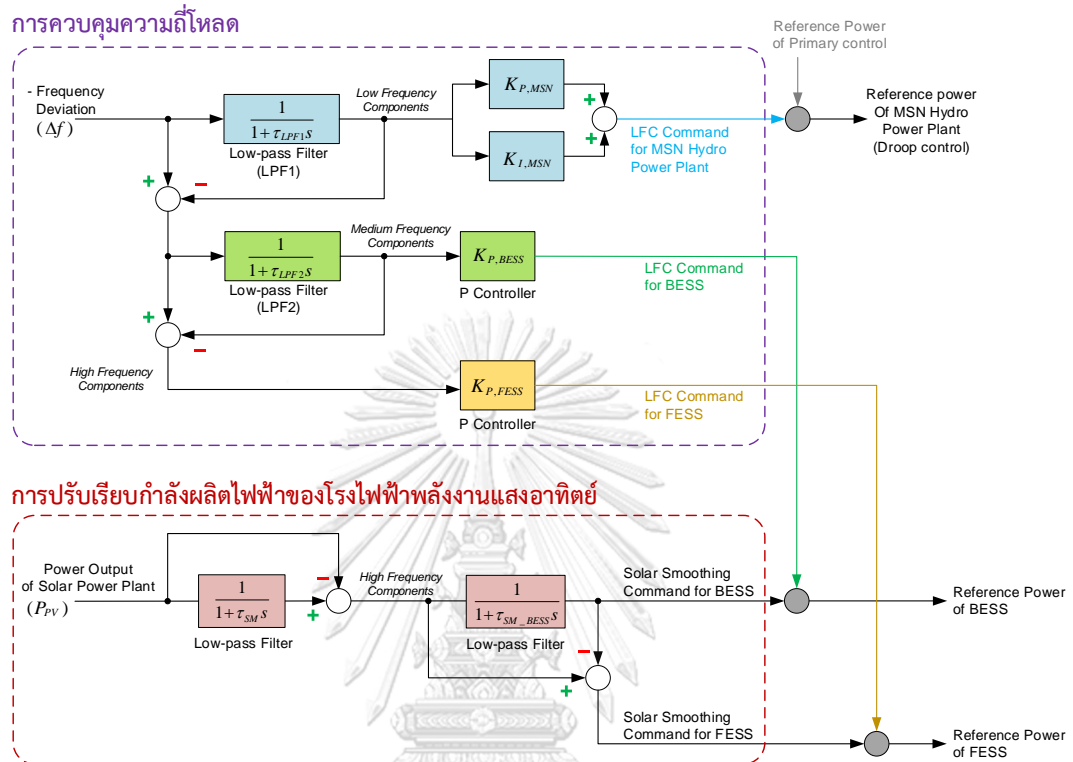


รูปที่ 4.22 การแบ่งย่านการทำงานในการปรับเรียบกำลังไฟฟ้าจากพลังงานแสงอาทิตย์ของระบบกักเก็บพลังงานแต่ละชนิด



รูปที่ 4.23 ระบบควบคุมการปรับเรียบกำลังผลิตไฟฟ้าจากพลังงานแสงอาทิตย์ที่ใช้ในโปรแกรม DIGSILENT

ดังนั้น เราสามารถสรุปแผนผังรวมของระบบควบคุมการทำงานของระบบกักเก็บพลังงานแต่ละชนิดสำหรับงานวิทยานิพนธ์นี้ได้ตามแผนภาพด้านล่าง



รูปที่ 4.24 การประสานการทำงานของระบบกักเก็บพลังงานแต่ละชนิด

สำหรับการควบคุมความถี่โวลต์ และการปรับเรียบกำลังผลิตไฟฟ้าของโรงไฟฟ้าพลังงานแสงอาทิตย์

จุฬาลงกรณ์มหาวิทยาลัย

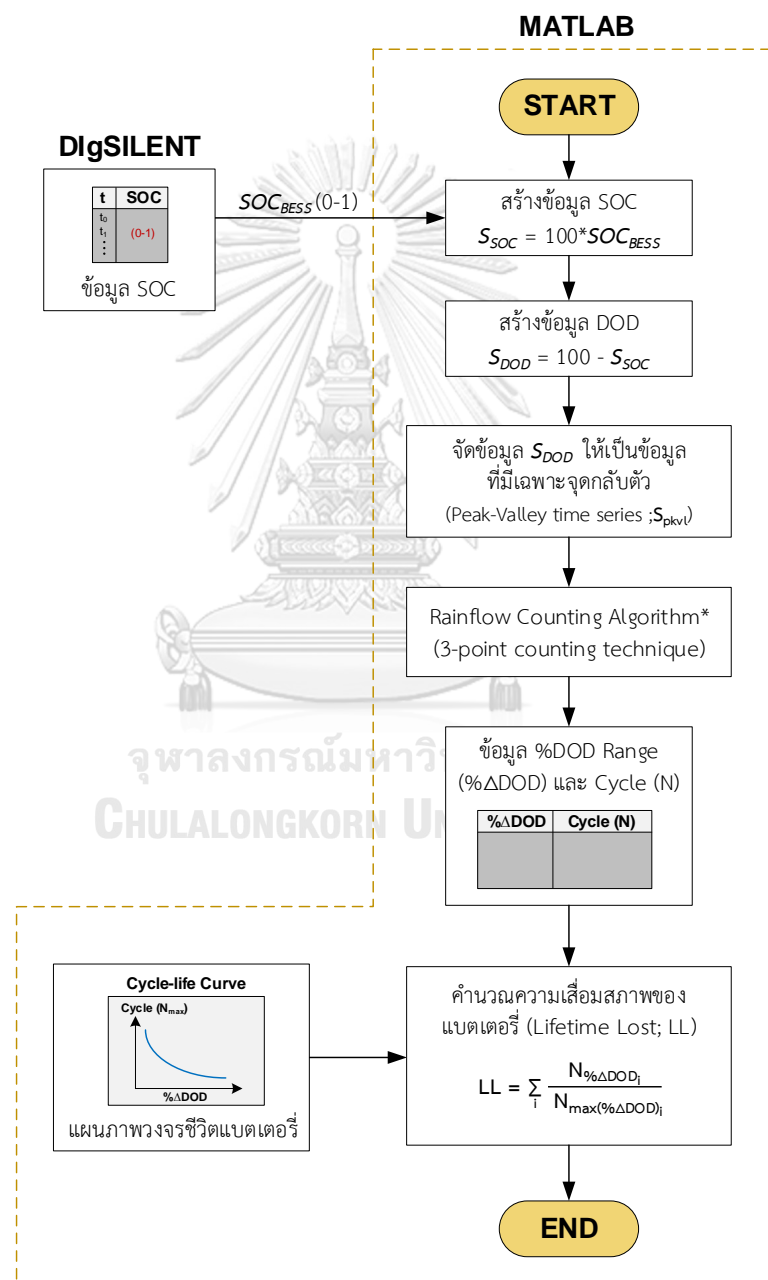
Chulalongkorn University

4.8 การวิเคราะห์ความเสื่อมสภาพการใช้งานระบบแบตเตอรี่

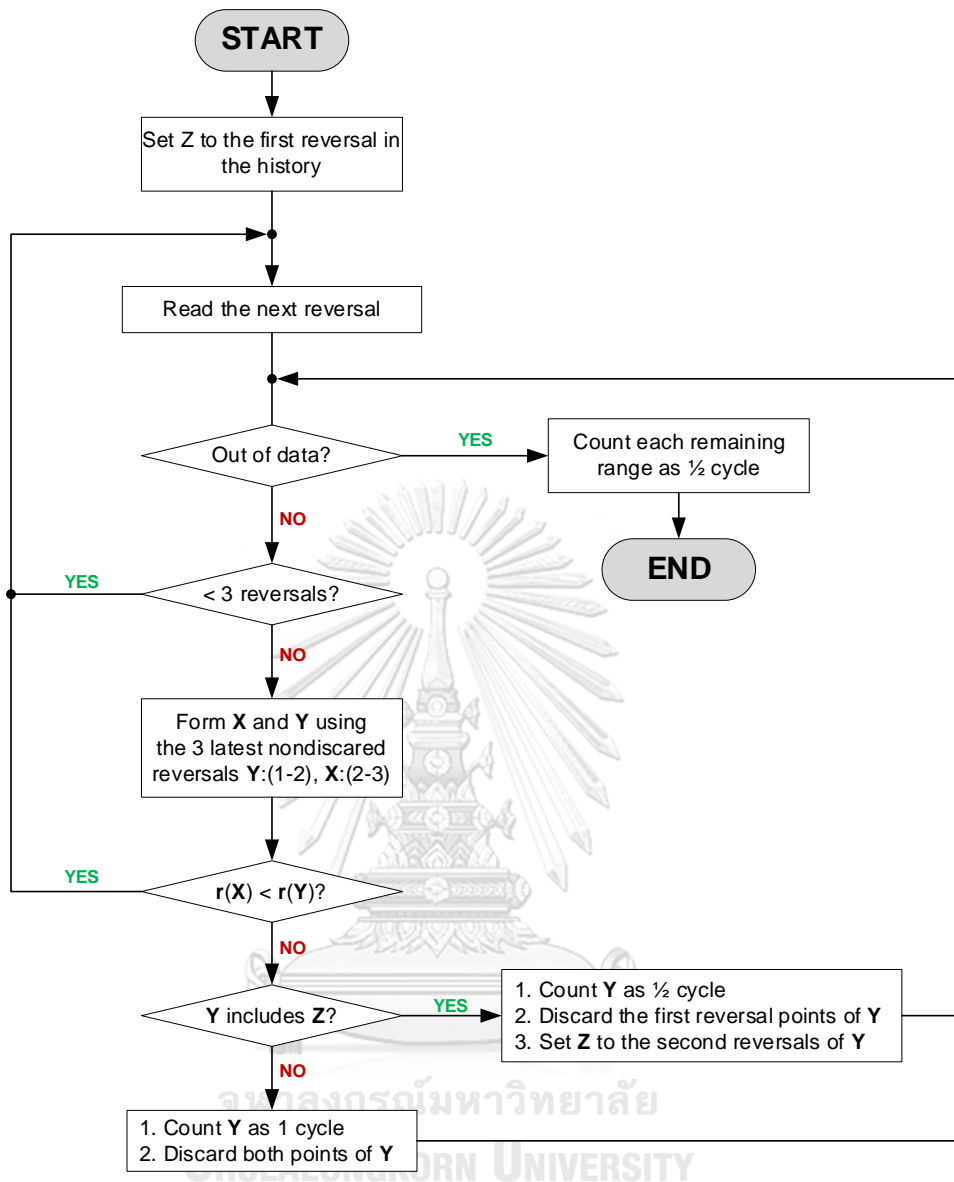
ในงานวิจัยนี้จะมีการวิเคราะห์ความเสื่อมสภาพการใช้งานแบตเตอรี่ 2 วิธี ได้แก่ การประมาณรอบการใช้งานของแบตเตอรี่ด้วยวิธี Equivalent Full Cycles (EFCs) (อธิบายในหัวข้อที่ 2.4) และการใช้เทคนิค Rainflow cycle counting โดยนำข้อมูลสถานะการประจุ (SOC) ของแบตเตอรี่ที่ได้จากแบบจำลองของแบตเตอรี่ในหัวข้อที่ 4.4 มาเป็นข้อมูลตั้งต้นในการเข้าสู่ขั้นตอนการนับด้วยเทคนิค Rainflow cycle counting ซึ่งในวิทยานิพนธ์นี้ทำการวิเคราะห์ด้วยโปรแกรม MATLAB มีขั้นตอนการดำเนินงาน ดังแสดงในรูปที่ 4.25

สำหรับผังการทำงานของ Rainflow counting algorithm ซึ่งเป็นขั้นตอนสำคัญในการวิเคราะห์ความเสื่อมสภาพของแบตเตอรี่ จะใช้เทคนิคการนับรอบแบบ 3 จุด (3-point cycle counting) ที่ได้อธิบายในเบื้องต้นในหัวข้อที่ 2.4 แล้ว แต่สำหรับข้อมูลที่มีความไม่แน่นอนอย่าง

ข้อมูล DOD มีเงื่อนไขเพิ่มเติมในการนับรอบ กล่าวคือมีการพิจารณา $\frac{1}{2}$ รอบการทำงาน นอกเหนือจากการนับ 1 รอบการทำงาน ดังแสดงการทำงานของ Rainflow counting algorithm ในรูปที่ 4.26 และจากการที่กำหนดให้การพิจารณารอบการทำงานครั้งละ 3 จุด (P_1, P_2 และ P_3) โดย $X = |P_3 - P_2|$ และ $Y = |P_2 - P_1|$ ค่าสัมบูรณ์ของ X และ Y นี้ จะถูกเรียกเป็นค่าการเปลี่ยนแปลง ความถี่การคายประจุ (DOD range หรือ ΔDOD) เพื่อนับรอบการทำงานที่เกิดขึ้นในแต่ละ ΔDOD



รูปที่ 4.25 ขั้นตอนการวิเคราะห์ความเสื่อมสภาพของแบตเตอรี่

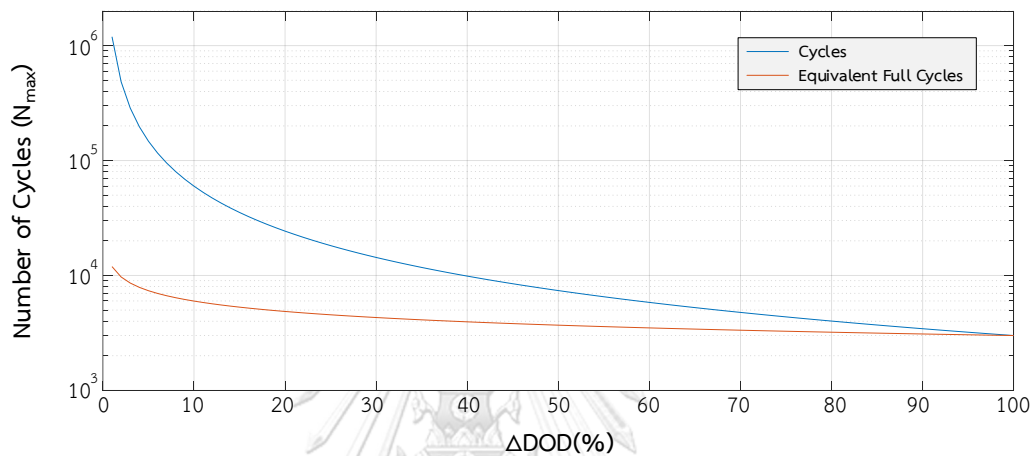


รูปที่ 4.26 Rainflow counting algorithm [17]

สมการสำหรับการคำนวณความเสื่อมสภาพการใช้งานของแบตเตอรี่หรือการสูญเสียอายุการใช้งานของแบตเตอรี่ (Lifetime Lost; LL) แสดงในสมการที่ (4.3) ผลรวมของการนำจำนวนรอบการทำงานที่เกิดขึ้นหารด้วยจำนวนรอบสูงสุดในแต่ละ ΔDOD ซึ่งจำนวนรอบสูงสุดของแบตเตอรี่มาจากแผนภาพวงจรชีวิตของแบตเตอรี่ (Cycle-life curve) มักได้รับมาจากบริษัทผู้ผลิต

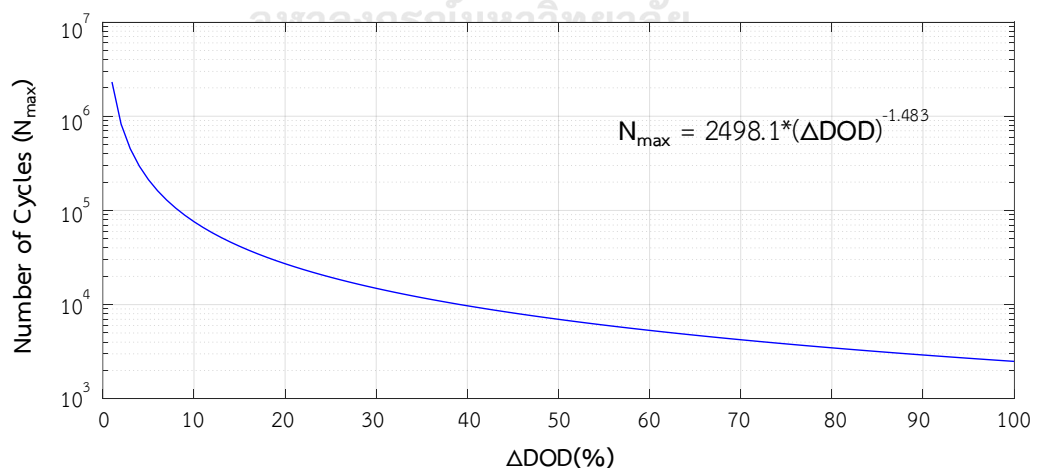
$$Lifetime\ Lost\ (LL) = \sum_i \frac{N_{\% \Delta DOD_i}}{N_{\max \% \Delta DOD_i}} \quad (4.3)$$

ในส่วนของแผนภาพวงจรชีวิตของแบตเตอรี่ (Cycle-life curve) โดยทั่วไปจะถูกกำหนดโดยใช้แผนภาพ Woehler ซึ่งแสดงความสัมพันธ์ระหว่างจำนวนรอบสูงสุด (N_{max}) ในการทำงานของแบตเตอรี่ไปจนถึงอายุขัยตามแต่ละค่าการเปลี่ยนแปลงความลึกของการคายประจุ (ΔDOD) และแสดงจำนวนรอบสูงสุดโดยประมาณของแบตเตอรี่ที่เรียกว่า Equivalent Full Cycles ทั้งนี้เส้นโค้งทั้ง 2 ที่อยู่ในแผนภาพ Woehler จะถูกนำไปใช้เพื่อประเมินอายุการใช้งานของแบตเตอรี่ต่อไป



รูปที่ 4.27 แผนภาพวงจรชีวิตของแบตเตอรี่ (Cycle-life curve) ที่ใช้ในงานวิทยานิพนธ์นี้

สำหรับแผนภาพวงจรชีวิตของแบตเตอรี่ที่ใช้ในงานวิจัยนี้ อ้างอิงจาก [18] มีจำนวนรอบสูงสุดประมาณ 3,500 รอบ ที่ร้อยละ 80 ของความลึกการคายประจุ ดังแสดงในรูปที่ 4.28



รูปที่ 4.28 แผนภาพวงจรชีวิตของแบตเตอรี่ (Cycle-life curve) ที่ใช้ในงานวิทยานิพนธ์นี้

บทที่ 5

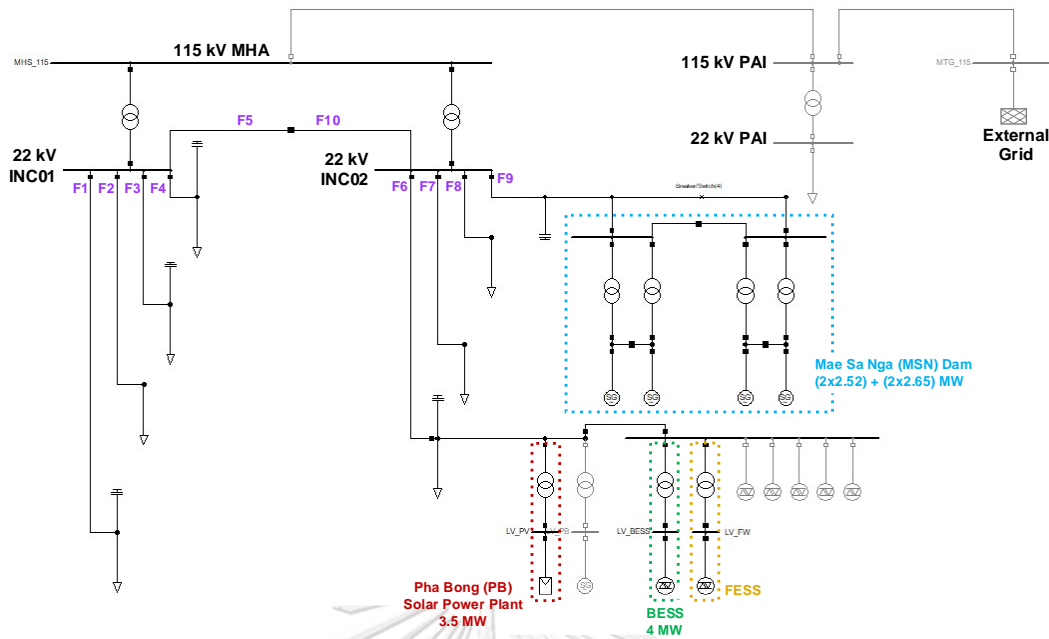
ผลการจำลองการทำงานของระบบไฟฟ้าของอำเภอเมืองแม่ฮ่องสอนที่ติดตั้งระบบกักเก็บพลังงานชนิดล้อยูนก้ำล้ง

บทนี้จะเป็นการทดสอบเพื่อยืนยันถึงความเป็นไปได้ในการประยุกต์ใช้ระบบล้อยูนก้ำล้งร่วมกับแหล่งผลิตไฟฟ้าชนิดอื่นภายในพื้นที่ของระบบไฟฟ้าขนาดเล็กอำเภอเมืองแม่ฮ่องสอนในสภาวะแยกโดด สำหรับการควบคุมความถี่ระบบไฟฟ้าให้เป็นไปตามมาตรฐานของ กพท. และการปรับเรียบก้ำล้งผลิตไฟฟ้าของโรงไฟฟ้าพลังงานแสงอาทิตย์ เพื่อลดความผันผวนที่เกิดขึ้นจากโหลดและการผลิตก้ำล้งไฟฟ้าจากพลังงานแสงอาทิตย์ เนื่องจากการออกแบบให้เฉพาะระบบแบตเตอรี่รับผิดชอบระบบควบคุมดังกล่าวที่ย่านความถี่สูง ทำให้แบตเตอรี่ต้องรองรับความผันผวนเร็วที่เกิดจากการเปลี่ยนแปลงโหลดและก้ำล้งผลิตไฟฟ้าจากพลังงานแสงอาทิตย์ ส่งผลเสียให้แบตเตอรี่มีการอัดประจุและคายประจุอยู่บ่อยครั้ง และเกี่ยวเนื่องไปถึงการลดอายุการใช้งานของแบตเตอรี่ จึงกำหนดกรณีศึกษาออกเป็น 3 กรณี ดังแสดงรายละเอียดในตารางที่ 5.1 เพื่อวิเคราะห์การทำงานของระบบแบตเตอรี่ที่เปลี่ยนแปลงไป เมื่อมีการใช้งานระบบล้อยูนก้ำล้งเพิ่มในระบบ รวมถึงวิเคราะห์การทำงานและขนาดติดตั้งของระบบล้อยูนก้ำล้ง

ตารางที่ 5.1 การทำงานของโรงไฟฟ้าพลังงานน้ำและระบบกักเก็บพลังงานชนิดล้อยูนก้ำล้ง และแบตเตอรี่ในแต่ละกรณีศึกษา

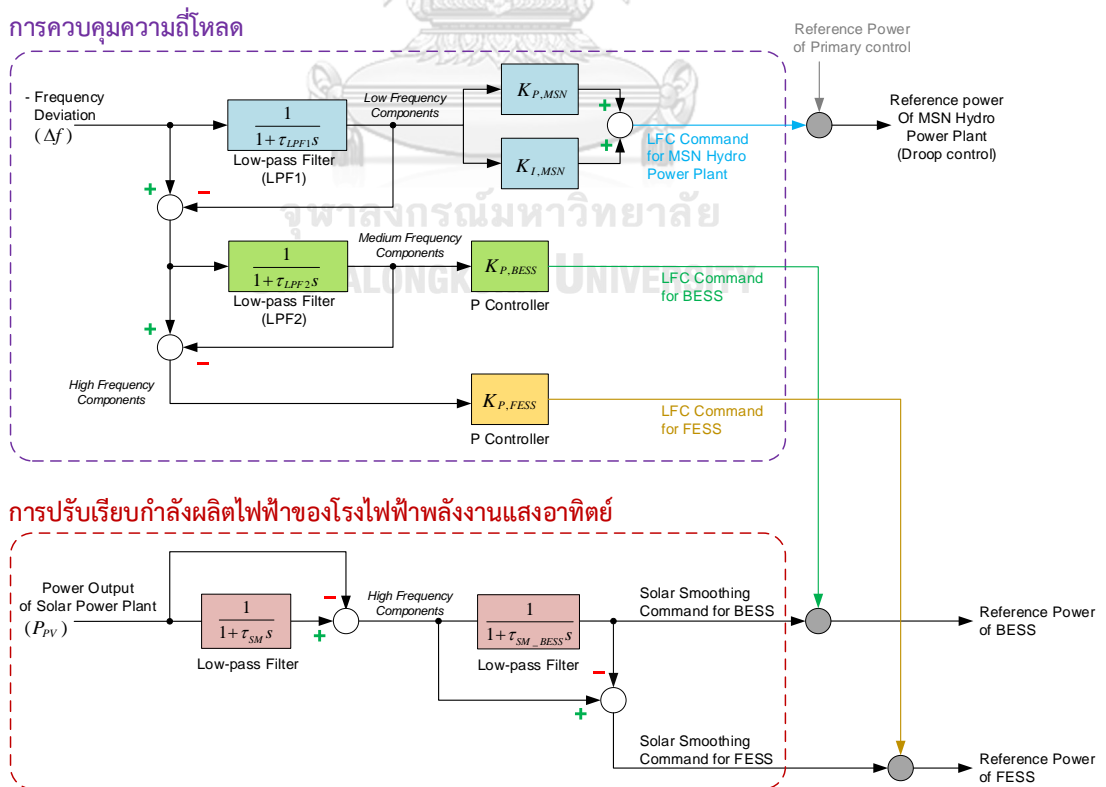
กรณีศึกษา	การควบคุมความถี่โหลด (LFC)			การปรับเรียบก้ำล้งไฟฟ้า (Solar Smoothing)	
	โรงไฟฟ้าพลังงานน้ำแม่สะงา	แบตเตอรี่	ล้อยูนก้ำล้ง	แบตเตอรี่	ล้อยูนก้ำล้ง
1	●	●	-	●	-
2	●	●	●	●	-
3	●	●	●	●	●

แบบจำลองระบบไฟฟ้าขนาดเล็กอำเภอเมืองแม่ฮ่องสอนในสภาวะแยกโดด มีแหล่งผลิตไฟฟ้า ดังแสดงในรูปที่ 5.1 ในที่นี้จะจำลองระบบแบตเตอรี่ และระบบล้อยูนก้ำล้งเป็น Static Generator เพื่อศึกษาผลการทำงานในการจ่ายหรือรับก้ำล้งไฟฟ้าของระบบกักเก็บพลังงานทั้งสองชนิด



รูปที่ 5.1 แบบจำลองระบบไฟฟ้าขนาดเล็กของอำเภอเมืองแม่ฮ่องสอนในสภาวะแยกโดด

การตั้งค่าตัวแปรและตำแหน่งของตัวแปรที่ใช้ในระบบควบคุมความถี่โหดและการปรับเรียงกำลังผลิตไฟฟ้าของโรงไฟฟ้าพลังงานแสงอาทิตย์แสดงในรูปที่ 5.2 และตารางที่ 5.2



รูปที่ 5.2 ตำแหน่งตัวแปรที่ใช้ในระบบควบคุมที่ศึกษา

ตารางที่ 5.2 ค่าตัวแปรที่ใช้ในการจำลองการทำงานของระบบ

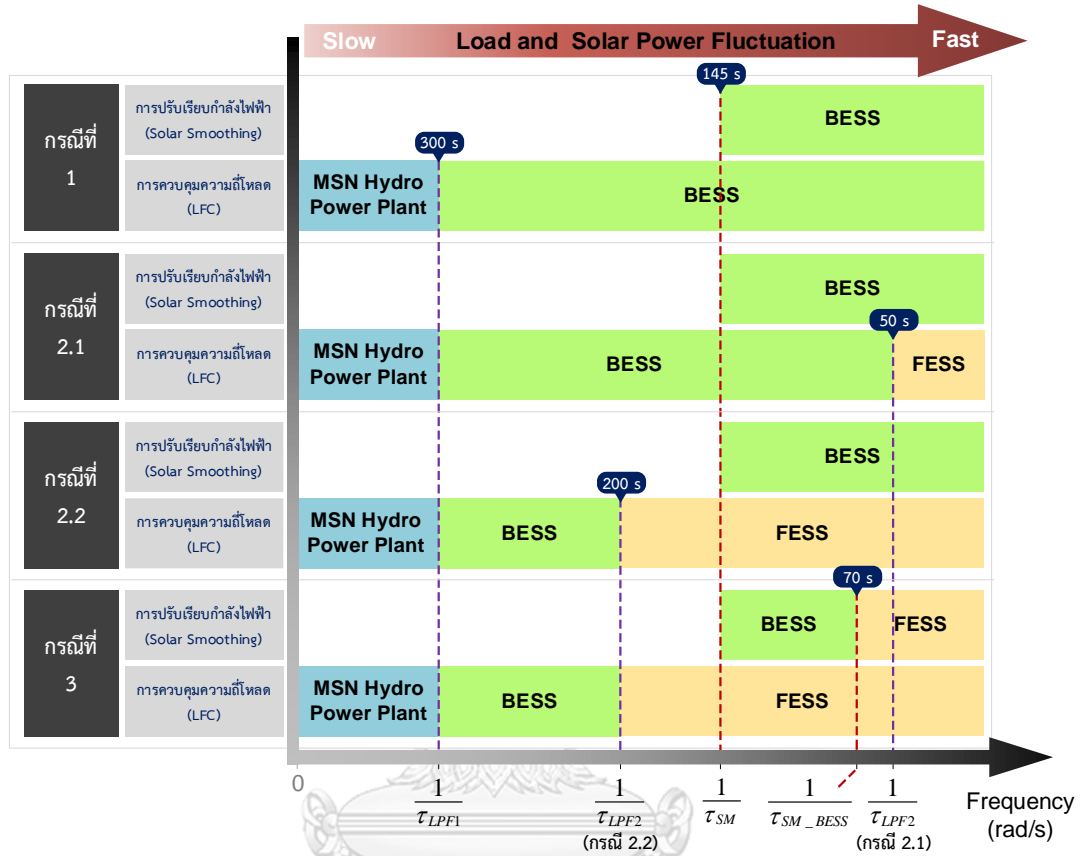
กรณีศึกษา	การควบคุมความถี่โพลต์ (LFC)						การปรับเรียบกำลังผลิตไฟฟ้า (Solar Smoothing)		
	โรงไฟฟ้าพลังงานน้ำแม่สะงา			แบตเตอรี่		ล้อยูนกำลัง	τ_{SM} (s)	τ_{SM_BESS} (s)	
	τ_{LFF1} (s)	$K_{P,MSN}$	$K_{I,MSN}$	τ_{LFF2} (s)	$K_{P,BESS}$	$K_{P,FESS}$			
1	300	6	0.02	-	4	-	145	-	
2	2.1	300	6	0.02	50	4	4	145	-
	2.2	300	6	0.02	200	4	4	145	-
3	300	6	0.02	200	4	4	145	70	

หมายเหตุ ค่าตัวแปรในการควบคุมความถี่โพลต์และการปรับเรียบกำลังผลิตไฟฟ้าของโรงไฟฟ้าพลังงานแสงอาทิตย์ รวมถึงตัวควบคุมแบบสัดส่วนและอินทิกรัล ของโรงไฟฟ้าพลังงานน้ำแม่สะงา และระบบแบตเตอรี่ อ้างอิงจาก [2] กำหนดให้ค่าคงที่เวลาการควบคุมความถี่โพลต์ของโรงไฟฟ้ามีค่า 10 เท่าของค่าตอบสนองโรงไฟฟ้า ซึ่งค่าเวลาตอบสนองของโรงไฟฟ้าพลังงานน้ำแม่สะงาประมาณ 30 วินาที ดังนั้นค่าคงที่เวลาของโรงไฟฟ้าแม่สะงาจึงเท่ากับ 300 วินาที ในส่วนค่าคงที่เวลาของการปรับเรียบกำลังผลิตไฟฟ้าพิจารณาจากการควบคุมแรงดันกระแสเพื่อให้อยู่ในมาตรฐาน กฟภ. และผลต่อขนาดการใช้งานของแบตเตอรี่ร่วมด้วย โดยมีค่าคงที่เวลาในการปรับเรียบกำลังผลิตไฟฟ้าเท่ากับ 145 วินาที

โรงไฟฟ้าพลังงานน้ำแม่สะงาถูกกำหนดให้รองรับความผันผวนโพลต์ที่ช้ากว่า 300 วินาทีเป็นต้นไป ดังนั้นส่วนความผันผวนโพลต์ที่เร็วกว่า 300 วินาที กำหนดให้รับผิดชอบด้วยระบบแบตเตอรี่และระบบล้อยูนกำลัง โดยให้ระบบล้อยูนกำลังรองรับย่านความผันผวนที่เร็วมาก รองลงมาคือระบบแบตเตอรี่ รูปที่ 5.3 แสดงการทำงานเพื่อรองรับความผันผวนของความถี่ด้วยโรงไฟฟ้าพลังงานน้ำแม่สะงา ระบบแบตเตอรี่ และระบบล้อยูนกำลัง สำหรับการควบคุมความถี่โพลต์และการปรับเรียบกำลังผลิตไฟฟ้าของโรงไฟฟ้าพลังงานแสงอาทิตย์

ทั้งนี้กรณีศึกษาที่ 2 แบ่งออกเป็น 2 กรณีย่อย ด้วยการกำหนดค่าคงที่เวลา τ_{LFF2} ที่แตกต่างกัน เพื่อเปรียบเทียบผลการทำงานของระบบแบตเตอรี่และระบบล้อยูนกำลังในการควบคุมความถี่โพลต์ในแต่ละกรณีเพราะการปรับค่าคงที่เวลามีผลต่อการประสานการทำงานของระบบกักเก็บพลังงานทั้งสองชนิด รวมถึงผลต่อขนาดระบบของล้อยูนกำลังที่ต้องการในระบบด้วย ดังนั้นกรณีย่อย 2.1 จึงกำหนดให้ค่าคงที่เวลา τ_{LFF2} เท่ากับ 50 วินาที เพื่อแบ่งสัดส่วนให้ระบบล้อยูนกำลังรับผิดชอบหนึ่งในหกส่วนจากย่านการทำงานเดิมของแบตเตอรี่ และไม่ต้องทำให้ขนาดติดตั้งของระบบล้อยูนกำลังมีขนาดใหญ่เกินไป (ไม่เกิน 1 MW) สำหรับกรณี 2.2 กำหนดค่าคงที่เวลา τ_{LFF2} เท่ากับ 200 วินาที เพื่อเพิ่มสัดส่วนความรับผิดชอบการควบคุมความถี่โพลต์ของระบบล้อยูนกำลัง รวมถึงการให้

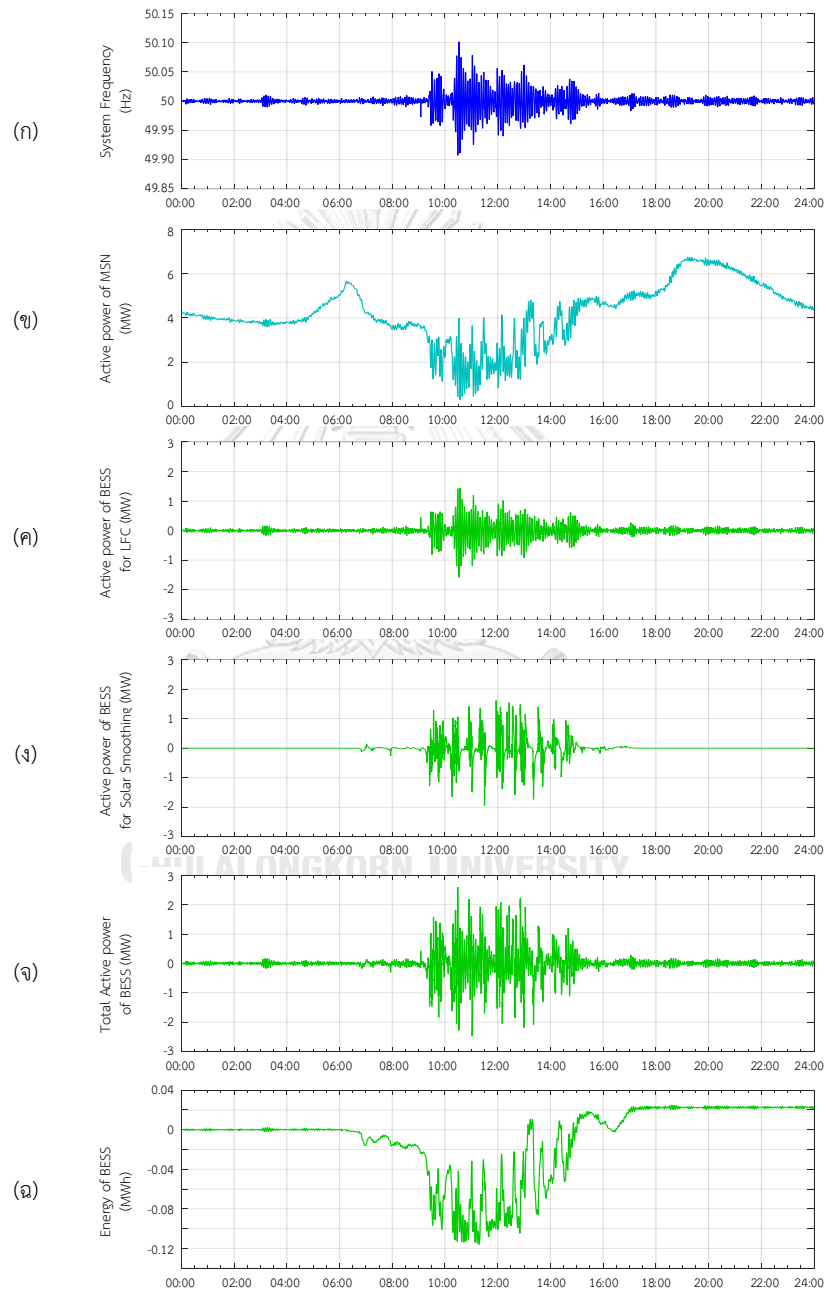
ระบบล้อยูนกำลังช่วยรองรับความผันผวนที่เหลือจากการปรับเรียงกำลังผลิตไฟฟ้าพลังงานแสงอาทิตย์ด้วย



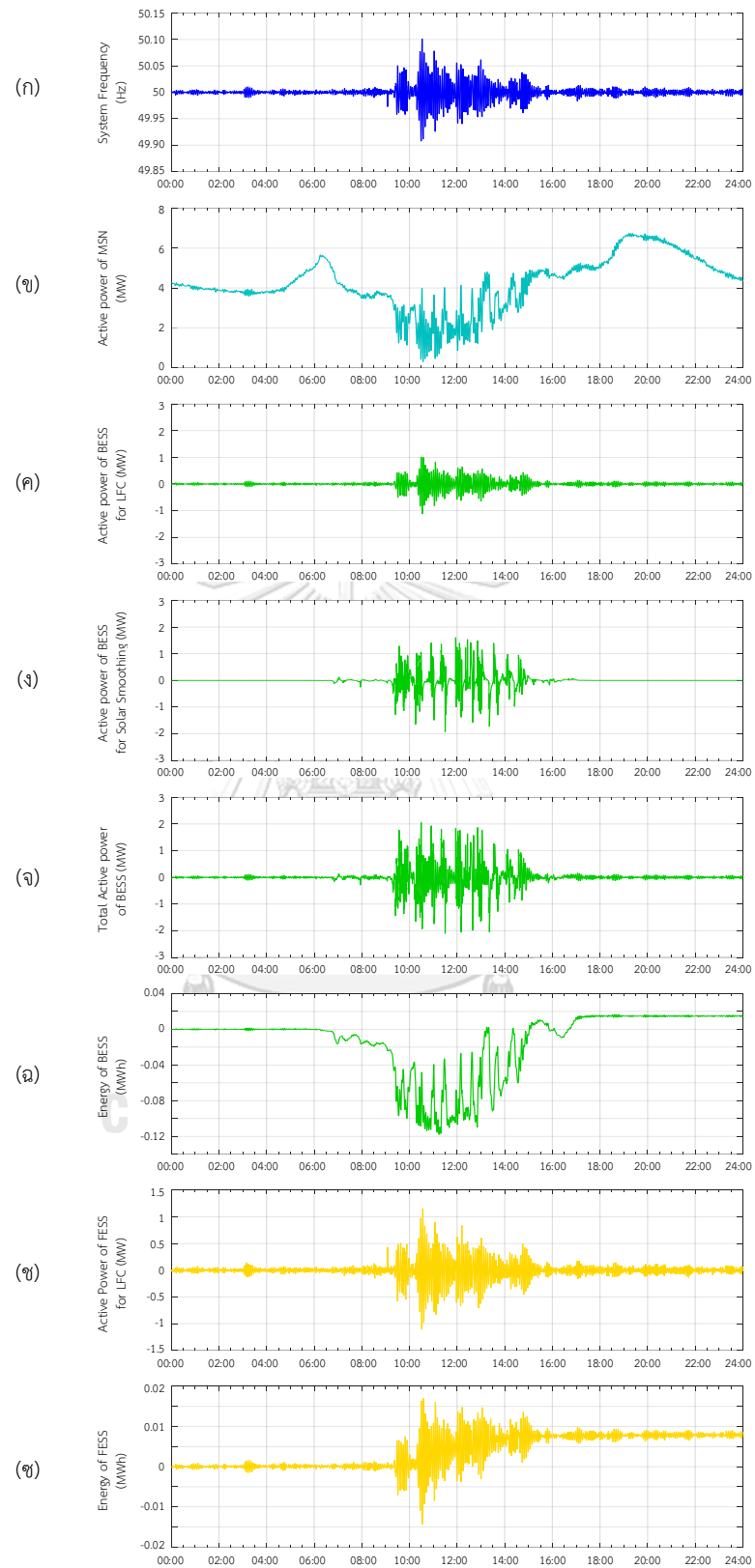
รูปที่ 5.3 ย่านการทำงานของโรงไฟฟ้าพลังงานน้ำแม่สะงา ระบบแบตเตอรี่ และระบบล้อยูนกำลังสำหรับการควบคุมความถี่ไหลและการปรับเรียงกำลังผลิตไฟฟ้าของโรงไฟฟ้าพลังงานแสงอาทิตย์

5.1 ผลการจำลองแต่ละกรณีศึกษา

ในหัวข้อนี้จะแสดงผลการจำลองแต่ละกรณีศึกษา ทั้งนี้ค่ากำลังไฟสำหรับระบบแบตเตอรี่และระบบล้อยุนกำลังแสดงค่าเป็นบวก เมื่ออยู่ในสถานะจ่ายกำลังไฟฟ้าหรือคายประจุ ในทางตรงกันข้ามหากแสดงค่าเป็นลบ หมายความว่า อยู่ในสถานะรับกำลังไฟฟ้าหรืออัดประจุ

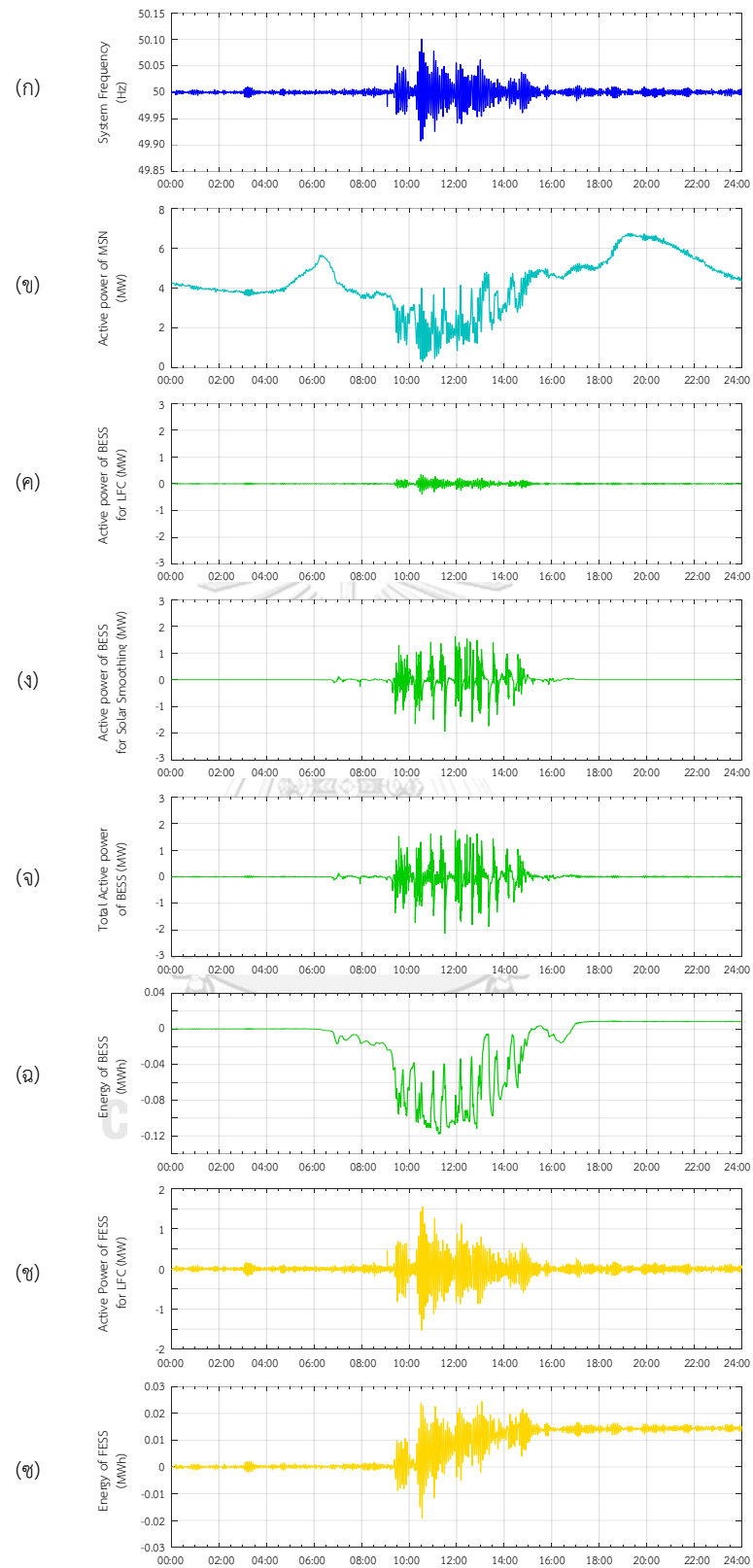


รูปที่ 5.4 ผลการจำลองกรณีศึกษาที่ 1 (ไม่มีระบบล้อยุนกำลังในระบบไฟฟ้า)



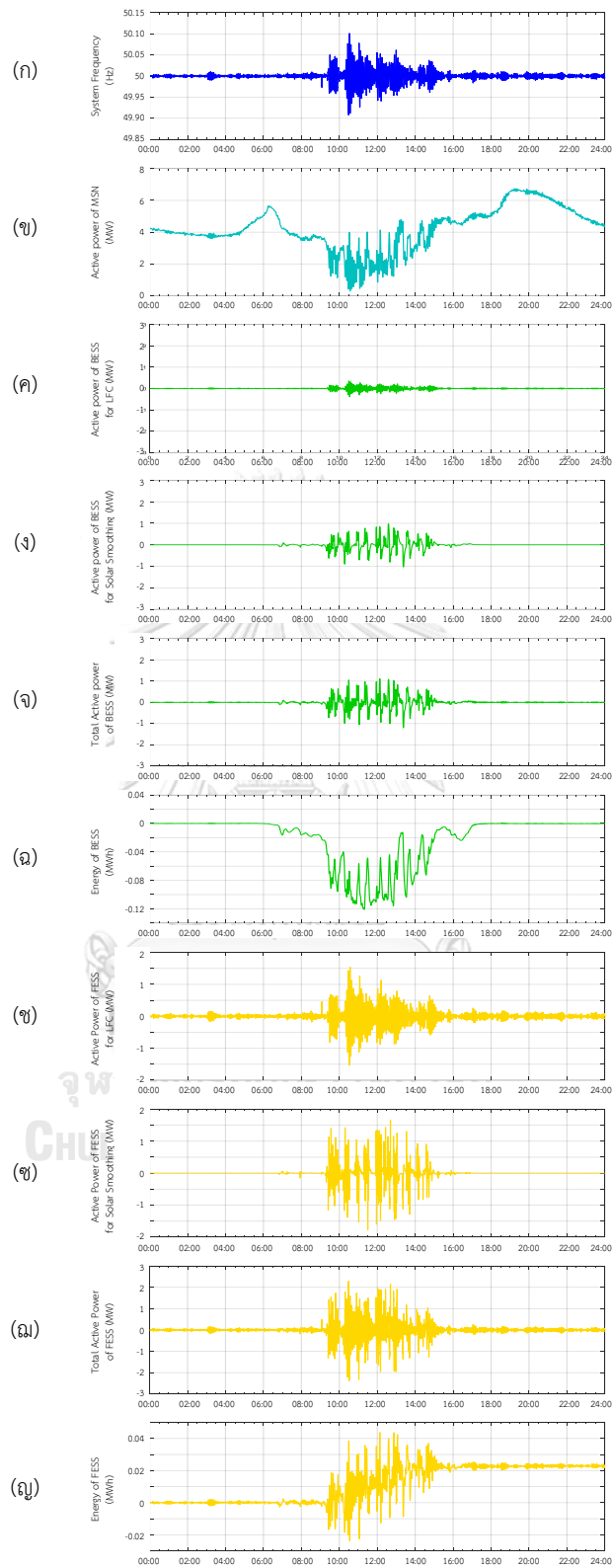
รูปที่ 5.5 ผลการจำลองกรณีศึกษาที่ 2.1

(มีระบบล้อย้อนกำลังในระบบไฟฟ้า สำหรับควบคุมความถี่ ที่ $\tau_{LPF2} = 50$ วินาที)



รูปที่ 5.6 ผลการจำลองกรณีศึกษาที่ 2.2

(มีระบบล้อย้อนกำลังในระบบไฟฟ้า สำหรับควบคุมความถี่ ที่ $\tau_{LPF2} = 200$ วินาที)



รูปที่ 5.7 ผลการจำลองกรณีศึกษาที่ 3 (มีระบบลัดตุนกำลังในระบบไฟฟ้า สำหรับควบคุมความถี่ที่ $\tau_{LPF2} = 200$ วินาที และปรับเรียงกำลังผลิตไฟฟ้า ที่ $\tau_{SM_BESS} = 70$ วินาที)

จากผลการจำลองแต่ละกรณี ดังแสดงในรูปที่ 5.4 - รูปที่ 5.7 โดยภาพรวมมีจุดที่น่าสังเกต ดังนี้

- ลักษณะของความถี่ระบบไฟฟ้าที่เกิดขึ้นทั้ง 3 กรณีมีรูปแบบใกล้เคียงกัน ดังแสดงในรูปที่ 5.4(ก), รูปที่ 5.5(ก), รูปที่ 5.6(ก) และ รูปที่ 5.7(ก) เนื่องจากการประยุกต์ใช้ระบบล้อตุนกำลังไฟฟ้าเข้ามาในระบบไฟฟ้าเป็นการแบ่งสัดส่วนการทำงานเดิมของระบบแบตเตอรี่ให้กับล้อตุนกำลังเท่านั้น จึงทำให้ผลของความถี่ของระบบไฟฟ้าไม่เปลี่ยนแปลงไปจากกรณีศึกษาที่ 1
- ลักษณะการทำงานของโรงไฟฟ้าพลังงานน้ำแม่สะงาเหมือนกันทุกกรณี เนื่องจากโรงไฟฟ้าพลังงานน้ำแม่สะงากำหนดการทำงานและค่าคงที่เวลาสำหรับการควบคุมความถี่โหลดเช่นเดียวกัน

ทั้งนี้สามารถสรุปผลค่าเบี่ยงเบนทางความถี่ไฟฟ้าสูงสุด ขนาดการใช้งานของระบบแบตเตอรี่ และระบบล้อตุนกำลัง แสดงในตารางที่ 5.3

ตารางที่ 5.3 สรุปผลการจำลองแต่ละกรณีศึกษา

กรณีศึกษา	ขนาดความถี่ไฟฟ้าเบี่ยงเบนสูงสุด (เฮิร์ตซ์)	ระบบแบตเตอรี่		ระบบล้อตุนกำลัง	
		กำลังไฟฟ้าสูงสุด (เมกะวัตต์)	พลังงานไฟฟ้าสูงสุด (เมกะวัตต์-ชั่วโมง)	กำลังไฟฟ้าสูงสุด (เมกะวัตต์)	พลังงานไฟฟ้าสูงสุด (เมกะวัตต์-ชั่วโมง)
ไม่มีระบบล้อตุนกำลัง					
1	0.10	2.59	- 0.12	-	-
มีระบบล้อตุนกำลังสำหรับการควบคุมความถี่โหลด					
2.1	0.10	-2.10	- 0.12	1.16	0.02
2.2	0.10	-2.13	- 0.12	1.54	0.03
มีระบบล้อตุนกำลังสำหรับการควบคุมความถี่โหลดและปรับเรียบกำลังผลิตไฟฟ้า					
3	0.10	-1.20	-0.12	-2.38	0.04

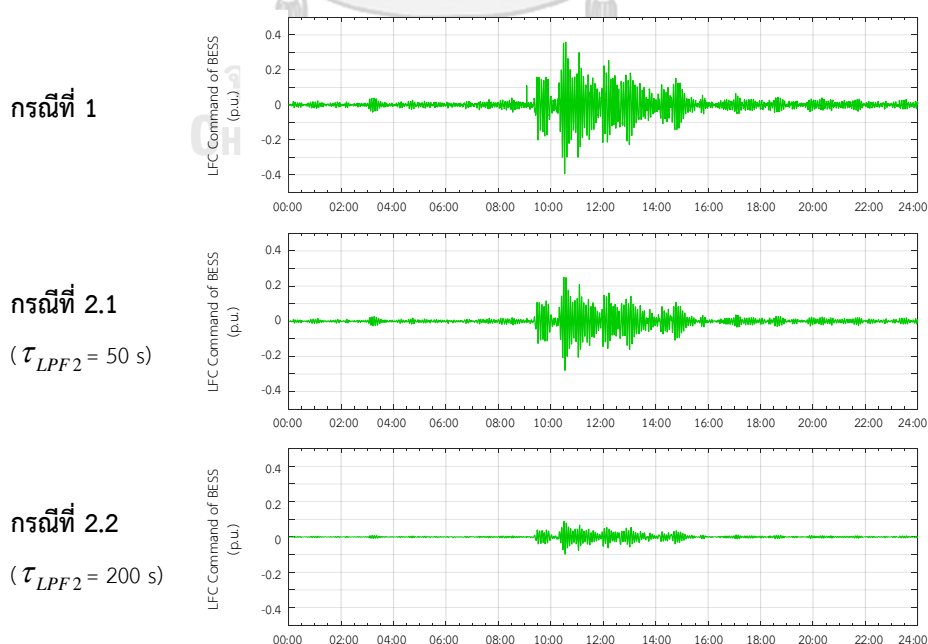
จากตารางข้างต้น แต่ละกรณีศึกษาสามารถควบคุมความถี่ระบบไฟฟ้าให้อยู่ในเกณฑ์มาตรฐานของ กฟภ. ได้ โดยค่าเบี่ยงเบนสูงสุดต้องไม่เกิน ± 0.5 เฮิร์ตซ์ และเมื่อเพิ่มการใช้งานระบบล้อตุนกำลังเข้ามาในระบบไฟฟ้า ส่งผลให้ลดขนาดกำลังไฟฟ้าสูงสุดสำหรับการทำงานของระบบแบตเตอรี่ได้ แต่สำหรับขนาดพลังงานไฟฟ้าสูงสุดทั้ง 3 กรณีมีค่าใกล้เคียงกัน เนื่องจากค่าพลังงานไฟฟ้าที่เกิดขึ้นโดยส่วนใหญ่มาจากการทำงานเพื่อปรับเรียบกำลังผลิตไฟฟ้าของโรงไฟฟ้าพลังงานแสงอาทิตย์

นอกจากนี้ยังสามารถประมาณการขนาดใช้งานของระบบล้อยุนกำลัง โดยในกรณีที่มีการควบคุมความถี่โหลด ขนาดใช้งานประมาณ 1.5 เมกะวัตต์ / 30 กิโลวัตต์-ชั่วโมง และหากมีการปรับเรียกกำลังผลิตไฟฟ้าของโรงไฟฟ้าพลังงานแสงอาทิตย์ร่วมกับการควบคุมความถี่โหลด จะมีขนาดใช้งานประมาณ 2.5 เมกะวัตต์ / 50 กิโลวัตต์-ชั่วโมง

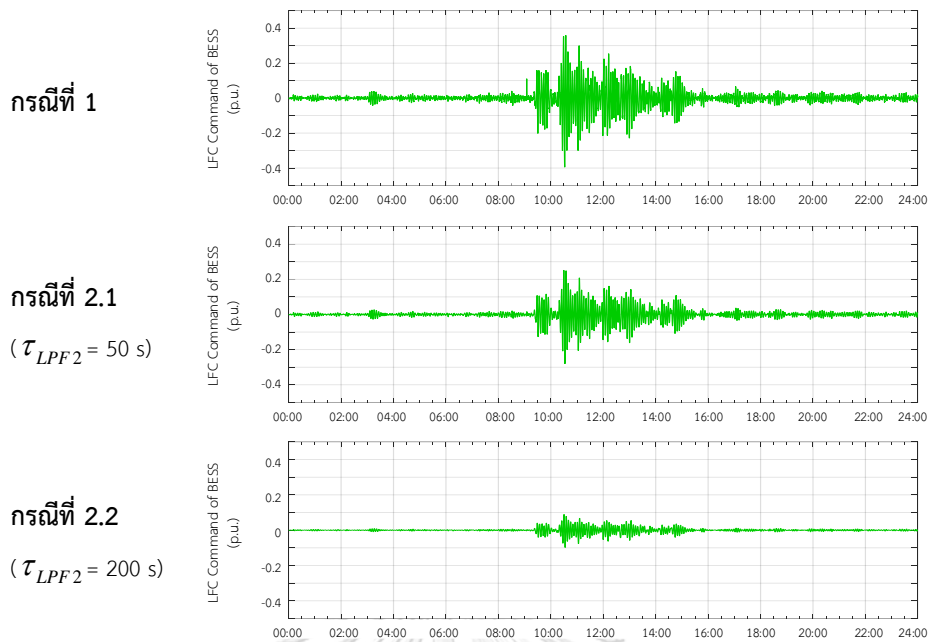
5.2 ผลต่อการทำงานของระบบแบตเตอรี่เมื่อประยุกต์ใช้ระบบล้อยุนกำลังในการควบคุมความถี่โหลด

ในหัวข้อนี้จะทำการเปรียบเทียบผลการจำลองกรณีศึกษาที่ 1 และ 2 เมื่อเพิ่มระบบล้อยุนกำลังมาช่วยในการควบคุมความถี่โหลดในระบบไฟฟ้า โดยการจำลองทั้ง 2 กรณีมีการปรับเรียกกำลังผลิตไฟฟ้าของโรงไฟฟ้าพลังงานแสงอาทิตย์ด้วยแบตเตอรี่เช่นเดียวกัน แต่แตกต่างกันที่การควบคุมความถี่โหลด กรณีที่ 1 มีการควบคุมความถี่โหลดด้วยโรงไฟฟ้าพลังงานน้ำแม่สะงาร่วมกับระบบแบตเตอรี่ ส่วนในกรณีที่ 2 มีการควบคุมความถี่โหลดด้วยโรงไฟฟ้าพลังงานน้ำแม่สะงาร่วมกับระบบแบตเตอรี่และระบบล้อยุนกำลัง

จากรูปที่ 5.8 พบว่าเมื่อมีการแบ่งสัดส่วนความรับผิดชอบย่านความถี่สูงการควบคุมความถี่โหลดให้กับระบบล้อยุนกำลัง ส่งผลให้คำสั่งในการควบคุมความถี่ของระบบแบตเตอรี่ลดลง เกี่ยวโยงไปถึงการลดขนาดกำลังไฟฟ้าของระบบแบตเตอรี่ และสังเกตได้อีกว่าลักษณะกำลังไฟฟ้าของระบบแบตเตอรี่มีความผันผวนน้อยลงตามไปด้วยดังแสดงในรูปที่ 5.9



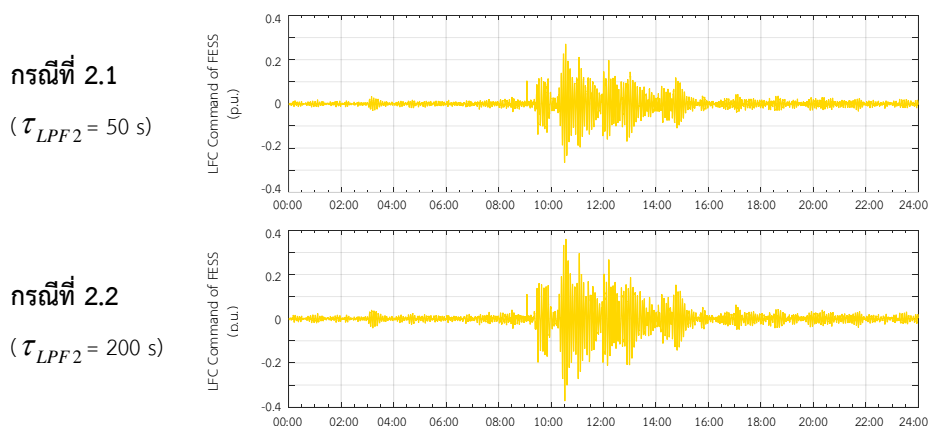
รูปที่ 5.8 สัญญาณคำสั่งสำหรับควบคุมความถี่โหลดของระบบแบตเตอรี่ (กรณีที่ 1 และ 2)



รูปที่ 5.9 กำลังผลิตไฟฟ้าขาออกของระบบแบตเตอรี่ (กรณีศึกษาที่ 1 และ 2)

5.3 ผลจากการปรับค่าคงที่เวลาสำหรับการควบคุมความถี่โหนดของระบบล้อยอนกำลัง

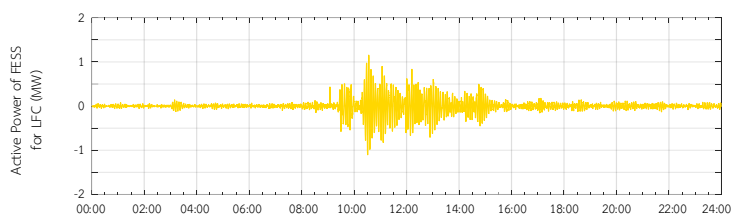
ผลจากการกำหนดค่าคงที่เวลา τ_{LPF2} ที่แตกต่างกันสำหรับการควบคุมความถี่โหนดของระบบล้อยอนกำลังในกรณีศึกษาที่ 2.1 และ 2.2 ส่งผลให้การทำงานของระบบล้อยอนกำลังเปลี่ยนแปลงไป เมื่อปรับค่าคงที่เวลา τ_{LPF2} มีค่ามากขึ้น ระบบล้อยอนกำลังต้องรับมือกับความผันผวนสูงมากขึ้น ทำให้การทำงานของระบบล้อยอนกำลังและขนาดกำลังไฟฟ้าของระบบล้อยอนกำลังเพิ่มขึ้น รวมถึงลักษณะกำลังไฟฟ้าขาออกของระบบล้อยอนกำลังมีความผันผวนมากขึ้นด้วย ดังแสดงในรูปที่ 5.10 และรูปที่ 5.11



รูปที่ 5.10 สัญญาณคำสั่งสำหรับควบคุมความถี่โหนดของระบบล้อยอนกำลัง (กรณีศึกษาที่ 2)

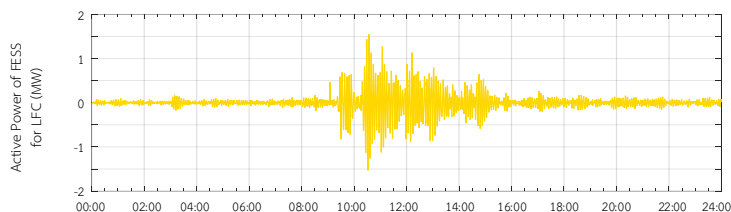
กรณีที่ 2.1

($\tau_{LPF2} = 50$ s)



กรณีที่ 2.2

($\tau_{LPF2} = 200$ s)



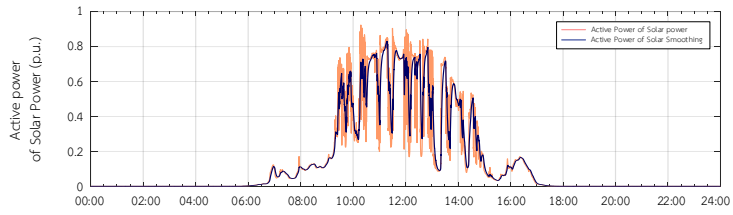
รูปที่ 5.11 กำลังไฟฟ้าขาออกของระบบล้อยูนกำลัง (กรณีที่ 2)

5.4 ผลต่อการทำงานของระบบแบตเตอรี่เมื่อใช้ระบบล้อยูนกำลังในการควบคุมความถี่ไหลลด ร่วมกับการปรับเรียบกำลังผลิตไฟฟ้า

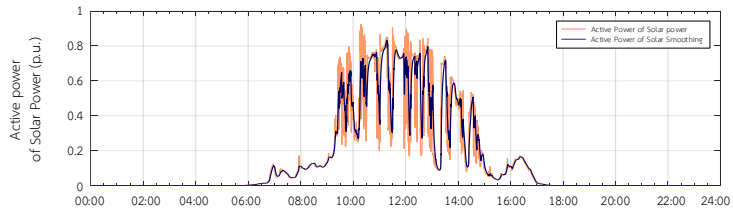
ในหัวข้อนี้จะทำการเปรียบเทียบผลการจำลองกรณี 2.2 และ 3 เนื่องด้วยทั้ง 2 กรณีมีการกำหนดตัวแปรในการควบคุมความถี่ไหลลดเช่นเดียวกัน แต่มีตัวแปรสำหรับการปรับเรียบกำลังผลิตไฟฟ้าของโรงไฟฟ้าพลังงานแสงอาทิตย์ที่แตกต่างกัน จากเดิมที่มีการทำงานการปรับเรียบกำลังผลิตไฟฟ้าของโรงไฟฟ้าพลังงานแสงอาทิตย์เฉพาะระบบแบตเตอรี่ จึงแบ่งส่วนความรับผิดชอบให้ระบบล้อยูนกำลังมาช่วยรองรับการปรับเรียบกำลังผลิตไฟฟ้าในย่านความผันผวนสูงสุด โดยในกรณีที่ 2.2 ค่าคงที่เวลา τ_{SM} เท่ากับ 145 วินาที หมายความว่าระบบแบตเตอรี่รองรับความผันผวนของกำลังผลิตไฟฟ้าจากพลังงานแสงอาทิตย์ที่มีความผันผวนเร็วกว่า 145 วินาที ส่วนในกรณีที่ 3 แบ่งสัดส่วนจากการทำงานเดิมของระบบแบตเตอรี่เป็นสองส่วน จึงกำหนดค่าคงที่เวลา τ_{SM_BESS} เท่ากับ 70 วินาที หมายความว่าระบบล้อยูนกำลังต้องรองรับความผันผวนของกำลังผลิตไฟฟ้าจากพลังงานแสงอาทิตย์ที่เร็วกว่า 70 วินาที และระบบแบตเตอรี่ต้องรับผิดชอบความผันผวนที่เหลืออยู่ ระหว่าง 70 – 145 วินาที

จากผลการจำลองในรูปที่ 5.12 แสดงกำลังไฟฟ้าขาออกของโรงไฟฟ้าพลังงานแสงอาทิตย์ (ต่อหน่วย) พร้อมการปรับเรียบกำลังผลิตไฟฟ้าด้วยระบบแบตเตอรี่ในกรณีศึกษาที่ 2.2 และการปรับเรียบกำลังผลิตไฟฟ้าด้วยระบบแบตเตอรี่ร่วมกับระบบล้อยูนกำลังในกรณีศึกษาที่ 3 โดยทั้ง 2 กรณีมีผลการปรับเรียบกำลังผลิตไฟฟ้าไม่แตกต่างกัน เพราะเป็นเพียงการแบ่งส่วนการทำงานการปรับเรียบกำลังผลิตไฟฟ้าให้ระบบล้อยูนกำลังเท่านั้น

กรณีที่ 2.2
 ($\tau_{LPF2} = 200$ s)

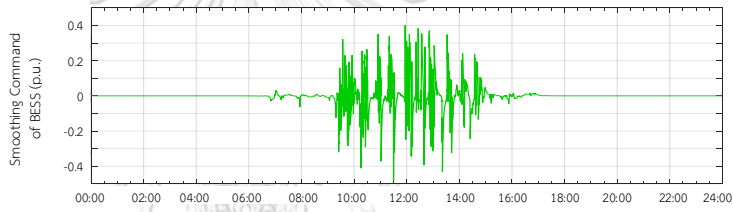


กรณีที่ 3

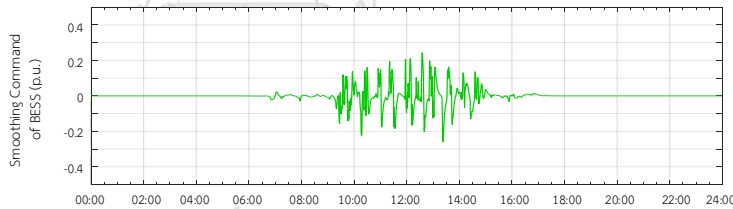


รูปที่ 5.12 กำลังไฟฟ้าขาออกของโรงไฟฟ้าพลังงานแสงอาทิตย์และการปรับเรียบกำลังผลิตไฟฟ้าโดยระบบกักเก็บพลังงาน (กรณีที่ 2.2 และ 3)

กรณีที่ 2.2
 ($\tau_{LPF2} = 200$ s)

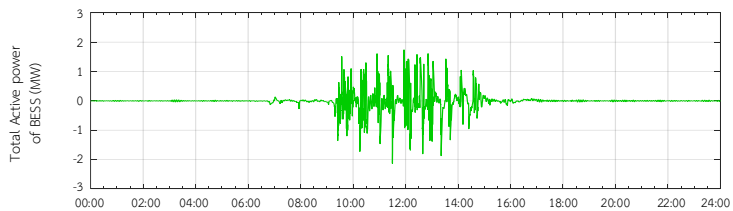


กรณีที่ 3

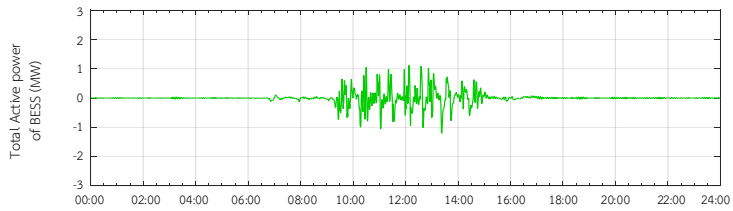


รูปที่ 5.13 สัญญาณคำสั่งการปรับเรียบกำลังผลิตไฟฟ้าของระบบแบตเตอรี่ (กรณีที่ 2.2 และ 3)

กรณีที่ 2.2
 ($\tau_{LPF2} = 200$ s)



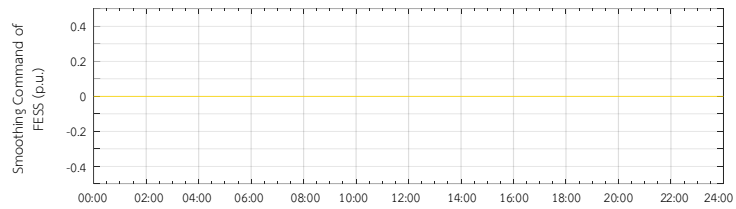
กรณีที่ 3



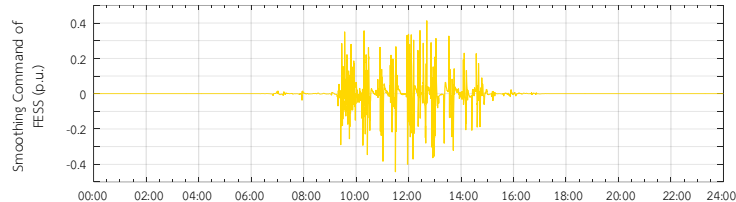
รูปที่ 5.14 กำลังไฟฟ้าขาออกของระบบแบตเตอรี่ (กรณีที่ 2.2 และ 3)

กรณีที่ 2.2

($\tau_{LPF2} = 200$ s)



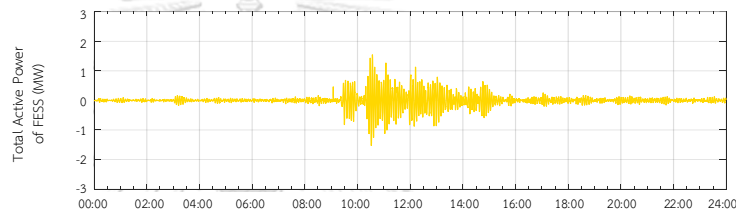
กรณีที่ 3



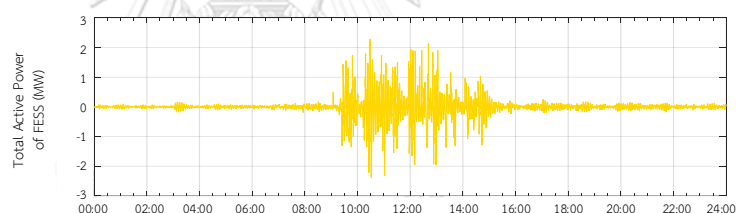
รูปที่ 5.15 สัญญาณคำสั่งการปรับเรียบกำลังผลิตไฟฟ้าของระบบล้อยุนกำลัง (กรณีที่ 3)

กรณีที่ 2.2

($\tau_{LPF2} = 200$ s)



กรณีที่ 3



รูปที่ 5.16 กำลังไฟฟ้าขาออกของระบบล้อยุนกำลัง (กรณีที่ 2.2 และ 3)

จากการกำหนดให้ระบบล้อยุนกำลังทำงานเพิ่มเพื่อปรับเรียบกำลังผลิตไฟฟ้าของโรงไฟฟ้าพลังงานแสงอาทิตย์ด้วยดังแสดงในรูปที่ 5.13 และรูปที่ 5.14 จะพบว่า การทำงานของระบบแบตเตอรี่ที่ลดน้อยลง และลักษณะการทำงานของแบตเตอรี่ที่มีความผันผวนน้อยลงตามไปด้วย การเพิ่มการทำงานให้ระบบล้อยุนกำลังนอกเหนือจากการควบคุมความถี่โวลต์ ส่งผลให้การทำงานของล้อยุนกำลังเพิ่มขึ้นอย่างมาก โดยมีขนาดกำลังไฟฟ้าเพิ่มขึ้นจากกรณีที่ 2.2 ประมาณ 0.83 เมกะวัตต์ รวมถึงทำให้ลักษณะการทำงานของล้อยุนกำลังมีความผันผวนเพิ่มขึ้นตามไปด้วย ดังรูปที่ 5.16

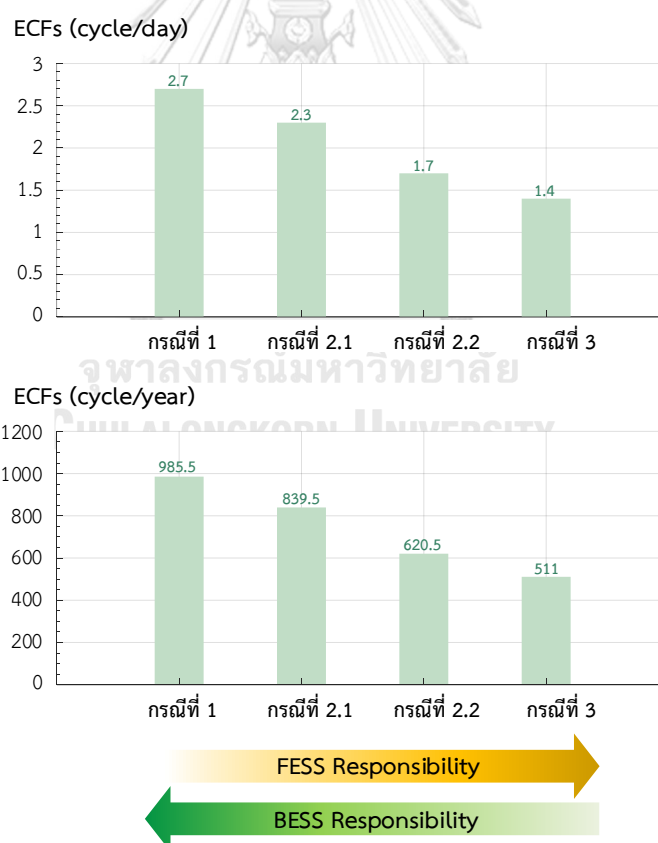
ทั้งนี้ เหตุผลที่ไม่กำหนดให้ระบบล้อยุนกำลังรับผิดชอบการปรับเรียบกำลังผลิตไฟฟ้าของโรงไฟฟ้าพลังงานแสงอาทิตย์ แทนการทำงานของแบตเตอรี่ทั้งหมด เนื่องจากทำให้ระบบล้อยุนกำลังต้องการปริมาณพลังงานไฟฟ้ามากเกินไป ซึ่งขัดแย้งกับคุณสมบัติของระบบล้อยุนกำลังที่มีกำลังไฟฟ้าสูง แต่พลังงานไฟฟ้าต่ำ อีกทั้งทำให้ต้องติดตั้งระบบล้อยุนกำลังจำนวนมากด้วย

5.5 ผลการประยุกต์ใช้ระบบล้อย้อนกำลังต่อความเสื่อมสภาพอายุการใช้งานของแบตเตอรี่

จากผลการศึกษาดารางที่ 5.3 เนื่องจากการทำงานของระบบแบตเตอรี่ มีความต้องการพลังงานไฟฟ้าน้อยมาก (0.12 MWh หรือ 120 kWh) จึงทำให้เป็นงานใช้งานในเชิงกำลังไฟฟ้ามากกว่าการใช้งานเชิงพลังงานไฟฟ้า จึงสมมติให้ขนาดแบตเตอรี่สูงสุดที่ต้องการใช้งานในวิจัยนี้อยู่ที่ 3 MW/750 kWh (อัตราการอัดประจุ/คายประจุสูงสุดที่ 4C เป็นค่าวิกฤตที่สุดในการทำงานของแบตเตอรี่ชนิดลิเทียมไอออน) สามารถวิเคราะห์ความเสื่อมสภาพการใช้งานแบตเตอรี่ ดังนี้

5.5.1) การประมาณรอบการใช้งานของแบตเตอรี่โดยวิธี Equivalent Full Cycles (EFCs)

จากสมการที่ (2.4) EFCs พิจารณาจากค่าพลังงานขาเข้า/ขาออก ของระบบแบตเตอรี่หารด้วยค่าพิกัดพลังงานไฟฟ้าของแบตเตอรี่ (750 kWh) คำนวณรอบการใช้งานของแบตเตอรี่ในแต่ละกรณีดังแสดงในรูปที่ 5.17 จะเห็นได้ว่าการเพิ่มภาระงานให้ระบบล้อย้อนกำลังเพิ่มมากขึ้นและลดภาระงานของระบบแบตเตอรี่ ส่งผลให้จำนวนรอบที่เกิดขึ้นในแต่ละวันหรือในแต่ละปีลดน้อยลง



รูปที่ 5.17 จำนวนรอบการทำงานของแบตเตอรี่โดยวิธี EFCs

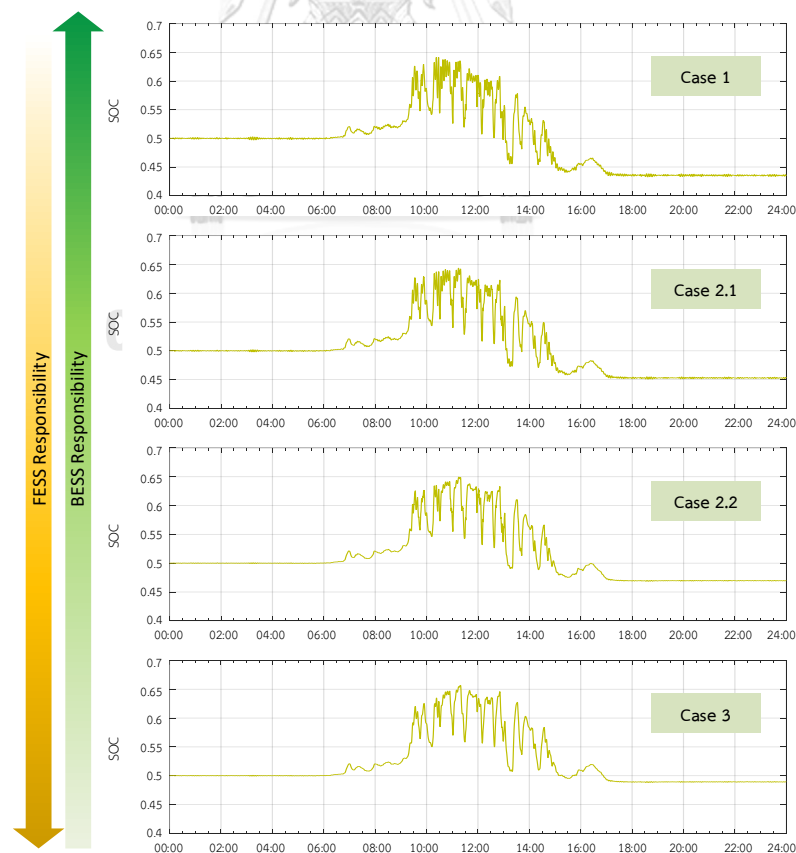
และหากกำหนดให้แบตเตอรี่ที่ใช้มีจำนวนรอบการใช้งานสูงสุด 10,000 รอบ จะได้ว่าแบตเตอรี่มีอายุการใช้งานดังแสดงในตารางที่ 5.4 กล่าวคืออายุการใช้งานของแบตเตอรี่เพิ่มขึ้นสัมพันธ์กับจำนวนรอบการใช้งานที่ลดลง

ตารางที่ 5.4 อายุการใช้งานโดยประมาณจากวิธี EFCs

กรณีศึกษา	อายุการใช้งาน (ปี)
กรณีที่ 1	10
กรณีที่ 2.1	12
กรณีที่ 2.2	16
กรณีที่ 3	19.5

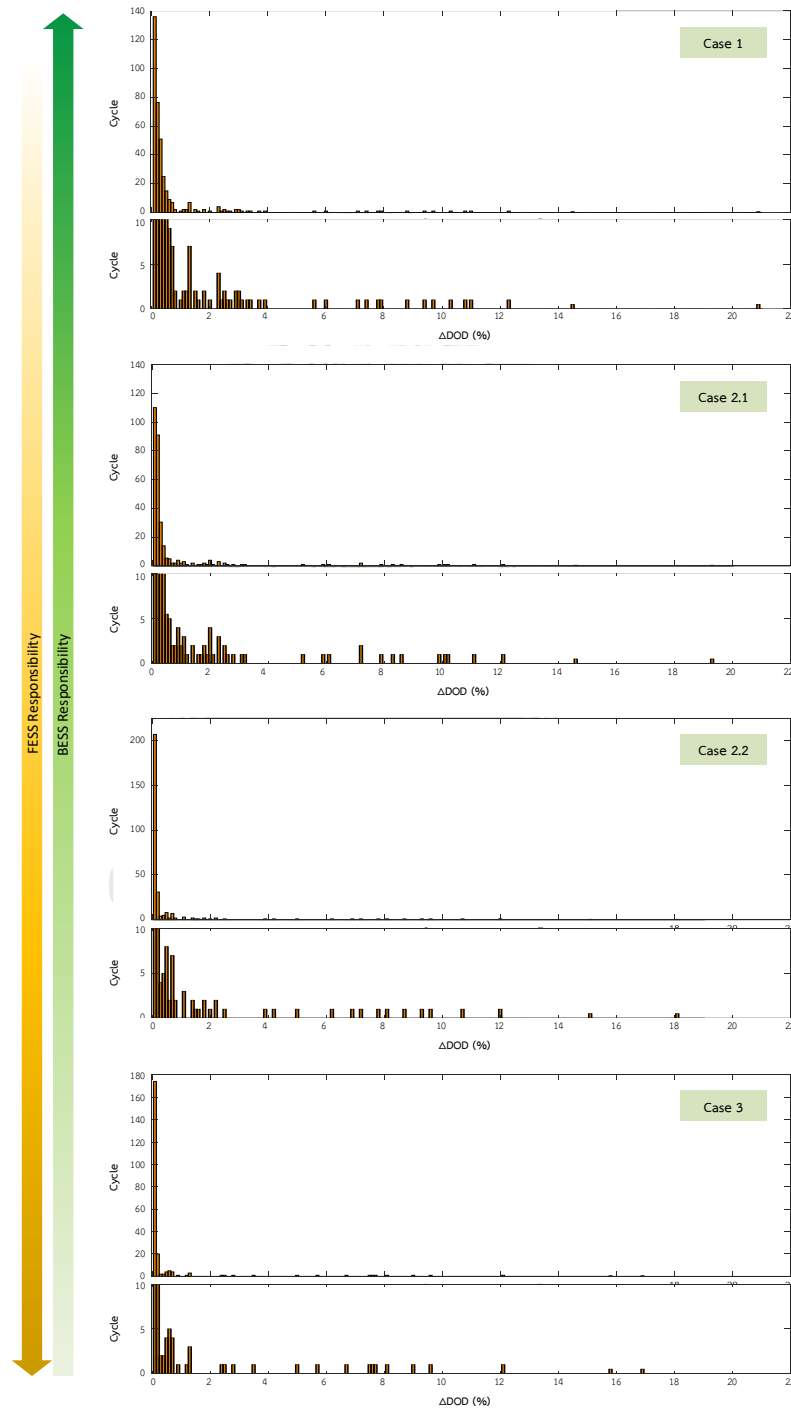
5.5.2) การประมาณรอบการใช้งานของแบตเตอรี่ด้วยเทคนิค Rainflow Cycle Counting

จากขั้นตอนพิจารณาความสัมพันธ์สภาพการใช้งานของแบตเตอรี่ในหัวข้อที่ 4.8 สามารถประเมินรอบการใช้งานของแบตเตอรี่ได้ โดยมีสถานะการประจุ (SOC) ซึ่งเป็นข้อมูลตั้งต้นดังรูปที่ 5.18



รูปที่ 5.18 สถานะการประจุของแบตเตอรี่ในกรณีต่างๆ

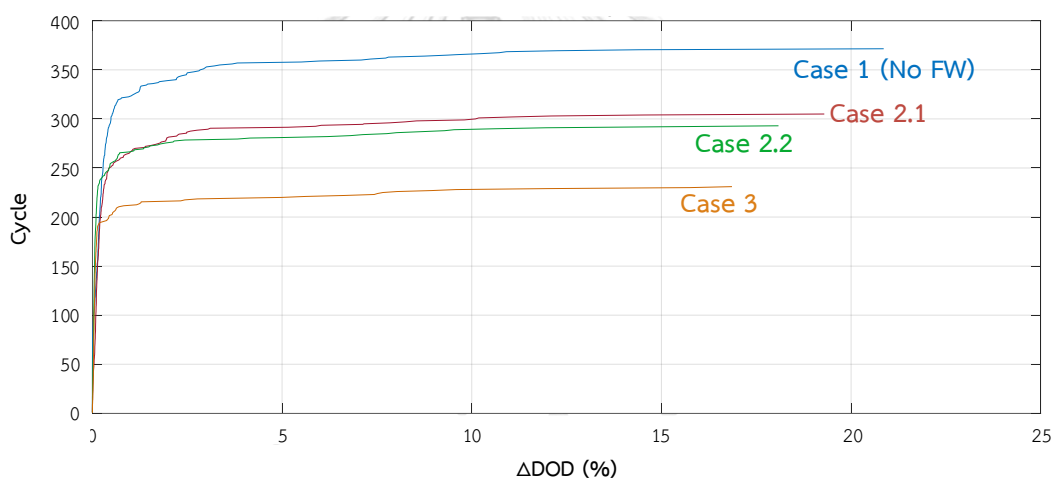
จากขั้นตอนการวิเคราะห์ความสัมพันธ์ของแบตเตอรี่โดยเทคนิค Rainflow Cycle Counting แสดงการกระจายตัวของรอบการทำงานของแบตเตอรี่ในแต่ละค่าการเปลี่ยนแปลงของการคายประจุ (ΔDOD) ในรูปที่ 5.19 จะเห็นได้ว่าหากแบตเตอรี่ต้องรับภาระการทำงานมาก ส่งผลให้มีการกระจายตัวที่ ΔDOD ในช่วงที่กว้างกว่าภาระการทำงานของแบตเตอรี่ลดลง สังเกตได้จาก



รูปที่ 5.19 การกระจายตัวของจำนวนรอบการทำงานในแต่ละช่วงความลึก ΔDOD (%)

- กรณีที่ 1 Δ DOD สูงสุดที่เกิดขึ้นประมาณร้อยละ 21 รอบการทำงานเท่ากับ 0.5 รอบ
- กรณีที่ 2.1 Δ DOD สูงสุดที่เกิดขึ้นประมาณร้อยละ 19 รอบการทำงานเท่ากับ 0.5 รอบ
- กรณีที่ 2.2 Δ DOD สูงสุดที่เกิดขึ้นประมาณร้อยละ 18 รอบการทำงานเท่ากับ 0.5 รอบ
- กรณีที่ 3 Δ DOD สูงสุดที่เกิดขึ้นประมาณร้อยละ 17 รอบการทำงานเท่ากับ 0.5 รอบ

และแสดงแนวโน้มของรอบการทำงานที่เกิดขึ้นของแบตเตอรี่ในแต่ละ Δ DOD ดังแสดงในรูปที่ 5.20 จะเห็นได้ว่ากรณีที่ 1 (ไม่มีระบบล้อตุ่นกำลัง) แบตเตอรี่ต้องรับภาระงานสูงสุดส่งผลให้เกิดรอบการทำงานสูงที่ Δ DOD ค่าน้อยๆ เมื่อเพิ่มภาระงานระบบล้อตุ่นกำลังเข้ามาในระบบมากขึ้น เรียงลำดับจากกรณีที่ 2.1 กรณีที่ 2.2 และกรณีที่ 3 ตามลำดับ รอบการทำงานของแบตเตอรี่ที่ Δ DOD ค่าน้อยๆ มีค่าลดน้อยลงโดยเฉพาะในกรณีที่ 3 (ระบบล้อตุ่นกำลังแบ่งภาระการทำงานจากแบตเตอรี่ทั้งการควบคุมความถี่โหลด และการปรับเรียบกำลังผลิตไฟฟ้าของโรงไฟฟ้าพลังงานแสงอาทิตย์)



รูปที่ 5.20 แนวโน้มรอบการทำงานของแบตเตอรี่ในแต่ละช่วงความลึก Δ DOD (%)

สำหรับการพิจารณาค่าความเสื่อมสภาพการใช้งานของแบตเตอรี่ สมมติให้มีลักษณะโหลดและพลังงานแสงอาทิตย์เช่นเดียวกันใน 1 ปีจะส่งผลต่อค่าความเสื่อมสภาพการใช้งานของแบตเตอรี่และอายุการใช้งานของแบตเตอรี่ ดังแสดงในตารางที่ 5.5 โดยทั่วไปการสิ้นอายุขัยการทำงาน (End-of-life) สามารถพิจารณาได้หลากหลายเงื่อนไข เช่น หากค่าความจุแบตเตอรี่ในการเริ่มต้นใช้งานแต่ละครั้งเท่ากับร้อยละ 70 - 80 จากความจุพิกัดจะถือว่าสิ้นอายุการทำงาน เป็นต้น

ตารางที่ 5.5 ค่าความเสื่อมสภาพการใช้งานของแบตเตอรี่

กรณีศึกษา	ความเสื่อมสภาพการใช้งาน (ร้อยละ/ปี)	อายุการใช้งาน (ปี)
กรณีที่ 1	8.54	11.70
กรณีที่ 2.1	7.46	13.40
กรณีที่ 2.2	5.97	16.75
กรณีที่ 3	4.94	20.26

จากตารางข้างต้น จะเห็นได้ว่าเมื่อเพิ่มระบบล้อยูนกำลังเข้ามาในระบบไฟฟ้า เพื่อช่วยรับภาระงานบางส่วนทดแทนแบตเตอรี่จากน้อยไปมาก กรณีที่ 1 กรณีที่ 2.1 กรณีที่ 2.2 และกรณีที่ 3 ตามลำดับ ส่งผลให้ค่าความเสื่อมสภาพการใช้งานแบตเตอรี่ลดลง สอดคล้องกับอายุการใช้งานของแบตเตอรี่ที่เพิ่มขึ้น

ดังนั้นจากผลการวิเคราะห์ในหัวข้อ 5.5.1) และ 5.5.2) ด้วยวิธี EFCs และ Rainflow Cycle Counting พบว่า จำนวนรอบที่เกิดจากการใช้งานของแบตเตอรี่เปลี่ยนแปลงเป็นไปในทิศทางเดียวกัน นั่นคือเมื่อมีการใช้งานระบบล้อยูนกำลังเพิ่มเข้ามาในระบบไฟฟ้ารองรับส่วนที่ความผันผวนสูงแทนภาระงานเดิมของแบตเตอรี่ นอกจากจะช่วยให้จำนวนรอบการทำงานของแบตเตอรี่ลดลงอย่างเห็นได้ชัด ยังช่วยยืดอายุการใช้งานของแบตเตอรี่ให้ยาวนานขึ้น และสามารถประมาณอายุการใช้งานสูงสุดได้เทียบเท่าอายุขัย (Calendar life) ของแบตเตอรี่ที่ประมาณ 20 ปีอีกด้วย

จุฬาลงกรณ์มหาวิทยาลัย

5.6 ผลสรุปการจำลองและความเสื่อมสภาพการใช้งานของระบบแบตเตอรี่ เมื่อใช้ระบบล้อยูนกำลังสำหรับการควบคุมความถี่โวลต์และการปรับเรียบกำลังผลิตไฟฟ้า

จากผลการจำลองระบบไฟฟ้าขนาดเล็กรออำเภอเมืองแม่ฮ่องสอนแบบแยกโหนด กรณีที่ 1 กรณีที่ 2.1 กรณีที่ 2.2 และกรณีที่ 3 พบว่าทุกกรณีศึกษาสามารถควบคุมค่าความถี่เบี่ยงเบนของระบบไฟฟ้ามามีค่าไม่เกิน ± 0.5 เฮิร์ตซ์ เป็นไปตามมาตรฐานของ กฟภ. และสามารถประมาณการขนาดติดตั้งที่ต้องการของระบบแบตเตอรี่ และระบบล้อยูนกำลัง รวมถึงผลการวิเคราะห์ความเสื่อมสภาพการใช้งานของระบบแบตเตอรี่ และอายุการใช้งานโดยประมาณจนสิ้นอายุขัย ดังแสดงในตารางที่ 5.6

ตารางที่ 5.6 สรุปขนาดติดตั้งของระบบล้อยูนกำลังและระบบแบตเตอรี่ในแต่ละกรณีศึกษา
และความเสื่อมสภาพการใช้งานระบบแบตเตอรี่

กรณีศึกษา	ระบบแบตเตอรี่		ระบบล้อยูนกำลัง		ความเสื่อมสภาพการใช้งานระบบแบตเตอรี่ (*4C-rate)			
	กำลังไฟฟ้า	พลังงานไฟฟ้า	กำลังไฟฟ้า	พลังงานไฟฟ้า	Equivalent Full Cycles (EFCs)		Rainflow Cycle Counting	
	(เมกะวัตต์)	(เมกะวัตต์-ชั่วโมง)	(เมกะวัตต์)	(เมกะวัตต์-ชั่วโมง)	จำนวนรอบ/ปี	อายุ (ปี)	ร้อยละ/ปี	อายุ (ปี)
ไม่มีระบบล้อยูนกำลัง								
1	3	120	-	-	985.5	10	8.54	11.70
มีระบบล้อยูนกำลังสำหรับการควบคุมความถี่โหลด								
2.1	2.5	120	1.5	30	839.5	12	7.46	13.40
2.2					620.5	16	5.97	16.75
ระบบล้อยูนกำลังสำหรับการควบคุมความถี่โหลดและปรับเรียบกำลังผลิตไฟฟ้า								
3	1.5	120	2.5	50	511	19.5	4.94	20.26

หากไม่มีการใช้งานระบบล้อยูนกำลังเข้ามาในระบบไฟฟ้า เพื่อรองรับส่วนความผันผวนสูงแทนภาระงานเดิมของแบตเตอรี่ (กรณีศึกษาที่ 1) พบว่า ขนาดกำลังไฟฟ้าที่เหมาะสมของระบบแบตเตอรี่อยู่ที่ประมาณ 3 เมกะวัตต์ จากนั้นเมื่อมีการใช้งานระบบล้อยูนกำลังสำหรับการควบคุมความถี่โหลด (กรณีศึกษาที่ 2) ขนาดกำลังไฟฟ้าที่เหมาะสมของระบบแบตเตอรี่อยู่ที่ประมาณ 2.5 เมกะวัตต์ ลดลงได้ 0.5 เมกะวัตต์จากกรณีศึกษาที่ 1 และเมื่อมีการใช้งานระบบล้อยูนกำลังสำหรับการควบคุมความถี่โหลดและปรับเรียบกำลังผลิตไฟฟ้าจากพลังงานแสงอาทิตย์ ขนาดกำลังไฟฟ้าที่เหมาะสมของระบบแบตเตอรี่อยู่ที่ประมาณ 1.5 เมกะวัตต์ ลดลงได้ครึ่งหนึ่งจากกรณีศึกษาที่ 1 หรือเท่ากับ 1.5 เมกะวัตต์ โดยทุกกรณีมีขนาดพลังงานไฟฟ้าที่ต้องการประมาณ 120 เมกะวัตต์ ในส่วนของความเสื่อมสภาพการใช้งานของระบบแบตเตอรี่ก็เป็นไปในทิศทางที่สอดคล้องกันกับปริมาณการใช้งานระบบแบตเตอรี่ที่ลดลง กล่าวคือจำนวนรอบการใช้งานจากวิธี EFCs และร้อยละความเสื่อมสภาพการใช้งาน/ปี จากเทคนิค Rainflow cycle counting มีค่าลดลง ซึ่งส่งผลต่ออายุการใช้งานของระบบแบตเตอรี่มีค่าประมาณอายุการใช้งานเพิ่มขึ้น ซึ่งเปลี่ยนแปลงไปในทิศทางเดียวกันทั้ง 2 วิธี

สำหรับขนาดติดตั้งที่เหมาะสมของระบบแบตเตอรี่ในงานวิจัยนี้ สมมติให้อัตราการคายประจุของแบตเตอรี่เทียบกับความจุที่กัก หรือค่ากระแสสำหรับการอัดประจุ/คายประจุของระบบแบตเตอรี่

(C-rate) มีค่าสูงสุดเท่ากับ 2C เนื่องจากเป็นค่าสูงสุดที่ปลอดภัยต่อการทำงานของแบตเตอรี่ชนิด ลิเทียมไอออน หากมีค่ามากกว่านี้จะลดทอนอายุการใช้งานให้สั้นลงอย่างรวดเร็ว โดยสามารถ ประมาณการขนาดติดตั้งกำลังไฟฟ้าและพลังงานไฟฟ้าของระบบแบตเตอรี่และระบบล้อยุนกำลัง ดังนี้

กรณีศึกษา	ขนาดติดตั้งระบบแบตเตอรี่ (*2C)
กรณีที่ 1 (ไม่มีระบบล้อยุนกำลัง)	3 เมกะวัตต์ / 1.5 เมกะวัตต์-ชั่วโมง
กรณีที่ 2 (มีระบบล้อยุนกำลังสำหรับการควบคุมความถี่ไหลด)	5 เมกะวัตต์ / 1.25 เมกะวัตต์-ชั่วโมง
กรณีที่ 3 (มีระบบล้อยุนกำลังสำหรับการควบคุมความถี่ไหลด และปรับเรียบกำลังผลิตไฟฟ้าจากพลังงานแสงอาทิตย์)	1.5 เมกะวัตต์ / 0.75 เมกะวัตต์-ชั่วโมง

กรณีศึกษา	ขนาดติดตั้งระบบล้อยุนกำลัง
กรณีที่ 1 (ไม่มีระบบล้อยุนกำลัง)	-
กรณีที่ 2 (มีระบบล้อยุนกำลังสำหรับการควบคุมความถี่ไหลด)	1.5 เมกะวัตต์ / 30 กิโลวัตต์-ชั่วโมง
กรณีที่ 3 (มีระบบล้อยุนกำลังสำหรับการควบคุมความถี่ไหลด และปรับเรียบกำลังผลิตไฟฟ้าจากพลังงานแสงอาทิตย์)	2.5 เมกะวัตต์ / 50 กิโลวัตต์-ชั่วโมง

อย่างไรก็ตาม การวิเคราะห์ความเสื่อมสภาพการใช้งานของระบบแบตเตอรี่ในงานวิจัยนี้ พิจารณา ขนาดแบตเตอรี่เท่ากับ 3 เมกะวัตต์ / 0.75 เมกะวัตต์-ชั่วโมง เทียบเท่ากับแบตเตอรี่ทำงานที่อัตรา การอัดประจุ/คายประจุสูงสุดที่ 4C ซึ่งเป็นค่าใช้งานวิกฤติที่สุดสำหรับแบตเตอรี่ชนิดลิเทียมไอออน ดังนั้นหากมีการใช้งานแบตเตอรี่ที่อัตราการอัดประจุ/คายประจุ 2C ความเสื่อมสภาพการใช้งาน ระบบแบตเตอรี่ที่เกิดขึ้นจะมีค่าลดลง และอายุการใช้งานของแบตเตอรี่ที่จะมีค่าเพิ่มขึ้นตามไปด้วย

ทั้งนี้ ในมุมมองของผู้ทำวิจัย หากต้องเลือกขนาดติดตั้งที่เหมาะสมที่สุดของระบบแบตเตอรี่ ระบบล้อยุนกำลัง รวมถึงการทำงานของระบบกักเก็บพลังงานทั้งสองชนิด ขอเสนอแนวทางการใช้ ระบบล้อยุนกำลังเพื่อทำการควบคุมความถี่ไหลดร่วมกับระบบแบตเตอรี่ และโรงไฟฟ้าพลังงานน้ำ ดังการจำลองในกรณีที่ 2 สามารถประมาณขนาดติดตั้งของระบบแบตเตอรี่เท่ากับ 2.5 เมกะวัตต์ / 1.25 เมกะวัตต์-ชั่วโมง และขนาดติดตั้งของระบบล้อยุนกำลัง 1.5 เมกะวัตต์ / 30 กิโลวัตต์-ชั่วโมง เนื่องจากขนาดติดตั้งของระบบล้อยุนกำลัง มีขนาดไม่ใหญ่เกินไป ทั้งในแง่ของกำลังไฟฟ้า พลังงาน ไฟฟ้า พื้นที่การติดตั้ง รวมถึงในเรื่องของค่าใช้จ่าย และหากต้องให้ระบบล้อยุนกำลังทำงานเพื่อปรับ เรียบกำลังผลิตไฟฟ้าจากพลังงานแสงอาทิตย์ ซึ่งการทำงานในโหมดนี้ต้องการพลังงานไฟฟ้าสูง ชัดกับ จุดอ่อนของระบบล้อยุนกำลัง โดยทั่วไปเมื่อต้องการให้กำลังไฟฟ้าจากพลังงานแสงอาทิตย์มีความ ราบเรียบมากขึ้น ก็ต้องปรับให้ค่าคงที่เวลาของระบบควบคุมการปรับเรียบกำลังผลิตไฟฟ้าจาก

พลังงานแสงอาทิตย์มีค่ามากขึ้น ส่งผลให้ค่าพลังงานไฟฟ้าที่ต้องการก็จะมีค่ามากขึ้นตามไปด้วย คุณสมบัติของระบบแบตเตอรี่ต่อการทำงานลักษณะนี้ จึงมีความเหมาะสมมากกว่าการใช้งานระบบ ล้อตุ๋นกำลัง และหากใช้งานระบบล้อตุ๋นกำลังดังกรณีที่ 2 โดยกำหนดให้แบตเตอรี่มีอัตราการอัด ประจุ/คายประจุสูงสุดที่ 2C ในประเด็นค่าความเสื่อมการใช้งานของแบตเตอรี่ก็จะสามารถช่วยยืด อายุการทำงานของระบบแบตเตอรี่ได้มากกว่าค่าที่แสดงในตารางที่ 5.6 (กรณีที่ 2 มีอายุการใช้งาน โดยประมาณของแบตเตอรี่เท่ากับ 16 – 17 ปี) ซึ่งส่งผลให้การวิเคราะห์อายุการใช้งานของระบบ แบตเตอรี่ตามวิธีการที่ได้นำเสนอ อาจมีค่าเกินกว่า 20 ปี หรือเกินกว่าอายุขัยสูงสุด (Calendar life) ของแบตเตอรี่ชนิดลิเธียมไอออนในปัจจุบัน อย่างไรก็ตาม การวิเคราะห์ความเสื่อมสภาพการใช้งาน และอายุของแบตเตอรี่ เป็นเพียงการประเมินเบื้องต้นเท่านั้น ยังไม่มีการพิจารณาปัจจัยอื่นๆ อันส่งผล กระทบต่อความเสื่อมสภาพของระบบแบตเตอรี่เข้ามาเกี่ยวข้อง



บทที่ 6

บทสรุปและข้อเสนอแนะ

เมื่อระบบไฟฟ้าขนาดเล็กของอำเภอเมืองแม่ฮ่องสอนอยู่ในสภาวะแยกโดด จำเป็นต้องมีการบริหารจัดการแหล่งผลิตไฟฟ้าภายในพื้นที่ แต่ด้วยข้อจำกัดของโรงไฟฟ้าพลังงานน้ำขนาดเล็กแม่สะงาที่มีการตอบสนองช้า จึงทำให้ระบบแบตเตอรี่ต้องรับบทบาทสำคัญในการรักษาเสถียรภาพความถี่ของระบบไฟฟ้าด้วยการควบคุมความถี่โหลดเพื่อรองรับความผันผวนจากโหลดในระบบ รวมทั้งการปรับเรียบกำลังผลิตไฟฟ้าของโรงไฟฟ้าพลังงานแสงอาทิตย์ ส่งผลให้แบตเตอรี่มีการทำงานเพื่ออัดประจุและคายประจุบ่อยครั้ง และทำให้อายุการใช้งานของแบตเตอรี่สั้นลงได้ งานวิทยานิพนธ์นี้จึงเสนอแนวคิดการประยุกต์ใช้ระบบกักเก็บพลังงานชนิดล้อยูนกำลังเพิ่มเข้ามาในระบบไฟฟ้า เพื่อมาช่วยลดผลกระทบที่เกิดขึ้นกับระบบแบตเตอรี่ จุดเด่นของระบบล้อยูนกำลังเหมาะกับการใช้งานที่ต้องการกำลังไฟฟ้าสูง แต่พลังงานไฟฟ้าต่ำ จึงสามารถใช้แบ่งภาระเดิมของระบบแบตเตอรี่ให้แทนที่ด้วยระบบล้อยูนกำลังเพื่อจัดการความผันผวนสูงในช่วงเวลาสั้นที่เกิดจากโหลดและกำลังผลิตไฟฟ้าจากโรงไฟฟ้าพลังงานแสงอาทิตย์ ในงานวิทยานิพนธ์นี้ กำหนดให้ระบบล้อยูนกำลังทำงาน 2 หน้าที่ คือ การควบคุมความถี่ระบบไฟฟ้าให้เป็นไปตามมาตรฐานของ กพท. และการปรับเรียบกำลังผลิตไฟฟ้าของโรงไฟฟ้าพลังงานแสงอาทิตย์

ผลการจำลองแสดงให้เห็นว่า แนวคิดการประยุกต์ใช้ระบบล้อยูนกำลังในระบบไฟฟ้าขนาดเล็ก เพื่อทำหน้าที่ควบคุมความถี่โหลดร่วมกับโรงไฟฟ้าพลังงานน้ำแม่สะงาและระบบแบตเตอรี่ สามารถควบคุมความถี่ระบบไฟฟ้าในสภาวะแยกโดดให้อยู่ในเกณฑ์มาตรฐานได้ และการใช้ระบบล้อยูนกำลังเพื่อปรับเรียบกำลังผลิตไฟฟ้าของโรงไฟฟ้าพลังงานแสงอาทิตย์ร่วมกับระบบแบตเตอรี่ สามารถปรับเรียบกำลังผลิตไฟฟ้าจากโรงไฟฟ้าพลังงานแสงอาทิตย์ได้ ยิ่งไปกว่านั้นการใช้ระบบล้อยูนกำลังเพิ่มเข้าในระบบไฟฟ้าด้วยการแบ่งสัดส่วนจากการทำงานของระบบแบตเตอรี่ สามารถลดภาระงานของระบบแบตเตอรี่ ลดความผันผวนที่เกิดขึ้นกับการทำงานของระบบแบตเตอรี่ รวมถึงลดขนาดการใช้งานของแบตเตอรี่ด้วย เมื่อเปรียบเทียบกับการใช้แบตเตอรี่เพียงอย่างเดียว

การประเมินขนาดติดตั้งที่เป็นไปได้ของระบบล้อยูนกำลังที่เหมาะสมกับระบบไฟฟ้าขนาดเล็กของอำเภอเมืองแม่ฮ่องสอน พบว่าในกรณีใช้ระบบล้อยูนกำลังเพื่อควบคุมความถี่โหลด ต้องการขนาดติดตั้งประมาณ 1.5 เมกะวัตต์ / 30 กิโลวัตต์-ชั่วโมง และในกรณีมีการปรับเรียบกำลังผลิตไฟฟ้าของโรงไฟฟ้าพลังงานแสงอาทิตย์ร่วมกับการควบคุมความถี่โหลด จะมีขนาดติดตั้งประมาณ 2.5 เมกะวัตต์ / 50 กิโลวัตต์-ชั่วโมง อย่างไรก็ตาม มีข้อควรระวังในการกำหนดสัดส่วนการทำงานหรือการกำหนดค่าคงที่เวลาให้ระบบล้อยูนกำลัง เพื่อป้องกันการประเมินขนาดติดตั้งของระบบล้อยูน

กำลังที่มากเกินไป โดยเฉพาะขนาดพลังงานไฟฟ้า เนื่องจากข้อจำกัดของระบบล้อยอนกำลังที่มีคุณสมบัติด้านพลังงานไฟฟ้าต่ำ รวมถึงราคาของระบบล้อยอนกำลังที่อาจสูงตามมาด้วย

ในแง่ของการประเมินความเสื่อมสภาพจากการใช้งานของแบตเตอรี่ เมื่อกำหนดภาระงานระบบล้อยอนกำลังเพิ่มขึ้น เพื่อทำงานทดแทนการทำงานของระบบแบตเตอรี่ในส่วนที่ความผันผวนสูงเท่ากับเป็นการหลีกเลี่ยงการทำงานของแบตเตอรี่ที่ความถี่การคายประจุสูง หรือการหลีกเลี่ยงรอบการทำงานเล็กๆ ที่เกิดขึ้นจากภาระงานที่ต้องรับผิดชอบในช่วงความผันผวนสูง เช่น การควบคุมความถี่ การปรับเรียบพลังงานหมุนเวียนอย่างพลังงานแสงอาทิตย์ เป็นต้น การที่แบตเตอรี่ต้องทำงานที่ความถี่การคายประจุสูงหรือมีรอบการทำงานเล็กๆ เกิดขึ้นจากการใช้งาน เป็นปัจจัยที่กระตุ้นความเสื่อมสภาพของแบตเตอรี่ให้สูงขึ้น ดังนั้นการประยุกต์ใช้ระบบล้อยอนกำลังทดแทนแบตเตอรี่ในช่วงความผันผวนสูง เห็นได้ชัดว่าสามารถช่วยลดความเสื่อมสภาพการใช้งานของแบตเตอรี่ได้ อีกทั้งเป็นการช่วยยืดอายุการใช้งานของแบตเตอรี่ได้ยาวนานขึ้นอีกด้วย ยิ่งไปกว่านั้น การประเมินความเสื่อมสภาพที่จะเกิดขึ้นจากการใช้งานแบตเตอรี่ ทำให้สามารถวิเคราะห์หาอายุการใช้งานเบื้องต้นของแบตเตอรี่ได้ นำไปสู่การหาแนวทางป้องกันเพื่อที่จะช่วยยืดอายุการใช้งานของแบตเตอรี่ให้ยาวนานขึ้น และเป็นสิ่งที่ช่วยตัดสินใจในการกำหนดภาระความรับผิดชอบของระบบแบตเตอรี่ที่เหมาะสมต่อการทำงานในระบบไฟฟ้า เช่น ผลกระทบโหมดการทำงานนั้นๆ ส่งผลให้เกิดค่าความเสื่อมสภาพต่อการใช้งานแบตเตอรี่มากน้อยเพียงใด รวมถึงการประมาณอายุการใช้งานแบตเตอรี่จะมีอายุการใช้งานสูงสุดกี่ปี จะสามารถใช้งานได้จนถึงสิ้นอายุขัยหรือไม่ ถือเป็นอีกแนวทางหนึ่งที่จะช่วยพิจารณาความคุ้มค่าต่อการลงทุนติดตั้งแบตเตอรี่

อย่างไรก็ตาม การประเมินกรณีศึกษาต่างๆ ในวิทยานิพนธ์ฉบับนี้ เป็นการจำลองระบบไฟฟ้าขนาดเล็กอำเภอเมืองแม่ฮ่องสอน ซึ่งอ้างอิงข้อมูลโหลด และข้อมูลความเข้มแสงอาทิตย์ จากข้อมูลเพียงวันเดียวเท่านั้น นอกจากนี้การประเมินความเสื่อมสภาพและอายุการใช้งานของระบบแบตเตอรี่ในวิทยานิพนธ์นี้ก็จะเป็นเพียงการประเมินเบื้องต้น เนื่องจากความเสื่อมสภาพของการใช้งานแบตเตอรี่ขึ้นกับปัจจัยที่หลากหลาย ไม่ว่าจะเป็นอุณหภูมิ ความถี่ของการคายประจุ ลักษณะการนำไปใช้งาน เป็นต้น

บรรณานุกรม

1. การไฟฟ้าฝ่ายผลิตแห่งประเทศไทย, โครงการนำร่องระบบโครงข่ายไฟฟ้าอัจฉริยะจังหวัดแม่ฮ่องสอน. 2013.
2. เตชะพภาพงษ์, ศ., กรณีศึกษาการใช้ระบบกักเก็บพลังงานด้วยแบตเตอรี่ร่วมกับโรงไฟฟ้าพลังน้ำขนาดเล็กเพื่อลดผลกระทบจากการผลิตไฟฟ้าจากพลังงานแสงอาทิตย์ที่มีต่อระบบไฟฟ้าของอำเภอเมืองแม่ฮ่องสอน, คณะวิศวกรรมศาสตร์. 2017, จุฬาลงกรณ์มหาวิทยาลัย.
3. Arani, A.A.K., et al., *Review of Flywheel Energy Storage Systems structures and applications in power systems and microgrids*. Renewable and Sustainable Energy Reviews, 2017. **69**: p. 9-18.
4. Amiryar, M. and K. Pullen, *A Review of Flywheel Energy Storage System Technologies and Their Applications*. Applied Sciences, 2017. **7**: p. 286.
5. Nadeem, F., et al., *Comparative Review of Energy Storage Systems, Their Roles, and Impacts on Future Power Systems*. IEEE Access, 2019. **7**: p. 4555-4585.
6. Connolly, D. *A Review of Energy Storage Technologies: For the integration of fluctuating renewable energy*. 2010.
7. Amano, H., et al. *Field verification of control performance of a LFC system to make effective use of existing power generation and battery energy storage system*. in *IEEE PES ISGT Europe 2013*. 2013.
8. Amano, H., et al. *Utilization of battery energy storage system for load frequency control toward large-scale renewable energy penetration*. in *2012 3rd IEEE PES Innovative Smart Grid Technologies Europe (ISGT Europe)*. 2012.
9. Liu, H., et al., *Control Strategy of Energy Storage for Smoothing Photovoltaic Power Fluctuations*. IFAC-PapersOnLine, 2015. **48**(28): p. 162-165.
10. Alam, M.J.E. and T.K. Saha. *Cycle-life degradation assessment of Battery Energy Storage Systems caused by solar PV variability*. in *2016 IEEE Power and Energy Society General Meeting (PESGM)*. 2016.
11. การไฟฟ้าส่วนภูมิภาค, ระเบียบการไฟฟ้าส่วนภูมิภาคว่าด้วยข้อกำหนดการเชื่อมต่อระบบโครงข่ายไฟฟ้า พ.ศ. 2559. 2016.
12. Soskin, P. *Every charge cycle counts when it comes to battery degradation*.

- September 2019; Available from: <https://www.energy-storage.news/blogs/every-charge-cycle-counts-when-it-comes-to-battery-degradation>.
13. Lee, Y.-L. and T. Tjhung, *Chapter 3 - Rainflow Cycle Counting Techniques*, in *Metal Fatigue Analysis Handbook*, Y.-L. Lee, M.E. Barkey, and H.-T. Kang, Editors. 2012, Butterworth-Heinemann: Boston. p. 89-114.
 14. Hinz, H., *Comparison of Lithium-Ion Battery Models for Simulating Storage Systems in Distributed Power Generation*. Inventions, 2019. **4**: p. 41.
 15. Meng, J., et al., *Overview of Lithium-Ion Battery Modeling Methods for State-of-Charge Estimation in Electrical Vehicles*. Applied Sciences, 2018. **8**: p. 659.
 16. Mathworks. *Battery (Generic Battery Model)*. Available from: <https://www.mathworks.com/help/phymod/sps/powersys/ref/battery.html>.
 17. Mathworks. *Rainflow (Rainflow counts for fatigue analysis)*. [cited 2020 5 September]; Available from: <https://www.mathworks.com/help/signal/ref/rainflow.html>.
 18. Chawla, M., et al. *Utility energy storage life degradation estimation method*. in *2010 IEEE Conference on Innovative Technologies for an Efficient and Reliable Electricity Supply*. 2010.



จุฬาลงกรณ์มหาวิทยาลัย
CHULALONGKORN UNIVERSITY

ประวัติผู้เขียน

ชื่อ-สกุล	นางสาวมัชฌิมาศ เขียวคำ
วัน เดือน ปี เกิด	22 มิถุนายน 2534
สถานที่เกิด	ลำปาง
วุฒิการศึกษา	วิศวกรรมศาสตรบัณฑิต สาขาวิศวกรรมไฟฟ้า, มหาวิทยาลัยเชียงใหม่ (2553-2557)
ที่อยู่ปัจจุบัน	96 ม.9 ต.บ้านเสด็จ อ.เมือง จ.ลำปาง 52000



จุฬาลงกรณ์มหาวิทยาลัย
CHULALONGKORN UNIVERSITY